



Corso Luigi Einaudi, 55/B - Torino

Appunti universitari

Tesi di laurea

Cartoleria e cancelleria

Stampa file e fotocopie

Print on demand

Rilegature

NUMERO: 908

DATA: 12/03/2014

APPUNTI

STUDENTE: Zeroual

MATERIA: Sistemi Elettrici di Potenza

Prof. Carpaneto

Il presente lavoro nasce dall'impegno dell'autore ed è distribuito in accordo con il Centro Appunti.

Tutti i diritti sono riservati. È vietata qualsiasi riproduzione, copia totale o parziale, dei contenuti inseriti nel presente volume, ivi inclusa la memorizzazione, rielaborazione, diffusione o distribuzione dei contenuti stessi mediante qualunque supporto magnetico o cartaceo, piattaforma tecnologica o rete telematica, senza previa autorizzazione scritta dell'autore.

ATTENZIONE: QUESTI APPUNTI SONO FATTI DA STUDENTIE NON SONO STATI VISIONATI DAL DOCENTE.
IL NOME DEL PROFESSORE, SERVE SOLO PER IDENTIFICARE IL CORSO.

05/03/2013

lezione 10

CARPANETO.

Metodo dei valori relativi:

- potenza $\bar{S} = P + jQ$ $S = |S|$ $\left\{ \begin{array}{l} 3 \text{ fase / totale} \\ 1 \text{ fase} \end{array} \right.$

\downarrow \downarrow \downarrow
 KW \quad kvar \quad KVA

- tensioni $\left\{ \begin{array}{l} \text{concatenate} \\ \text{stellate} \end{array} \right.$ V, KV $V_{nom} \rightarrow \text{concatenata}$

- Corrente $I = \frac{S \rightarrow \text{totale}}{\sqrt{3}V \rightarrow \text{concatenata}}$ di linea.

\swarrow \nwarrow
 A, KA $\left\{ \begin{array}{l} \text{corrente} \\ \text{coefficiente} \end{array} \right.$
 \uparrow
 correnti guast.

- Impedenza $\bar{Z} = R + jX$ $Z = |\bar{Z}|$

Ω \quad m Ω (K Ω).

$Z = \frac{V}{\sqrt{3}I}$ mono fase equivalente (connessione a Δ)

- Ammettenza $\bar{Y} = \frac{1}{\bar{Z}} = \overset{\text{condutt}}{G} + jB \leftarrow \text{susceptanza}$ S (siemens)

Valori relativi \rightarrow uso: valori base, non piu' il S, I.

Sia X: una generica grandezza } tensioni, corrente, ... , }

e sia X_B : valore base

allora definisco $X_{pu} \triangleq \frac{X}{X_B}$ dove pu: "per unit"

$X_{\%} \triangleq 100 \cdot \frac{X}{X_B} = 100 X_{pu}$

▷ Scelta dei valori base

$\left\{ \begin{array}{l} S_B \rightarrow \bar{S}, P, Q, S \\ V_B \rightarrow V \\ I_B \rightarrow I \\ Z_B \rightarrow Z, R, Y \\ Y_B \rightarrow Y, G, B. \end{array} \right.$

► Vantaggi dell'uso dei valori relativi:

1) Si eliminano i fattori 3 e $\sqrt{3}$ dalle rel. fondamentali.

es: $S = \sqrt{3}VI \rightarrow S_{pu} = V_{pu} I_{pu}$

2) Si eliminano le ambiguità sulle potenze e sulle tensioni

posso pensare di usare due valori: $\begin{cases} V = V_B \cdot V_{pu} \rightarrow \text{concatena} \\ \frac{V}{\sqrt{3}} = V_B \frac{V_{pu}}{\sqrt{3}} \rightarrow \text{stellata.} \end{cases}$

e' data S_{pu} ho due valori: $\Rightarrow \begin{cases} S_{pu} S_B = \text{potenza singola fase.} \\ S_{pu} S_B = \text{potenza totale} \end{cases}$

3) il sistema elettrico e' a tensione sinusoidale a valore costante, $V_B = V_N$ ho

1^a conseguenza $V_{pu} = \frac{V}{V_N} \approx 1$ ($|V - V_N| \ll V_N$) \Rightarrow questo implica che in valori relativi

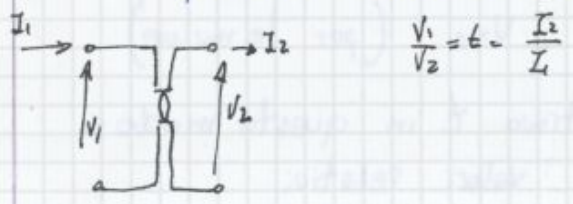
ho poca differenza tra S_{pu} e $I_{pu} \Rightarrow S_{pu} = V_{pu} I_{pu} \approx I_{pu}$ **2^a conseguenza**

4) I parametri delle macchine (Trasf/M.S./M.A) sono quasi costanti

se ho ($V_B = V_N$ e $S_B = S_N$) \Rightarrow associato a $I_B = I_N$ quindi la corrente prende lo stesso significato di tensione.

5) riguarda la trattazione dei TRAF:

considero per adesso un Trafo ideale (elemento del trafo reale che modifica corrente e tensione a pari potenza).



$\frac{V_1}{V_2} = \frac{I_2}{I_1}$

$V_{1pu} = \frac{V_1}{V_{B1}}, V_{2pu} = \frac{V_2}{V_{B2}} \quad V_{1pu} \cdot V_{B2} = \frac{V_{1pu} \cdot V_{B1}}{t} \Rightarrow \frac{V_{2pu}}{V_{1pu}} = \frac{V_{B1}}{V_{B2} \cdot t}$

possiamo scegliere V_{B1} e V_{B2} distinti, quando ho S_N costante

si sceglie valore base \neq valore nominale degli avvolgimenti:

se scepiassi (non si fa mai) $V_{B1} = V_{B2}$ ho.

$t_{pu} = \frac{V_{1pu}}{V_{2pu}} = \frac{t \cdot V_{B2}}{V_{B1}} = \frac{V_{N1}}{V_{N2}} \cdot \frac{V_{B2}}{V_{B1}}$

se scepo $\frac{V_{B2}}{V_{B1}} = \frac{V_{N1}}{V_{N2}}$ allora ho $t_{pu} = 1$

$$Y_{opu} = \frac{I_{o1pu}}{V_{o1pu}} = I_{o1pu} \Rightarrow \boxed{Y_{opu} = I_{o1pu}} \quad V_{o1pu} = 1$$

definisco $I_{o\%} = 100 \cdot \frac{I_{o1}}{I_{N1}} = 100 \cdot I_{o1pu}$

perche' $I_{o1} = \frac{S_B}{\sqrt{3} V_{B1}} = \frac{S_N}{\sqrt{3} V_{N1}} = I_{N1}$

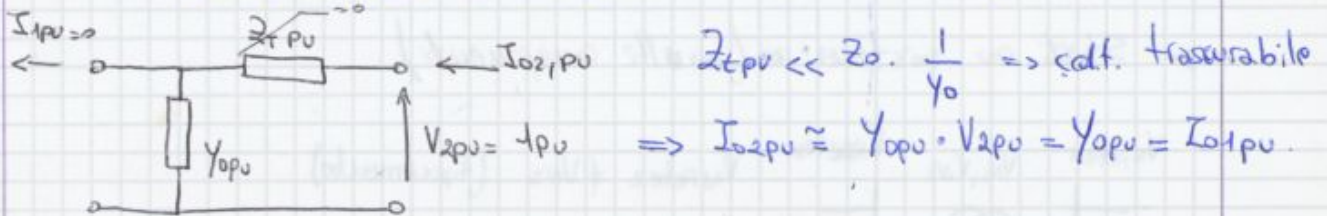
$$\boxed{Y_{opu} = \frac{I_{o\%}}{100}}$$

$$I_{o\%} = \frac{S_B}{\sqrt{3} V_{B1}} = \frac{S_N}{\sqrt{3} V_{N1}} = I_{N1}$$

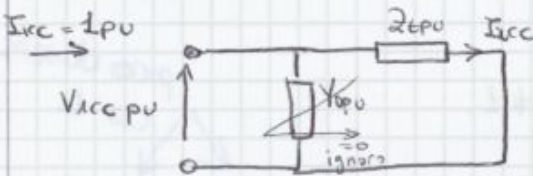
es: $I_{o\%} = 0,5\% \Rightarrow Y_{opu} = 0,005pu$ ma quindi per ricavare

il valore in [S] $\Rightarrow Y_o = Y_{opu} \cdot Y_{B1} = Y_{opu} \cdot \frac{S_N}{V_{N1}^2}$

Se faccio la prova alimentando il secondario?



Prova in cto - cto :



$V_{cc\%} \Rightarrow$ catalogo

$$V_{cc} \Rightarrow \frac{V_{cc\%}}{100} \cdot \frac{V_{N1}}{\sqrt{3}} \quad \left. \begin{array}{l} \text{stellata} \\ \text{stellata} \end{array} \right\}$$

$$V_{1ccpu} = \frac{V_{cc}}{V_{B1}/\sqrt{3}} = \frac{V_{cc\%}}{100}$$

trovo quindi : $\boxed{Z_{Tpu} = \frac{V_{cc\%}}{100}}$

es: $V_{cc\%} = 4\%$ (tipico MT/BT)

è coincidenza tra impedenza Z_{cc} e V_{cc} in valori relativi

Impedenza longitudinale $\Rightarrow Z_{Tpu} = \frac{4}{100} = 0,04pu$

$$Z_T = Z_{Tpu} \cdot Z_{B1} = Z_{Tpu} \cdot \frac{V_{N1}^2}{S_N} = \frac{V_{cc\%}}{100} \cdot \frac{V_{N1}^2}{S_N}$$

Se volessi considerare i parametri a secondario :



$\times t^2$ i parametri trasversali;
 $\div t^2$ i parametri longitudinali

$$e^{x+jy} = e^{\bar{z}} = e^x \cdot e^{jy} = e^x \left\{ \cos(y) + j \sin(y) \right\} \quad \text{definisco}$$

$$\operatorname{ch}(\bar{z}) \triangleq \frac{e^{\bar{z}} + e^{-\bar{z}}}{2} \quad \operatorname{sh}(\bar{z}) \triangleq \frac{e^{\bar{z}} - e^{-\bar{z}}}{2}$$

6:50.

$\operatorname{th}(\bar{z}) \triangleq \frac{\operatorname{sh}(\bar{z})}{\operatorname{ch}(\bar{z})}$ se avessi $\bar{z} = jy$ allora vale che:



$$\left. \begin{aligned} \operatorname{ch}(jy) &= \operatorname{ch}(\bar{z}) = \frac{e^{jy} + e^{-jy}}{2} = \cos(y) \\ \operatorname{sh}(jy) &= j \sin(y) \\ \operatorname{th}(jy) &= j \operatorname{tg}(y). \end{aligned} \right\}$$

▶ linee elettriche:

- trifase
- regime sinusoidale ~~ma~~ alla generica pulsazione ω .
- fisicamente simmetriche \rightarrow fasi indistinguibili tra loro.



In teoria dovremmo avere conduttori disposti sui vertici di un Δ equilatero (capita nei cavi tripolari) = ma in generale mai

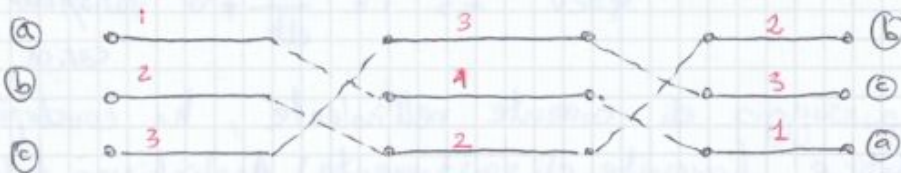
Possi a trifoglio.



Problema: il terreno rende distinguibili le fasi condutt. ad h' distinguibile.

Terreno "gioca" un campo elettrico \rightarrow effetti capacitivi

si può migliorare la simmetria fisica utilizzando la trasposizione dei conduttori



Viene fatta su linee molto lunghe \rightarrow Facciamo un'ipotesi: consideriamo le linee con il modello "monofase equivalente" ossia teniamo in conto delle sole sequenze dirette, \bar{v}, \bar{i}

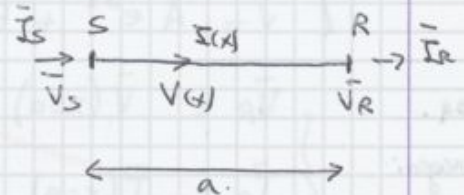
Equazioni:

$$\rightarrow \frac{dV}{dx} dx = -(r+j\omega P) dx \bar{I} \Rightarrow \frac{dV}{dx} = -(r+j\omega P) \bar{I}$$

$$\rightarrow \frac{d\bar{I}}{dx} dx = -(g+j\omega C) dx \left(\bar{V} + \frac{dV}{dx} dx \right) \Rightarrow \frac{d\bar{I}}{dx} = -(g+j\omega C) \bar{V}$$

Quindi

$$\begin{cases} \frac{dV}{dx} = -(r+j\omega P) \bar{I} \\ \frac{d\bar{I}}{dx} = -(g+j\omega C) \bar{V} \end{cases}$$



Condizioni al contorno:

sono assegnate $\bar{V}_R = \bar{V}(x=a)$; $\bar{I}_R = \bar{I}(x=a)$

scrivo:

$$\frac{d^2 \bar{V}}{dx^2} = -(r+j\omega P) \frac{d\bar{I}}{dx} = \underline{(r, e \text{ indep. } dx)!}$$

$$= -(r+j\omega P)(-1)(g+j\omega C) \bar{V} \Rightarrow$$

$$\frac{d^2 \bar{V}}{dx^2} = (r+j\omega P)(g+j\omega C) \bar{V} \quad \text{dove } \gamma \triangleq \sqrt{(r+j\omega P)(g+j\omega C)}$$

γ = costante di propagazione ha due scelte:

$$\text{Re}(\gamma) > 0 \quad \text{oppure} \quad \begin{cases} \text{Re}(\gamma) = 0 \\ \text{Im}(\gamma) > 0 \end{cases}$$

$$\frac{d^2 \bar{V}}{dx^2} = \gamma^2 \bar{V}$$

Integrale generale $\Rightarrow \bar{V} = \bar{A} e^{\gamma x} + \bar{B} e^{-\gamma x}$ dove \bar{A}, \bar{B} costanti

per le correnti usiamo:

$$\bar{I} = -\frac{1}{r+j\omega P} \frac{d\bar{V}}{dx} = -\frac{1}{r+j\omega P} [\bar{A} \gamma e^{\gamma x} - \bar{B} \gamma e^{-\gamma x}]$$

$$\bar{I} = \frac{\gamma}{r+j\omega P} [\bar{B} e^{-\gamma x} - \bar{A} e^{\gamma x}]$$

$$\bar{Z}_0 \triangleq \sqrt{\frac{r+j\omega P}{g+j\omega C}}$$

Imped. caratteristica

Impedenza caratteristica [Ω] scegliamo $\text{Re}(\bar{Z}_0) > 0$

derivato nell' spazio x.

$$\boxed{j\theta = \gamma a = j\omega\sqrt{\epsilon_0} \cdot a}$$

$$\begin{cases} \text{ch}(\gamma a) = \text{ch}(j\theta) = \cos(\theta) \\ \text{sh}(\gamma a) = \text{sh}(j\theta) = j \sin(\theta) \end{cases}$$

- equazioni delle linee senza perdite diventano:

$$\begin{cases} \bar{V}_s = \cos(\theta) \cdot \bar{V}_R + j \bar{Z}_0 \sin(\theta) \bar{I}_R \\ \bar{I}_s = j \frac{\sin(\theta) \bar{V}_R}{\bar{Z}_0} + \cos(\theta) \bar{I}_R \end{cases}$$

⇒ è normale che abbiamo reciprocità perché abbiamo costruito il modello dell'elemento dx in modo che lo sia.

Ossia:

$$\boxed{\begin{bmatrix} T_{11} & T_{12} \\ T_{21} & T_{22} \end{bmatrix} = \begin{bmatrix} \cos\theta & j Z_0 \sin\theta \\ j \frac{\sin\theta}{Z_0} & \cos\theta \end{bmatrix}}$$

$$\boxed{\det(T) = \cos^2\theta + \sin^2\theta = 1}$$

cond. di reciprocità

$T_{11} = T_{22} \Rightarrow$ Cond. di simmetria relativa all'inversione degli estremi S ed R.

Propagazione delle onde avviene a velocità:

$$\boxed{v = \frac{1}{\sqrt{\epsilon_0}}}$$

Quindi $\theta = \frac{\omega \cdot a}{v} = \omega \cdot t_p \leftarrow$ tempo di propagazione dell'onda da S a R. (lunghezza a) con velocità di propagazione v

definisco:

$$\lambda \triangleq v \cdot \frac{2\pi}{\omega} \Rightarrow \theta = 2\pi \frac{a}{\lambda}$$

$$\boxed{\text{per definizione } \lambda = \frac{v}{f}}$$

• se $a = \frac{\lambda}{4} \Rightarrow \theta = \pi/2$ (quarto d'onda).

• se $a = \frac{\lambda}{2} \Rightarrow \theta = \pi$ (mezz'onda)

NOTA: linee aeree $v = 300 \text{ m}/\mu\text{s} = 300 \text{ km}/\mu\text{ms} \approx 300000 \text{ km/s}$
 a 50 Hz $\lambda \approx 6000 \text{ km}$.

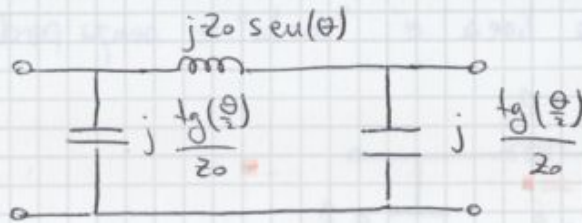
$$\bar{Y}_T = \frac{\text{th}(j\frac{\theta}{2})}{\bar{z}_0} = \frac{j \text{tg}(\frac{\theta}{2})}{\bar{z}_0}$$

osservazione:

ne $0 \leq \theta \leq \pi \Rightarrow \sin(\theta) \geq 0 \Rightarrow \text{Im}(\bar{z}_L) \geq 0$

$\text{tg}(\frac{\theta}{2}) \geq 0 \Rightarrow \text{Im}(\bar{Y}_T) \geq 0$

~~nessun~~ In questo caso per essere piu' specifici: disegno $a \ll \lambda$



che vuol dire $\theta < \pi$?
ripreso l'interpretazione di θ

Vuole dire che $\theta = \omega \cdot t_p = 2\pi \frac{a}{\lambda}$

$\theta = \pi$ a $50 \text{ MHz} \Rightarrow \begin{cases} t_p = 10 \text{ nls} \\ a = \lambda/2 \end{cases}$

linee non troppo lunghe: considero

$\rightarrow \theta \ll 1 \quad a \ll \lambda$ affronta il problema con lo sviluppo in serie

$\sin \theta \approx \theta \quad \text{tg} \frac{\theta}{2} \approx \frac{\theta}{2} \quad |\bar{\gamma}|a \ll 1.$

$\text{sh}(\bar{\gamma}a) \approx \bar{\gamma}a \quad \text{th}(\frac{\bar{\gamma}a}{2}) \approx \frac{\bar{\gamma}a}{2}$

Allora trovo:

$$\bar{z}_L = \bar{z}_0 \text{sh}(\bar{\gamma}a) \approx \bar{z}_0 \bar{\gamma}a = \sqrt{\frac{r+j\omega l}{g+j\omega c}} \cdot \sqrt{(r+j\omega l)(g+j\omega c)} \cdot a = (r+j\omega l) \cdot a$$

$$\bar{Y}_T = \frac{\text{th}(\frac{\bar{\gamma}a}{2})}{\bar{z}_0} \approx \frac{\bar{\gamma}a}{2\bar{z}_0} = (g+j\omega c) \frac{a}{2}$$

Quindi troviamo: $\left\{ \begin{array}{l} \text{Circuito equivalente a } \pi \\ \text{a parametri concentrati} \\ \text{nel caso di linee "corte"} \end{array} \right.$

le prove di conto circuito dei TPTi vengono poi riportati alla temp. convenzionale di $75^{\circ}\text{C} = T_c$.

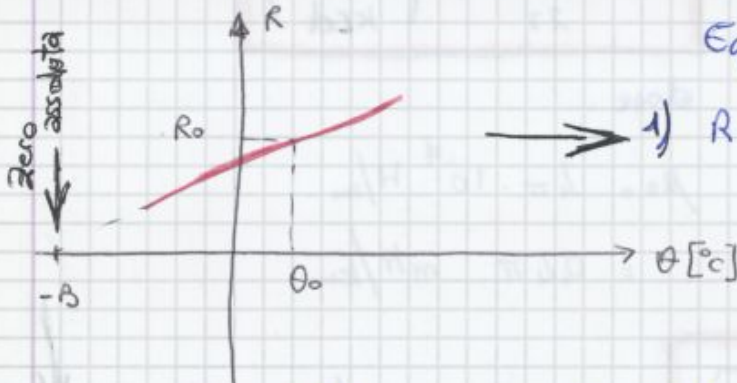
Inoltre abbiamo la variabile temperatura che incide sulla resistenza dei conduttori (radiazione solare sui cavi aerei)

08/03/2013. lezione 3

tipicamente $g \approx 0$ ($g < w_c$)

$r = k_e \frac{P}{S}$ $k_e > 1$ tiene conto dei vari fattori, anche delle correnti parassite eventuali schemi.

o Dipendenza dalla temperatura di R : (variazione di tipo lineare)



Equazioni della retta:

1) $R = R_0 [1 + \alpha_0 (\theta - \theta_0)]$

$\alpha_0 =$ coeff. di temperatura. $[K^{-1}]$, inoltre dipende da θ_0 , infatti

$\theta_0 = 20^{\circ}\text{C} \rightarrow \alpha_{20^{\circ}\text{C}} \approx 0,004 \text{ K}^{-1}$ (0,4%) α dipende dal materiale + temp.

$\frac{dR}{d\theta} = \alpha_0 R_0 = \text{cost.} \Rightarrow$ cambia $R_0 \Rightarrow$ deve cambiare α_0 per avere prodotto costante.

per cui $\theta = 80^{\circ}\text{C} \Rightarrow 1 + \alpha_{20^{\circ}\text{C}} (80 - 20) \approx 1 + 0,24$.

2) $R = R_0 \frac{\theta + B}{\theta_0 + B}$ dove $B = [K]$ e' una caratteristica del materiale

Cu $\rightarrow B_{Cu} = 235^{\circ}\text{C}$ ($234,5^{\circ}\text{C}$)

Al $\rightarrow B_{Al} = 228^{\circ}\text{C}$

Inoltre se $\theta_0 = 0^{\circ}\text{C} \Rightarrow B = \frac{1}{\alpha_0^{\circ}\text{C}}$ in generale

$B + \theta_0 = \frac{1}{\alpha_0}$ notiamo che $R = 0$ per $\theta = -B$ (in $^{\circ}\text{C}$)
Cioè se prolunga il tratto lineare h. annullamento di resistenza.

Per le linee $\theta \sim 50 - 60^{\circ}\text{C}$
faccio un calcolo con riferim. a delle temperature intermedie con un buon carico di corrente

la θ dei cavi e' 90° come limite.

(8)

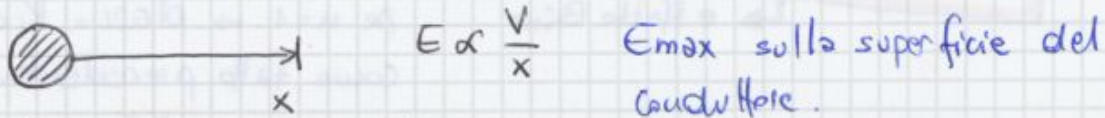
(densità di corrente)

Se consideriamo \vec{J} cui forme all'interno dei conduttori

$$k_L = e^{-\frac{1}{4}} \approx 0,778$$

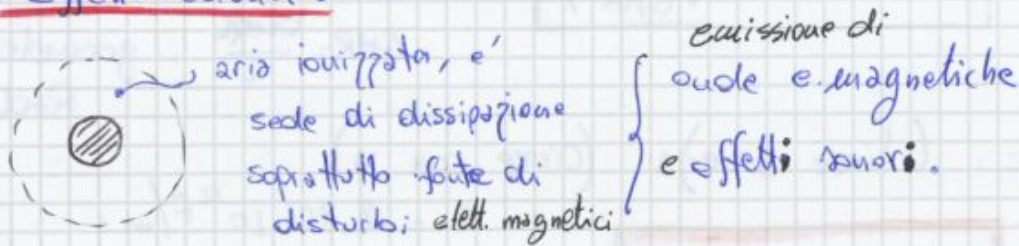
in Al, con effetto pelle: $k_L \approx 0,8 \div 0,85$

In alte tensioni abbiamo elevati campi elettrici



In prossimità dei cavi ad AT
 In alcuni casi questo campo supera la rigidità dielettrica dell'aria, soprattutto se l'aria è umida

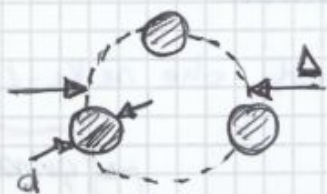
⇒ Effetto corona:



Per ridurre l'effetto corona, a pari tensione, bisognerebbe fare conduttori di sezione maggiore → No, costa troppo: (ossia del diametro corona di aria ionizzata)

Quale soluzione si adatta? → FASCIO DI CONDUTTORI per una singola fase.

Per ogni singola fase ho:



In Italia: 380 000 V ⇒ 3 conduttori per fase.

Δ ~~conduttore~~ diametro fascio
 d " " conduttore.

Ai fini del campo elettrico si comporta come un singolo conduttore di diametro $\approx \Delta$, cioè quello del fascio.

Caso generale ⇒ n conduttori per fascio

la linea senza perdite $\Rightarrow \rho = 0 \Rightarrow$ corrente solo sulla superficie del conduttore.
 $\hookrightarrow f_{s0}$

$\Rightarrow K_L = 1$ poiché non c'è corrente e quindi neanche B all'interno del conduttore. Per cui, nella nostra linea ideale (senza perdite) vale $K_L = 1$ e quindi $\epsilon_c = \mu_0 \epsilon_0$.

► valori tipici ϵ_c e c ?

l'unico aspetto geometrico che determina variazioni significative di ϵ_c è il numero di conduttori per fascio.

Sia $x = \omega l$ reattanza per unità di lunghezza.

a 50 Hz, valori tipici :

$n=1 \Rightarrow x \approx 0,4 \Omega / km$

$n=2 \Rightarrow x \approx 0,32 \Omega / km$

$n=3 \Rightarrow x \approx 0,25 \Omega / km$

(è costante al variare di V)
 x che al crescere di V (aumentano sia D che d)

$$\epsilon_c = \frac{\mu_0}{2\pi} \epsilon_n \left(\frac{2Dm}{\sqrt[n]{n \cdot k_L \cdot d \cdot \delta^{n-1}}} \right)$$

↑
 cresce al crescere di n

i valori tipici ci permettono di fare delle stime le capacità sono invece dell'ordine di :

$c \sim 8-13 \text{ nF/km}$

$n=1 \rightarrow n=3$ c cresce.

basta conoscere V_e lung. di linea per fare stime subsec

infatti devo avere ϵ_c o cost al variare di n .

ϵ_c non varia al crescere di V
 spiega l'aumento crescita di ϵ_c di linea



12/03/2013.

lezione h

V_N 380kV / 400kV (non bene definita).

V_{MAX} riferita all'isolamento : 420kV.

BT : 380V 3f \rightarrow (normalizzazione UE) \rightarrow 400V.

220V 1f \rightarrow " " \rightarrow 230V.

Esempio : Distribuzione MT.

10

Per le capacità, bisogna tenere in conto degli schermi;
cavi con 3 schermi (oltre 10kV).

→ condensatore cilindrico



$$C = \frac{2\pi\epsilon_0\epsilon_r}{\ln\left(\frac{D_s}{d}\right)}$$

cavi: $\epsilon_r \approx 4$ ($\mu_r = 1$)

(in mat. isolante)

$$v_{luce} = \frac{1}{\sqrt{\epsilon_r\epsilon_0\mu_0}} \approx 150 \text{ km/ms} \left(\approx \frac{1}{2} v_{luce \text{ vuoto}} \right)$$

Vale che $v = \frac{1}{\sqrt{\epsilon_c}}$ aeree. $\epsilon_r = 1$ $\mu_r = 1$.

$$\epsilon_c = \mu_0\epsilon_0 \Rightarrow v_{luce} = 300 \text{ km/ms}$$

Cavi: effetto degli schermi

$\epsilon_c > \epsilon_r\epsilon_0\mu_0$ in fatti $D_s < D_m$ (per cui ϵ_c risulta più grande $\epsilon_r\epsilon_0\mu_0$)

per tanto $\Rightarrow v_{luce \text{ cavo}} \approx 100 \text{ km/ms}$.

la velocità di propagazione serve nel calcolo del punto di guasto in caso di corto-cro (lo si fa inviando onde e.m. e si calcolano i tempi di riflessione dell'onda a causa del guasto).

▷ Reattanza per unità di lunghezza (in cavo)

$x \approx 0.1 - 0.15 \text{ } \Omega/\text{km}$ (aeree $n=1 \Rightarrow x \approx 0.4 \text{ } \Omega/\text{km}$)

↓
Sia in BT, MT e AT

in BT: \uparrow sezione $\Rightarrow \uparrow d \Rightarrow \downarrow x = \omega l$.

invece $C_{\text{cavo}} \gg C_{\text{aerea}}$ (20-30 volte)

infatti: $\frac{C_{\text{cavo}}}{C_{\text{aerea}}} = 4 \cdot 3 \cdot 2 \approx 20$.

↑ effetto ϵ_r ↑ effetto $D_s < D_m$ ↑ effetto $\frac{D}{d}$

$$P_s = 0$$

$$Q_s = - \frac{\tan \theta}{z_0} V_s^2$$

$$\Rightarrow \begin{cases} P_s = 0 \\ Q_s = - \frac{\tan(\theta)}{z_0} V_s^2 < 0 \end{cases} \rightarrow \text{(comportamento da condensa.)}$$

Approssimazione $\theta \ll 1$ (linee "corte").

$$\tan \theta \approx \theta \rightarrow \frac{\tan(\theta)}{z_0} \approx \frac{\theta}{z_0} = \frac{\omega \sqrt{\epsilon} a}{\sqrt{\epsilon} c} = \omega c a.$$

per cui: $\begin{cases} I_s \approx \omega c a V_s \\ Q_s \approx -\omega c a V_s^2 \end{cases}$ dove $c a$: capacità totale delle linee.

Quindi trova che $\frac{V_s}{I_s} = \frac{1}{\omega c a} = X_c$ Reattanza a parametri concentrici delle linee corte.

Se $\theta = \frac{\pi}{2} \Rightarrow a = \frac{\lambda}{4}$ linea quarto d'onda.

$$\begin{cases} \cos \theta = 0 \\ \tan \theta \rightarrow \infty \end{cases} \Rightarrow \begin{cases} V_R \rightarrow \infty \\ I_s, Q_s \rightarrow \infty \end{cases}$$

Potanto esistono dei limiti di lunghezza delle linee!

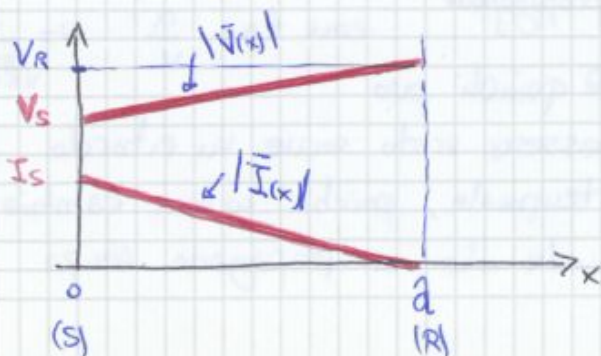
Se la linea può funzionare a vuoto, bisogna stare lontani da $\theta = \frac{\pi}{2}$, ossia da $a = \frac{\lambda}{4}$

$$\lambda_{aere} = 6000 \text{ km} \quad (a \text{ 50Hz})$$

$$\lambda_{cavi} = \frac{v}{f} = 2000 \text{ km} \quad (a \text{ 50Hz}).$$

Sempre sul funzionamento a vuoto studiamo i:

Profili di V/I .



A vuoto, per una linea qualunque:

$$\bar{V}(x) = \text{ch} [\bar{\gamma}(a-x)] \bar{V}_R$$

$$\bar{I}(x) = \frac{\text{sh} [\bar{\gamma}(a-x)]}{z_0} \bar{V}_R$$

senza perdite $\bar{\gamma} a = j\theta$.

attenuazioni, non ho riflessioni poiché il carico è adattato (o caratteristico), ~~non ho riflessioni~~

$$Q_R = 0 \quad (Z_0 \text{ e' reale})$$

$$P_R = \frac{V_R^2}{Z_0} = \frac{V_S^2}{Z_0} \quad \leftarrow \quad Q_S = 0$$

perché il modulo delle tensioni è identico.

$P_S = P_R$ Hip. di linee senza perdite...

In realtà, $\forall x$ abbiamo che:

$$\boxed{P_S = P_R = \frac{V_S^2}{Z_0}} \\ \boxed{Q_S = Q_R = 0}$$

stessi moduli

$$\begin{cases} |\bar{V}(x)| = V_S = V_R \\ |\bar{I}(x)| = I_S = I_R = \frac{V_S}{Z_0} \end{cases} \quad \begin{cases} Q(x) = 0 \\ P(x) = P_S = \frac{V_S^2}{Z_0} \end{cases}$$

quindi $\forall x$ della linea (estremi inclusi).

$$\frac{\bar{V}(x)}{\bar{I}(x)} = \frac{V_S}{I_S} = \frac{V_R}{I_R} = Z_0$$

1) \rightarrow trasferimento di potenza su linea a $V = \text{cost}$:

$V_R = V_S = |\bar{V}(x)|$ e' una situazione ottimale, il carico vede la stessa tensione di S.

! no due vantaggi

Inoltre tutti i componenti della linea sono sottoposti alla stessa tensione \rightarrow positivo !!

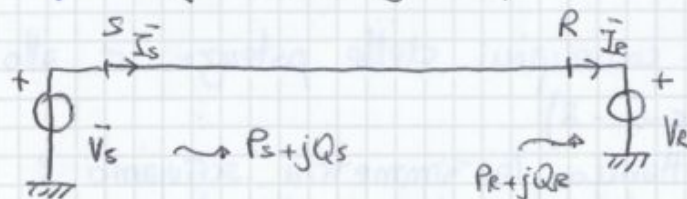
2) $\rightarrow Q(x) = 0$ mi assicura il valore minimo di I per essere una data potenza ad una data tensione.

$$I = \frac{\sqrt{P^2 + Q^2}}{V} \geq I_{\text{MIN}} = \frac{P}{V} = \frac{\sqrt{P^2 + \phi^2}}{V}$$

!

Naturalmente il carico di un sistema elettrico e' variabile nel tempo, per cui il carico caratteristico e' poco realistico.

3) Funzionamento con tensioni assegnate agli estremi (di interesse generale)



$$\boxed{S \triangleq \langle \bar{V}_S \rangle - \langle \bar{V}_R \rangle}$$

consideriamo $\bar{V}_R = V_R \angle 0$

$$\Rightarrow \boxed{S = \langle \bar{V}_S \rangle}, \text{ ossia } \bar{V}_S = V_S \angle S$$

! quello che interessa e' la differenza di fase e non di moduli

Metto meno

Potenza di generatore

$$P_S = \frac{V_R V_S}{2 Z_0 \sin \theta} \sin(-\delta)$$

$$Q_S = \frac{V_S}{2 Z_0 \sin(\theta)} \left\{ V_R \cos(-\delta) - V_S \cos(\theta) \right\}$$

$$P_S = \frac{V_R V_S}{2 Z_0 \sin \theta} \sin \delta \quad (I)$$

$$Q_S = -\frac{V_S}{2 Z_0 \sin \theta} \left\{ V_R \cos \delta - V_S \cos \theta \right\}$$

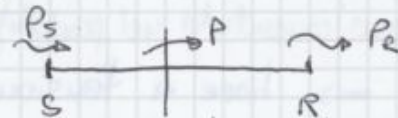
e quindi:

$$P_S = \frac{V_S V_R}{2 Z_0 \sin \theta} \sin(\delta) = P_R$$

$$+Q_S = \frac{V_S}{2 Z_0 \sin \theta} \left\{ V_S \cos \theta - V_R \cos(\delta) \right\} \neq Q_R$$

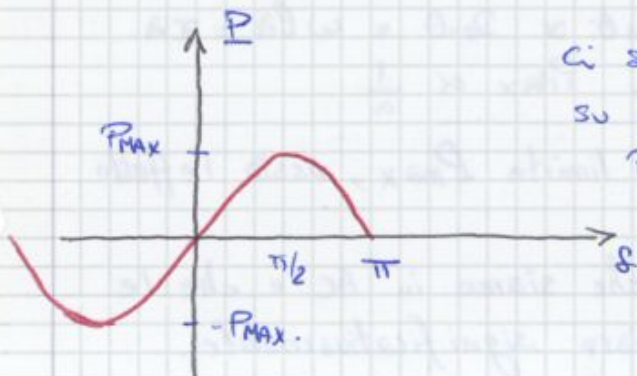
Notiamo che $\begin{cases} P_S = P_R \\ Q_S \neq Q_R \end{cases} \rightarrow$ effetti di l.c.

1) Analisi di $P = P_S = P_R$
(non ho più ambiguità)

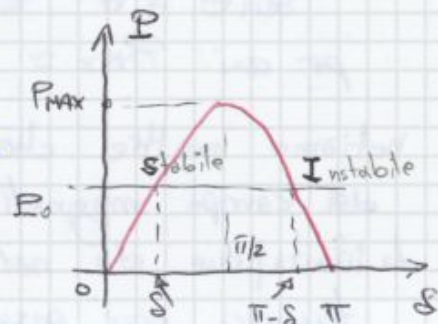


al variare di δ (sfasamento tra \vec{V}_S e \vec{V}_R con moduli assegnati). } e' il parametro che interessa di più, valutiamo $(P - P(\delta))$.

$$P = P_{max} \cdot \sin(\delta) \quad P_{max} = \frac{V_S V_R}{2 Z_0 \sin(\theta)}$$



Ci soffermiamo su $0 \leq \delta \leq \pi$
 $P \geq 0 \Rightarrow$



Notiamo che P e' limitata - Questo limite non e' dato dalle condutture (linea senza perdite) ma nasce dal fatto che il SE e' a tensione costante, data P_0 ho due diversi sfasamenti. Data una potenza P_0 , il sistema si porta a lavorare nel punto di stabilità del moto dei generatori sincroni (S) con $(\omega = \omega_0)$.

Nello stato I il generatore non riesce a ruotare ad $\omega = \omega_0$
- Condizione di stabilità teorica e $\omega \neq \omega_0$ con pulsazione elettrica del sist. ω_0
Cioè non ha abbastanza rotazione meccanica

il limite di stabilità pratico e' più basso del limite teorico

$$|\delta| < \delta_{lim\text{prati}} < \delta_{lim\text{teorico}} = \pi/2$$

- nelle linee di distribuzione di cui non si può prevedere l'impedenza Z_0 una cosa da contenere si può fare delle approssimazioni.
- nelle PZ ho $a \gg R$ quindi assolutamente non posso trascurarla.

$$\bar{V}_R = V_R \angle 0$$

$$\bar{V}_S = V_S \angle \delta$$

$$P_S = P_R = \frac{V_S V_R}{Z_0 \sin \theta} \sin \delta = P_{MAX} \cdot \sin \delta$$

$$P_{MAX} = \frac{V_S V_R}{Z_0 \sin \theta} \sim \frac{V_S V_R}{x_a}$$

linee corte.

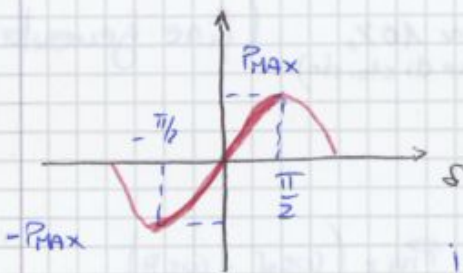
$$Q_R = \frac{V_R}{Z_0 \sin \theta} (V_S \cos \delta - V_R \cos \theta)$$

$$Q_S = \frac{V_S}{Z_0 \sin \theta} (V_S \cos \theta - V_R \cos \delta)$$

cambio da R → S e metto un meno davanti a Qs per far tornare i conti

$P_{MAX} \propto V^2$, $P_{MAX} \propto \frac{1}{a}$. In realtà non ho \propto inversa esatta ma ho

anche che se: $\uparrow a \Rightarrow \uparrow \theta \propto a \Rightarrow \uparrow \sin \theta \Rightarrow \downarrow P_{MAX}$.



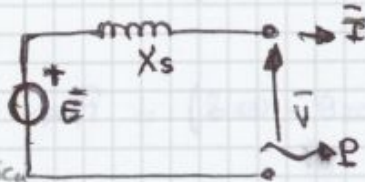
stabilità teorica $|\delta| < \pi/2$.

In macchine elettriche avevamo incontrato la caratteristica del generatore sincro

isotropo: $x_d = x_q = x_s$: reattanza sincra.

A regime:

Coppia elettromagnetica

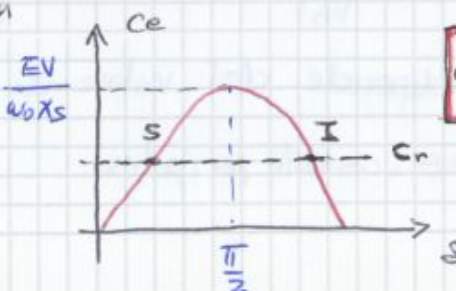
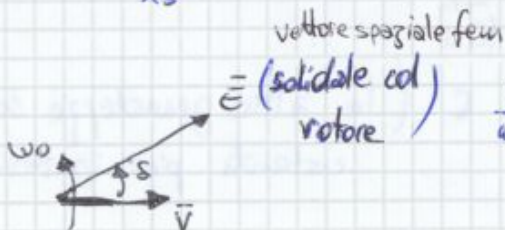


$$\begin{cases} \bar{E} = E \angle \delta \\ \bar{V} = V \angle 0 \\ E \propto \omega_{ecc} = n_{ecc} \cdot i_{ecc} \end{cases}$$

$$P = C_e \omega_0 \quad \bar{I} = \frac{E \angle \delta - V \angle 0}{j X_s}$$

$$S = P + jQ = \bar{V} \bar{I}^* = jV \cdot \frac{E \angle -\delta - V}{X_s} \quad \text{per cui}$$

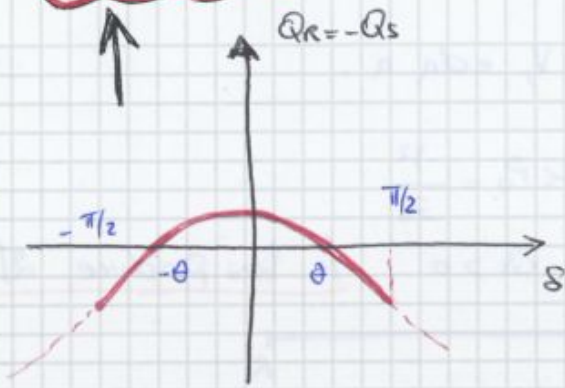
$$P = \frac{EV}{X_s} \sin \delta \Rightarrow C_e = \frac{EV}{\omega_0 X_s} \sin \delta$$



$$C_e = \frac{EV}{\omega_0 X_s} \sin \delta$$



Cosinusoidale



$$\begin{cases} Q_R > 0 \\ Q_S < 0 \end{cases} \text{ se } |s| < \theta$$

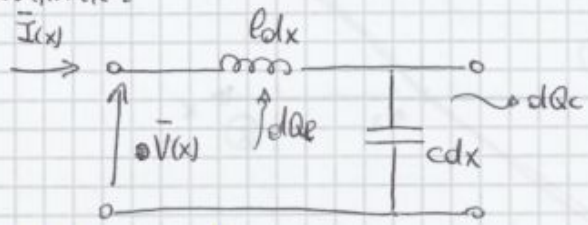
$$Q_R = 0 \quad (Q_S = 0) \quad |s| = \theta$$

$$\begin{cases} Q_R < 0 \\ Q_S > 0 \end{cases} \text{ se } \theta < |s| \leq \pi/2$$

(a) $\delta = \theta \Rightarrow Q_S = 0 \quad Q_R = 0$ carico caratteristico

$$|\bar{V}_S| = |\bar{V}_R| \quad \angle \bar{V}_S - \angle \bar{V}_R = \theta = \delta$$

Perché le potenze reattive sono nulle agli estremi con elementi reattivi? **carico caratteristico?** consideriamo l'elementino dx con



$$\frac{\bar{V}(x)}{\bar{I}(x)} = Z_0 = \sqrt{\frac{l}{c}} \quad \forall \text{ punto della linea.}$$

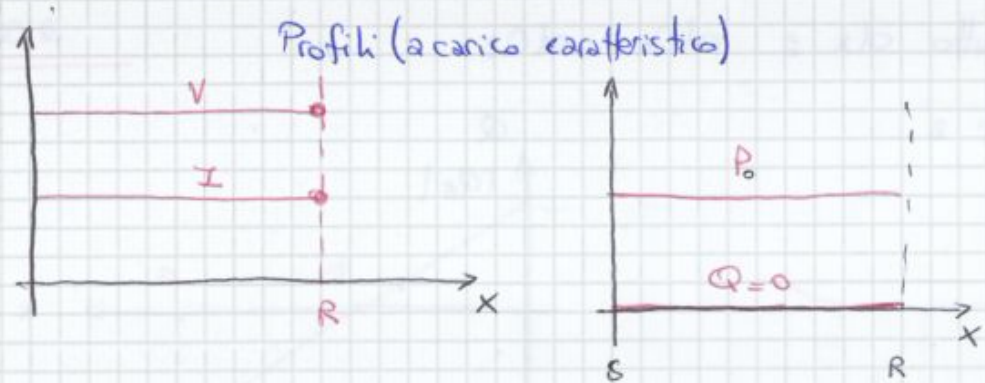
perché sia il carico caratteristico deve soddisfare

Bilancio potenze:

$$dQ_e = \omega l I^2 dx \quad \text{ma } V = Z_0 I$$

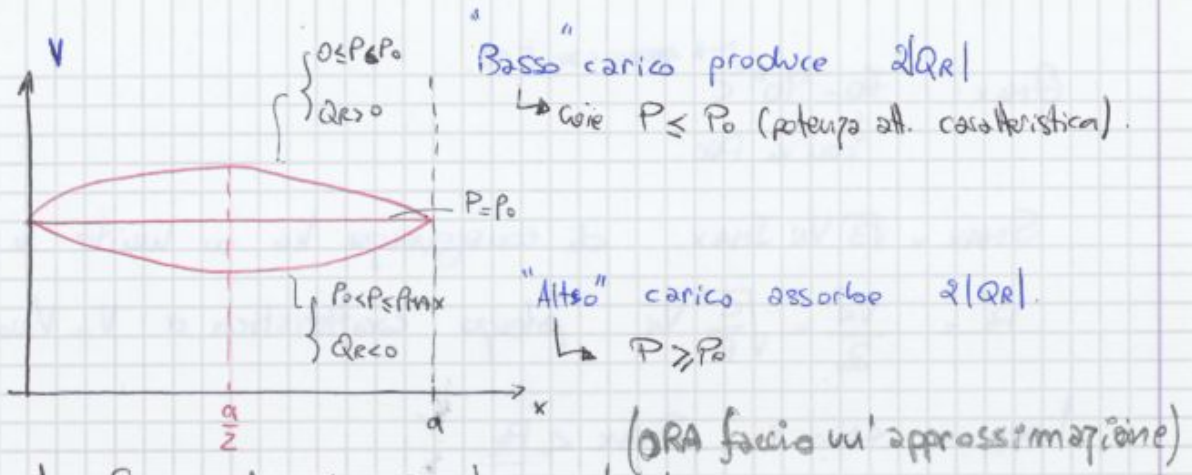
$$dQ_c = \omega c V^2 dx \Rightarrow dQ_c = \omega c Z_0^2 I^2 dx = \omega c \frac{l}{c} I^2 dx = \omega l I^2 dx$$

Quindi: $dQ_e = dQ_c$ **compensazione** e effetti reattivi. (esatta)



In condizioni di carico caratteristico ($\delta = \theta$)

$$P = \frac{V^2}{Z_0 \cancel{\cos \theta}} \cancel{\cos \theta} = \frac{V^2}{Z_0} = P_0 \quad \text{potenza caratteristica.} \Rightarrow$$



► trasferimento di Q lungo la linea.

$$Q_R = \frac{V_R}{Z_0 \sin \theta} (V_S \cos \delta - V_R \cos \theta)$$

Hip: sfasamenti piccoli $\Rightarrow \cos \delta \approx 1$.

linea "corta" $\Rightarrow \cos(\theta) \approx 1 \Rightarrow \sin \theta \approx \theta$.

Pertanto $Q_R \approx \frac{V_R}{x \cdot a} (V_S - V_R)$ per aumentare sensibilmente Q_R trasferita bisogna aumentare $(V_S - V_R)$.

In particolare, $Q_R > 0 \Rightarrow V_S > V_R$

In una rete in AC la potenza reattiva circola per differenza tra i moduli delle tensioni ai suoi capi.

Lo scopo delle linee è trasferire potenza attiva, meno potenza reattiva si trasferisce meglio è.

$$P \approx \frac{V_R V_S}{x \cdot a} \delta \quad (\text{stesse ipotesi di } Q_R, \text{ in piú' approssimiamo})$$

$\sin(\delta) \approx \delta$

la circolazione di P è associata allo sfasamento tra le tensioni ai suoi capi.

Un altro limite delle linee è il 1:10:20.

► limite termico \rightarrow indipendente dalla lunghezza della linea.

$I \leq I_{max}$ temperatura max dei conduttori cavo \rightarrow
 $\Delta \theta$ per non danneggiare isolante
 aeree $\rightarrow \Delta \theta$ dip. da proprietà meccaniche del condutt.

► funzionamento a vuoto

$$V_S = V_N, \quad V_R = \frac{V_S}{\cos\theta} = 388,3 \text{ kV}$$

$$\frac{V_R}{V_N} = 1,022 \text{ pu} \quad (+2,2\%)$$

$$Q_S = -\operatorname{tg}(\theta) \frac{V_S^2}{Z_0} = -\operatorname{tg}(\theta) \frac{V_N^2}{Z_0} = 120,7 \text{ MVar} \quad \text{non irrilevanti}$$

$$I_S = \frac{|Q_S|}{\sqrt{3}V_N} = 183 \text{ A} \quad \text{modesto rispetto a } I_{\max}. \quad S = P_S + jQ_S = jQ_S$$

► funzionamento a carico caratteristico.

$$P_S = P_R = \frac{V_N^2}{Z_0} = 562,6 \text{ MW} \quad Q_R = Q_S = 0$$

$$I_S = I_R = \frac{V_N}{\sqrt{3}Z_0} = 855 \text{ A}.$$

► funzionamento a tensioni assegnate: $V_S = V_R = V_N$.

$$P_{\max} = \frac{V_S \cdot V_R}{Z_0 \sin\theta} = \frac{V_N^2}{Z_0 \sin\theta} = 2683 \text{ MW} > S_{\max} = 1620 \text{ MVA}.$$

↳ è il limite teorico con $\delta = \pi/2$

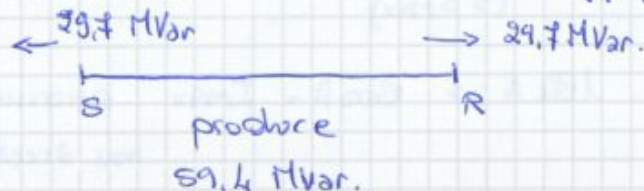
Consideriamo 2 casi (tensioni assegnate agli estremi)

1) $P = 400 \text{ MW} < P_0$

$$\Rightarrow P = P_{\max} \sin(\delta) \Rightarrow \delta = \arcsin\left(\frac{P}{P_{\max}}\right) = 0,1496 \text{ rad} < \theta \quad (8,57^\circ)$$

$$Q_R = -Q_S = P_{\max} (\cos\delta - \cos\theta) = 29,7 \text{ MVar}.$$

$$\text{a cui corrisponde un } \cos\varphi = \frac{P}{\sqrt{P^2 + Q^2}} = 0,9973.$$



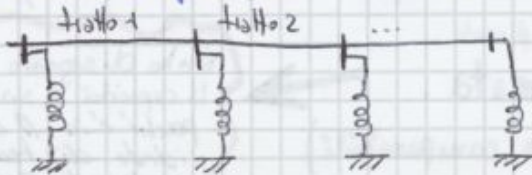
$$I_R = I_S = \frac{\sqrt{P^2 + Q^2}}{\sqrt{3} V_N} = 609 \text{ A}.$$

2) $P = 1200 \text{ MW} > P_0$

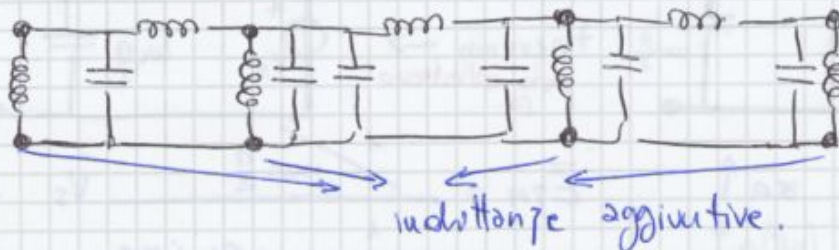
Il problema dei cavi e' l'alto valore di c .

Posso modificare (in teoria) c o modificando ϵ_r dell'isolante o modificando la geometria, ottenendo cavi enormi con schermi molto lontani dai conduttori \rightarrow sono entrambe soluzioni impraticabili.

Possiamo pensare di bilanciare le c con delle induttanze:



Ciascun tratto puo' essere schematizzato come:



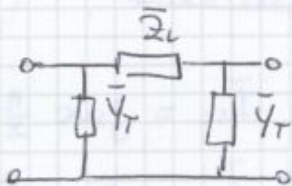
Ogni tratto dovrebbe essere lungo ≈ 30 km, ai capi di ogni tratto dovrebbe esserci una stazione dove installare le induttanze e le relative protezioni \Rightarrow impraticabile

I cavi si utilizzano quindi solo in zone urbane o tratti di mare, dove le lunghezze sono modeste.

Le soluzioni per tratti di mare grandi e' il cavo in DC.

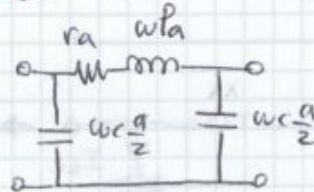
15/03/2013

lezione 6: listened



$$\bar{Z}_L = Z_0 \operatorname{sh}(\bar{\gamma}a)$$

$$\bar{Y}_T = \frac{1}{Z_0} \operatorname{th}(\bar{\gamma}a)$$



$$\operatorname{sh}(\bar{\gamma}a) \approx \bar{\gamma}a$$

$$\operatorname{th}(\bar{\gamma}a/2) \approx \frac{\bar{\gamma}a}{2}$$

$$g \ll wc$$

normalmente si rifasano le linee di trasmissione per evitare di prelevare potenza reattiva da esse.

Al crescere della V_{nom} , e a parità di lunghezza, crescono le correnti nelle capacità del circuito equivalente.

Quindi:

V_{nom} piccole $\Rightarrow I_{ec}, I_{sc} \ll I_e \Rightarrow$

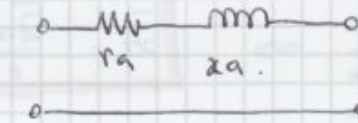


sono trascurabili per basse tensioni

(Eccezione fatta per la linea a vuoto dove I_{ec} e I_{sc} non sono più trascurabili rispetto a I_e).

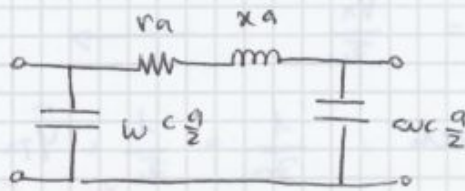
Pertanto il succo del discorso è: (Sintesi di queste considerazioni)

(ho capacità trascurabili) }
 linee MT aeree }
 linee BT (cavo) }



ignoro gli effetti capacitivi

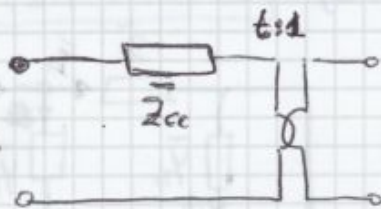
g) linee MT cavo (ho capacità considerabili)



fine linee

le capacità MT aeree e MT cavo differiscono di 20÷30 volte.

Modelli trasformatori (a 2 avvolgimenti)



l'allogazione semplificata
 $Z_{cc} = R_{cc} + j X_{cc}$

Perdite Joule avvolgimenti

flussi dispersi

Ragionando in pu.

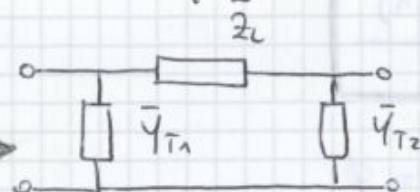
$$S_N \uparrow \Rightarrow \begin{cases} X_{cc\ pu} = \text{cost} \\ R_{cc\ pu} \downarrow \end{cases}$$

è una conseguenza dell'analisi dimensionale

taglia cresce $\Rightarrow R_{cc}$ trascurata.
 per S_N "grande", $R_{cc} \ll X_{cc}$
 fattore di scala: l

$$\begin{cases} S_N \propto l^4 \\ P_{jou} \propto l^3 \end{cases} \Rightarrow \boxed{\eta \propto l} \text{ al crescere di } l \text{ miglioro il rendim.}$$

Circuito Equivalente a π .



l : dimensione lineare

avevamo detto che il trafeo ideale è ideale e non ha perdite, ma raramente ciò capita
 $\frac{V_{11}}{V_{22}} = \frac{W_{11}}{W_{22}}$

quando ho $t=1$, gli estremi del trafeo sono interscambiabili, invece

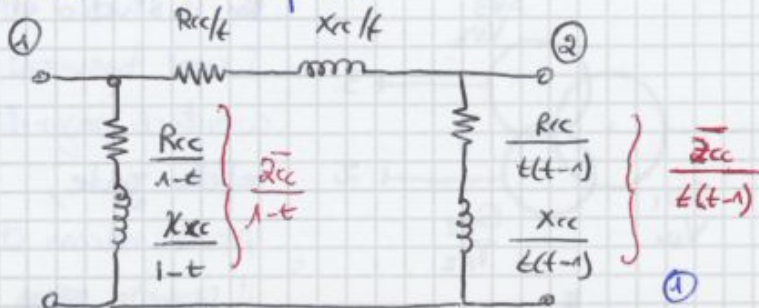
se $t \neq 1$ ho ammettenze trasversali diverse \Rightarrow NON HO PIÙ INTERSCAMBIO (20)

• se $t \neq 1 \Rightarrow \begin{cases} Y_{T2} \neq 0 \\ Y_{T1} \neq 0 \end{cases}$



Per trati di taglia grossa il parametro più importante è X_{cc} e avendo i dati di tarzo si può risalire ad esso più facilmente.

~~osservazione~~ Osservazione



• se $t > 1 \Rightarrow \begin{matrix} 1-t < 0 \\ t-1 > 0 \end{matrix} \Rightarrow \begin{matrix} \frac{R_{cc}}{1-t} < 0 & \frac{R_{cc}}{t(t-1)} > 0 \\ \frac{X_{cc}}{1-t} < 0 & \frac{X_{cc}}{t(t-1)} > 0 \end{matrix}$

Rappresenta il comportamento del circuito ai morsetti esterni:

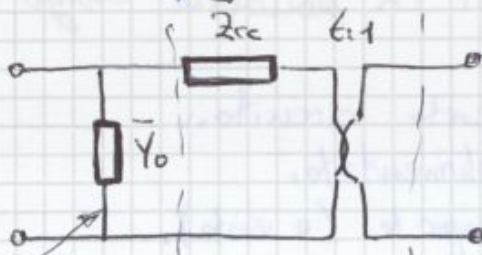
È possibile poiché è un circuito equivalente che non ha un significato fisico, è accettabile avere resistenza negativa!



La reattanza negativa può essere vista come un condensatore, ma solo a regime sinusoidale - Per cui in dinamica l'induttanza < 0 rimane induttanza.



Un modello più realistico è:

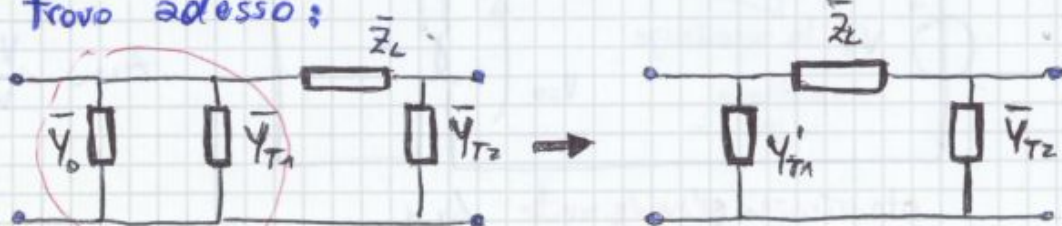


$\bar{Y}_0 = G_0 + j B_0$
 ↑ perdite nel ferro
 ↑ corrente di magnetizzazione ($\mu_{Fe} \neq \infty$)


Per includere le perdite qui circuito equivalente visto in precedenza.

materiali reali hanno $\mu_{Fe} \neq \infty$.

trovo adesso:



Sono in //

~~...~~  l'avvolgimento percorso dalla I nominale e' il ②

Ipotesi: Se $S_{N1} > S_{N2}$, $I_2 = I_{2NOM} = \frac{S_{N2}}{\sqrt{3} V_{N2}}$

$$I_1 = \frac{I_2}{t_{12}} = \frac{V_{N2}}{V_{N1}} I_2 = \frac{V_{N2}}{V_{N1}} \cdot \frac{S_{N2}}{\sqrt{3} V_{N2}} \leftarrow \frac{S_{N1}}{\sqrt{3} V_{N1}} = I_{N1}$$

Ipotesi: Se $S_{N1} < S_{N2}$, $I_1 = I_{N1}$ $I_2 < I_{N2}$.

Quindi: lo trattiamo come se fosse un trasformatore

a 2 avvolgimenti $S_{req} = \min(S_{N1}, S_{N2})$ S_N equivalente.

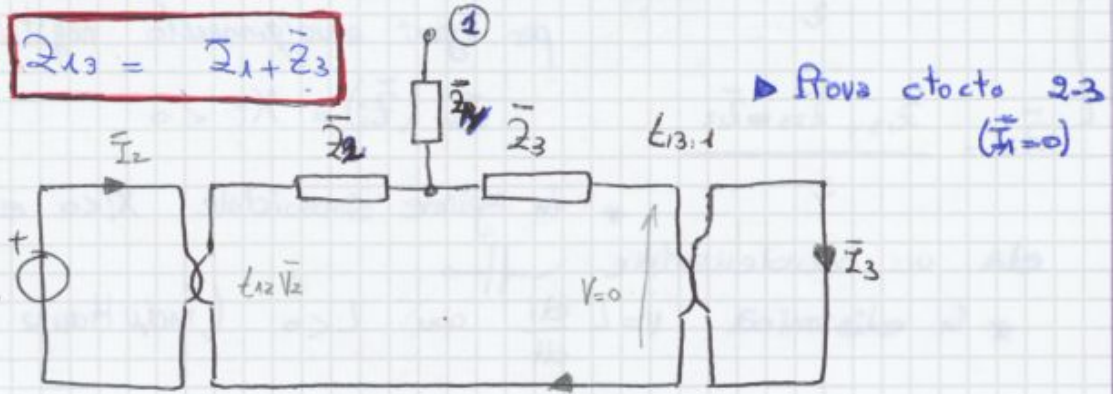
Sia $\bar{Z}_{12} = \bar{Z}_1 + \bar{Z}_2$ (impedenza vista dall'avvolgimento alimentato)

$$\bar{Z}_{12} = \frac{\bar{V}_1}{\bar{I}_1}$$

↳ misura di $P_1, V_1, I_1 \rightarrow$ ricavo parte reale e immaginaria di \bar{Z}_{12}

⊛ ▶ Prova in cto-ccto 1-3 ($\bar{I}_2 = 0$)

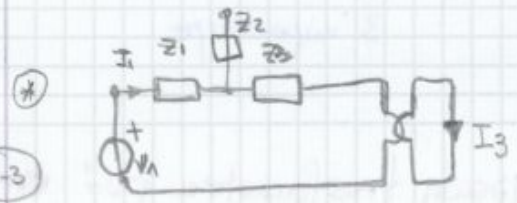
Stesse considerazioni precedenti, solo che sostituisco $3a 2$.



$$\bar{Z}_{23} = \bar{Z}_2 + \bar{Z}_3 = t_{13}^2 \frac{\bar{V}_2}{\bar{I}_2}$$

$$\bar{Z}_{23} = t_{12}^2 \frac{\bar{V}_2}{\bar{I}_2}$$

$$\bar{Z}_{23} = \bar{Z}_{23} + \bar{Z}_3 = \frac{t_{12} V_2}{\bar{I}_2 / t_{12}} = t_{12}^2 \frac{\bar{V}_2}{\bar{I}_2}$$



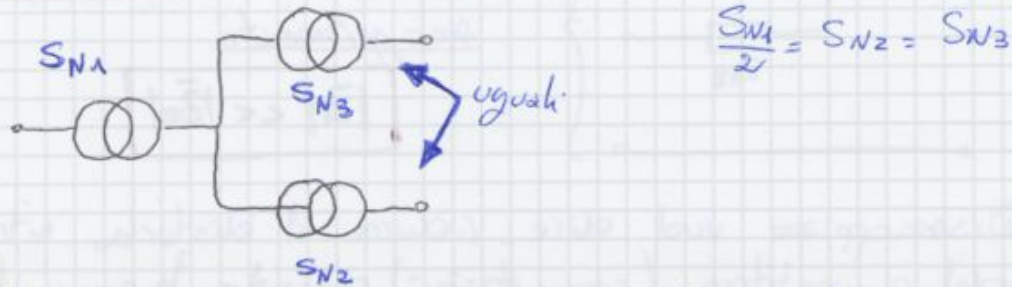
$$\bar{Z}_{13} = \bar{Z}_{12} = \frac{\bar{V}_1}{\bar{I}_1}$$

②

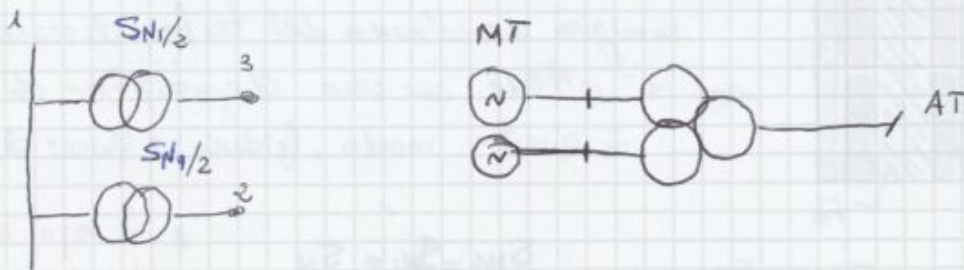
dal punto ① a ③ ho semplicemente l'impedenza di quindi posso immaginare un TRAF con $\epsilon = \text{unitario} = 1$.

A cosa servono TR. a 3 avvolgimenti?

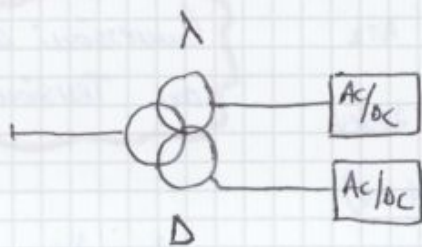
- 1) connessione di due componenti ^{uguali} impiegando un trasformatore a 3 avv. con 2 avvolg. uguali tra loro e con potenze metà del primario



- 2) risparmio di spazio rispetto a due TR separati



- 3) conversione AC/DC con convertitori a SCR o Diodi, i conv chiamati a 12 impulsi



A, D per avere ritardi

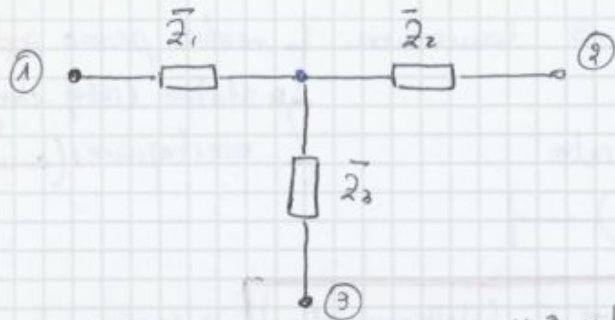
AC/DC sono collegati in

- serie (somma tensioni)
- parallelo (antiparallelo) ΣI_i

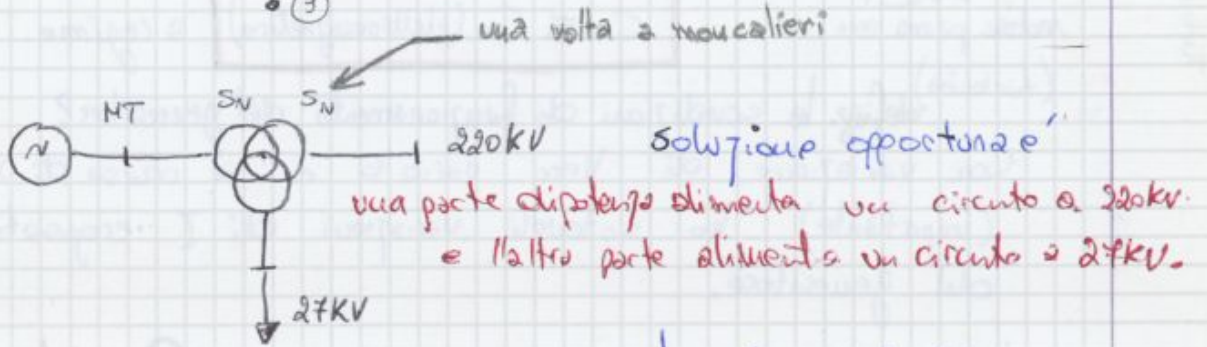
Sono utilizzati in

- trazione elettrica DC (tradizionale)
- linee DC

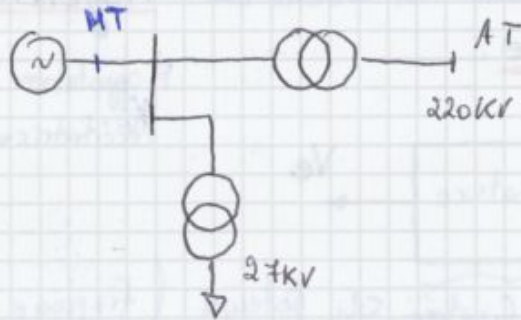
facciamo un ragionamento che riguarda le imped. del trasformatore.



$|Z_1| \ll |Z_2|$
 ↑ disaccoppiamento.



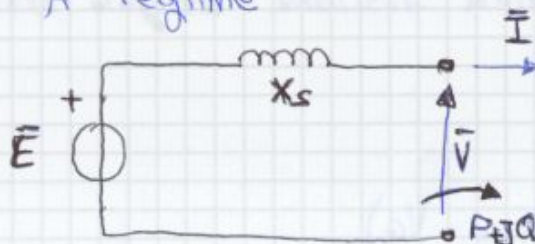
soluzione opportuna è
 una parte di potenza alimenta un circuito a 220KV
 e l'altra parte alimenta un circuito a 27KV.



ho la MT da 27KV
 collegata direttamente
 al gen. (posso controllare).

Modello dei generatori: (sincroni) 20/03/2013 (2)

A regime

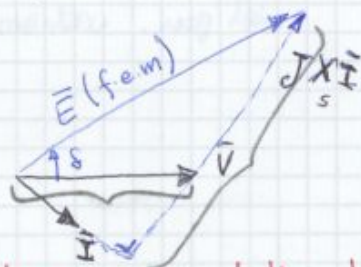


se motore isotropo

- $X_d = X_q = X_s$ (isotropo)
- $R_s \ll X_s$ (taglio ribrante)

$X_s \approx 2 pu$ (200%) (base nominale)

$|\bar{E}| \propto I_e = \frac{V_e}{R_e}$



\bar{E} generatore ideale.

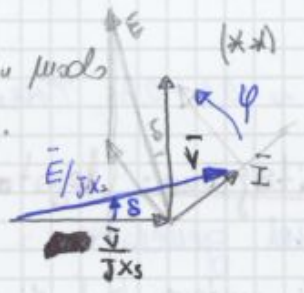
quando il generatore è eroga la W, la tensione ai capi di X_s è il doppio.
 (molto lontano dall'idealità)

$$\vec{E} = \vec{V} + jX_s \vec{I} \quad (\text{Thevenin})$$

$$\frac{\vec{E}}{jX_s} = \frac{\vec{V}}{jX_s} + \vec{I}$$

(*) la proiezione di I su asse e' la potenza reattiva a meno di una costante V

disegno \vec{V} verticale in modo che $\frac{\vec{V}}{jX_s}$ sia in ritardo rispetto a \vec{V}



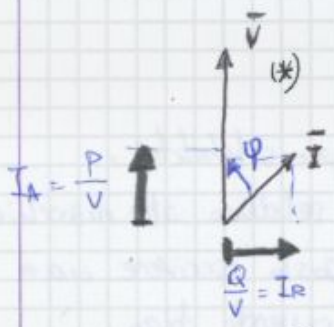
$$P = VI \cos \phi$$

$$Q = VI \sin \phi$$

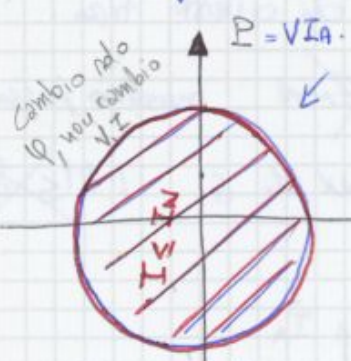
$$I_A = I \cos \phi \quad (\text{Comp. attiva di corrente})$$

$$I_R = I \sin \phi \quad (\text{Comp. reattiva di corrente})$$

Ora immaginiamo di lasciare la tensione V costante, ho dei limiti di funzionamento:



1) limite termico statore: $I \leq I_N = \frac{S_N}{\sqrt{3}V_N}$

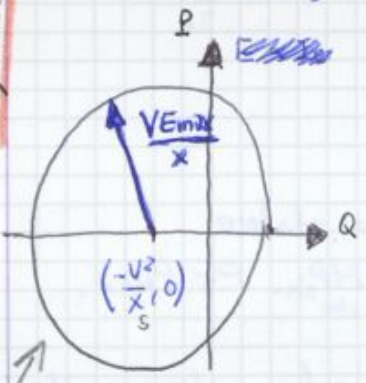


luogo dei punti a corrente statorica costante.

2) * $I_e \leq I_{e \max}$ ma sappiamo che $I_e \propto E$ a meno di un fattore di scala posso porre sul limite $E \leq E_{\max}$

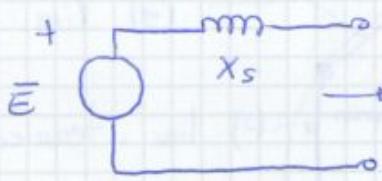
Quindi tengo E costante in modulo e variando l'angolo δ .

2) limite termico rotore.



il generatore sincrono e' collegato ad un motore primo.

$$P = C_m \cdot \omega_0 = C_e \omega_0$$



$P = C_m \omega_0 = C_e \omega_0$ e' la potenza erogata dal motore

perche' non ho considerato nessuna perdita di nessun tipo.

basta girare $\frac{\vec{E}}{jX_s}$ in (**)

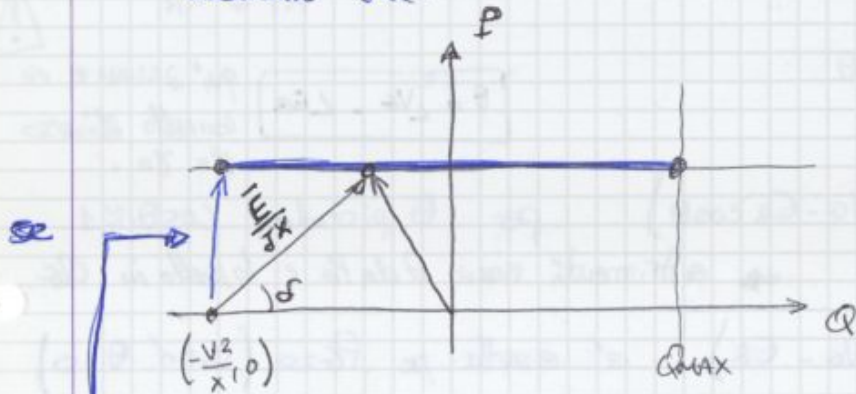
sto lavorando su di una retta orizzontale nel diagramma (P,Q).

ASSEGNATA $P = C_{max}$ non devo uscire da ripple (disegno) assegnata anche V_{GRIF} .

$Q \geq Q_{min}$, (sottoeccitazione)

$Q \leq Q_{max}$. sovrareccitazione (termico motore) ^{sovraccarico ha tale limite} (termico statore) ^{eventualmente} ho questo.

Vediamo che:



il punto di funzionamento e' deciso da delta cioè dalle condizioni della rete (sfasamento tra tensioni $V_e E$)

Q_{min} non posso piu' andare oltre xché non ho piu' tensione per eccitare. (interviene il regolatore automatico di tensione) questa cosa capita anche per Q_{max} .

$P \rightarrow$ motore primo.

$Q \rightarrow$ interazione con la rete $Q_{min} \leq Q \leq Q_{max}$.

$V \rightarrow$ regolatore automatico.

↳ sottoeccitazione ↳ limiti termici

20/03/2013 (3)

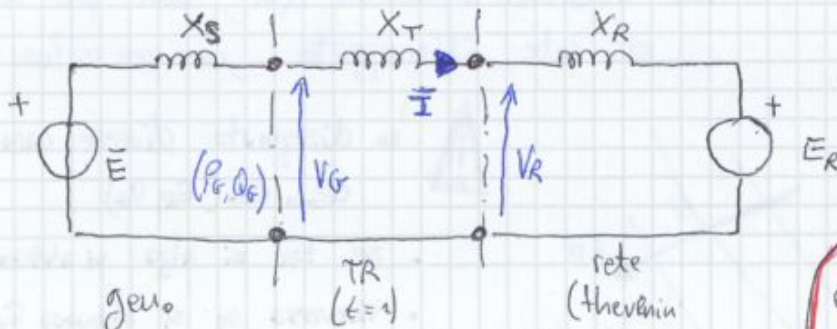


come e' costituito il serbatoio?

1) Ignoriamo tutte le R (solo X)

2) $t=1$; vuol dire scegliere $\frac{V_{B1}}{V_{B2}} = \frac{V_{N1}}{V_{N2}}$

3) Rappresento la rete con circuito eq. di thevenin.

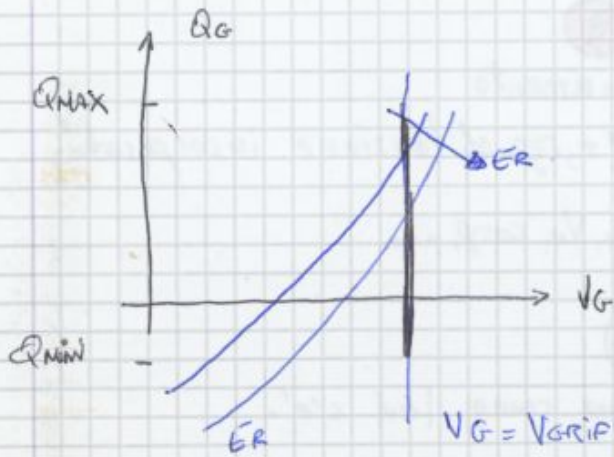


Devo analizzare il comportamento del lato rete e come risponde di conseguenza la generazione



C'è interesse valutare la Q_R (lato rete)

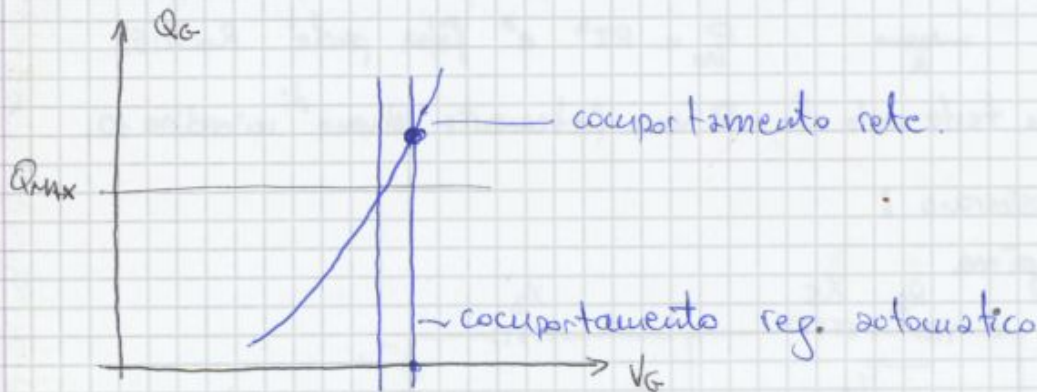
26



⚠ se si alza la fem E_r
si abbassa la potenza di rete. Q_G

$V_G = V_{GRIF}$ ~ caratteristica gen
(con R_{Te} ideale)

finche' sono nel segmento verticale Q_{MAX} ; Q_{MIN} tutto ok.
se tendo ad uscire cosa succede?

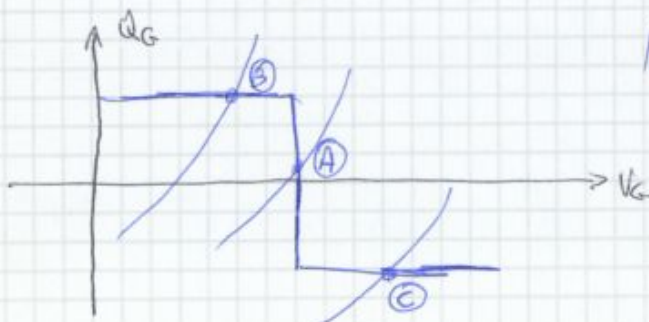


il regolatore auto. non riesce a mantenere la tensione costante

$$Q_G = Q_{MAX}$$

$$V_G < V_{GRIF}$$

- (A) $V_G = V_{GRIF}$ $Q_{MIN} \leq Q_G \leq Q_{MAX}$.
- (B) $V_G < V_{GRIF}$ $Q_G = Q_{MAX}$.
- (C) $V_G > V_{GRIF}$ $Q_G = Q_{MIN} < 0$



la potenza dipende come
si comporta la rete.
e' non e' controllabile
se la V_G e' alta

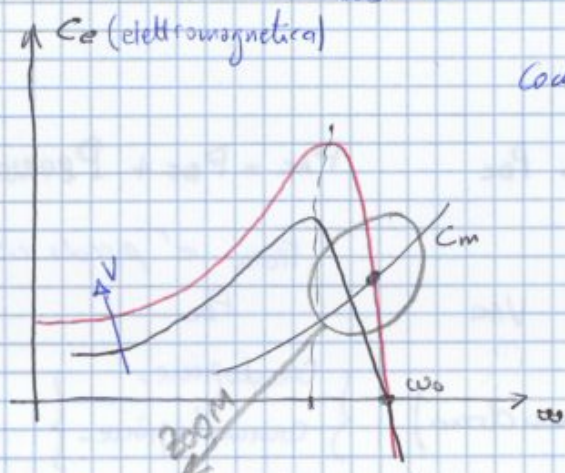
Continuazione lezione 22/03/2012.

la $R_2 \frac{1-s}{s}$ e' la parte che mi converte la P_{el} in P_m .

se considero la velocità costante al variare di V ho

$$s = \frac{\omega_0 - \omega}{\omega_0}$$

non ha molto senso.



Come si determina la ω di rotazione?

intersezione con caratteristica C_m del motore.

con $C_e \propto V^2$ a parità di ω

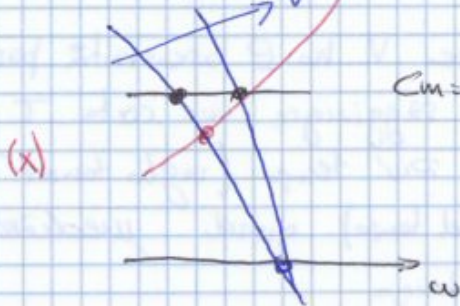
- ω_0 non cambia
- ω per cui si ha C_{max} non cambia

potenza che transita. $C_e \omega_0 =$ potenza elettrica al trafero.

pot. che si converte. $C_e \omega =$ potenza meccanica

$\downarrow V \Rightarrow \downarrow \omega \Rightarrow \uparrow s$. di quanto aumenta? facciamo uno zoom.

Esempio $C_m \propto \omega^2$ (pompe e ventilatori)



$C_m = \text{cost.}$ (sollevamento, laminatori, compressori)

di solito ho un'espressione parabolica

$$C_m = a\omega^2 + b\omega + c$$

a seconda dei valori a, b, c posso descrivere qualsiasi comportamento meccanico.

Potenza attiva assorbita dal motore: P_a

$$P = \underset{\substack{\uparrow \\ \text{Joule} \\ \text{statore}}}{P_{J1}} + \underset{\substack{\uparrow \\ \text{ferro}}}{P_o} + \underset{\substack{\uparrow \\ \text{trafero}}}{C_e \omega_0}$$

cosa succede a P al variare di V ?

In generale (qualitativamente) $\uparrow V \Rightarrow \downarrow P_{J1} \Rightarrow \uparrow P_o \Rightarrow C_e = \text{cost.}$
 $\omega_0 = \text{cost.}$

P_o e $C_e \omega_0$ non dipendono da ω di rotazione.

ha lo scopo di variare V_{MT} (lato media)

Al variare di AT, il regolatore o variatore automatico tende a mantenere V_{MT} costante (al meglio possibile)

Modello: Come rappresentiamo il carico (TRAFO + RETE MT)?

1) Legge di potenza

$$y = x^\alpha$$

la variabile di potenza è x ; α è fiss.

$$\begin{cases} P = P_0 \left(\frac{V}{V_0}\right)^\alpha \\ Q = Q_0 \left(\frac{V}{V_0}\right)^\beta \end{cases}$$

$$\log y = \alpha \log x$$

retta sugli assi
bilogarithmici

elasticità (termine economico) \rightarrow è l'esponente

$$y = y_0 \left(\frac{x}{x_0}\right)^\alpha$$

ho reso la base adimensionale, inoltre considero il passaggio per (x_0, y_0) . Derivando.

$$\begin{cases} \frac{dy}{dx} = y_0 \alpha \left(\frac{x}{x_0}\right)^{\alpha-1} \frac{1}{x_0} \\ y_0 = y \left(\frac{x_0}{x}\right)^{-\alpha} \end{cases} \Rightarrow \frac{dy}{dx} = y \left(\frac{x}{x_0}\right)^{-\alpha} \alpha \left(\frac{x}{x_0}\right)^{\alpha-1} \frac{1}{x_0}$$

$$\frac{dy}{y} = \alpha \frac{dx}{x}$$

$$\frac{dy}{dx} = \alpha \frac{y}{x}$$

$$\frac{\Delta y}{y} \approx \alpha \frac{\Delta x}{x}$$

elasticità

$$\alpha = \frac{\frac{\Delta y}{y}}{\frac{\Delta x}{x}}$$

rapporto tra
variazioni relative.

⚠ i carichi lato MT sono poco influenzati dalla tensione.

⚠ ad essere proporzionali sono i valori relativi e non i valori stessi.

27/03/2013.

lezione 3

$$\begin{cases} P = P_0 \left(\frac{V}{V_0}\right)^\alpha \\ Q = Q_0 \left(\frac{V}{V_0}\right)^\beta \end{cases}$$

$$\alpha = \frac{dP}{dV} \cdot \frac{V}{P} \sim \frac{\Delta P/P}{\Delta V/V}$$

$$\beta = \frac{dQ}{dV} \cdot \frac{V}{Q} \sim \frac{\Delta Q/Q}{\Delta V/V}$$

Casi particolari:

A) se $\alpha = \beta$ $\frac{Q}{P} = \frac{Q_0}{P_0}$ non dipende da V

$\tan \varphi = \tan \varphi_0$ sfasamento (V, I) costante e indipendente da V .

1) $\alpha = \beta = 0 \rightarrow$ carico a potenza costante.

$$\begin{cases} P = P_0 \\ Q = Q_0 \end{cases} \quad \forall V.$$

2) $\alpha = \beta = 1$ modello a corrente costante

$$\begin{cases} P = P_0 \cdot \frac{V}{V_0} \propto V \\ Q = Q_0 \cdot \frac{V}{V_0} \propto V \end{cases} \quad \cos \varphi = \text{cost.}$$

$$I = \frac{\sqrt{P^2 + Q^2}}{V} = \text{costante} = \frac{\sqrt{P_0^2 + Q_0^2}}{V_0} \text{ indipendente da } \varphi$$

\rightarrow viene utilizzata per le reti di distribuzione \rightarrow insieme di carichi visti a I_{cost} .

3) $\alpha = \beta = 2$ Carico a impedenza costante

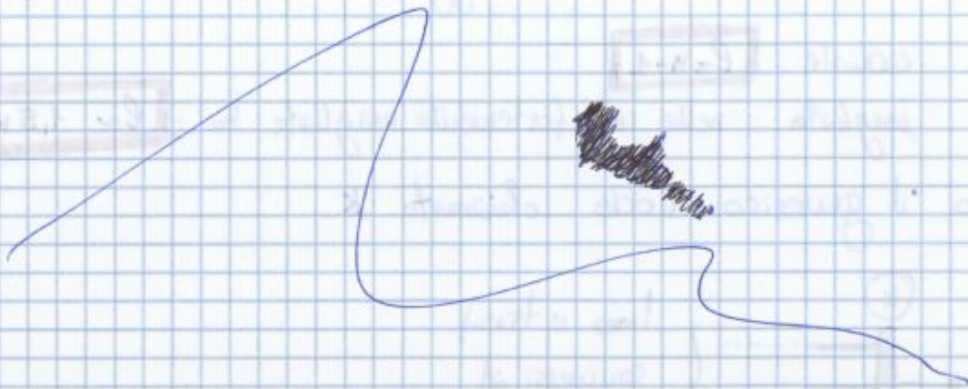


carichi generalmente con comportamento induttivo

$$G = \frac{P}{V^2} = \frac{P_0 \frac{V^2}{V_0^2}}{V^2} = \frac{P_0}{V_0^2} = G_0$$

indipendente da V .

AT \rightarrow modello a P. costante $\alpha = \beta = 0$
 \uparrow potenza.



fine modello a potenza costante.

Modello rete generica:

e costituita da elementi: linee e TRAFI.

lo scopo è la connessione tra generatori e carichi.

Andiamo a rappresentare l'intera sistema ora con un grafo cioè insieme di nodi (collegamenti)



struttura radiale con maglie.

lati: connessioni tra nodi
 \rightarrow linee e trafo.

nodi: punti di connessione tra linee e trafo \rightarrow generatori e carichi

Consideriamo una generica rete con n nodi e l lati, per garantire la connessione tra tutti i nodi ed avere una rete unica e non reti separate bisogna avere. $l \geq n - 1$



$l = n - 1$ \leftarrow struttura radiale priva di maglie (percorsi chiusi)

da Elettrotecnica \Rightarrow $l - n + 1 =$ Numero di maglie indipendenti 31

Abbiamo \bar{Y}_{L12} , \bar{Y}_{T12} e $\bar{Y}_{T21} \rightarrow$ parametri: linea o TRAF0
 • collegamento tra nodi $\boxed{2 \text{ e } 1}$

collegamento nodi $\boxed{2 \text{ e } 3}$

Y_{L23} , Y_{T23} , Y_{T32} ecc per il resto dei collegamenti

NB: i nodi $\boxed{1 \text{ e } 3}$ non sono collegati tra loro quindi?

$Y_{L13} = Y_{T13} = Y_{T31} = 0$ circuito aperto.

Assumiamo che

$\boxed{Y_{Lki} \stackrel{\text{def}}{=} Y_{Lik}}$ \rightarrow vuol dire $Y_{L21} = Y_{L12}$, ... ecc ecc
 $\boxed{Y_{Lkk} = 0; Y_{TKk} = 0}$ \rightarrow per comodità definisco così le auto ammettenze

Matrice delle ammettenze: mi permette di legare tra le \bar{I}_k (iniettate da generatori e carichi) e le \bar{V}_k

$\begin{cases} \bar{I} = [\bar{I}_1 \dots \bar{I}_k \dots \bar{I}_n]^T \\ \bar{V} = [\bar{V}_1 \dots \bar{V}_k \dots \bar{V}_n]^T \end{cases} \leftarrow \begin{cases} \text{definiamo i vettori:} \\ \text{tensione e corrente (colonne)} \\ \text{così} \end{cases}$

2f/3/13 (2) $\boxed{\bar{I} = Y_B \cdot \bar{V}}$ \rightarrow Y_B matrice delle ammettenze quadrata $n \times n$, come si trova?

$Y_B =$ matrice delle ammettenze nodali.
 nodi reti elettriche \rightarrow bus
 bus bar \rightarrow sbarra (nel senso elettrico)

Quindi Y_B sta per Y_{BUS}

Y_{ki} generica elemento di Y_B .

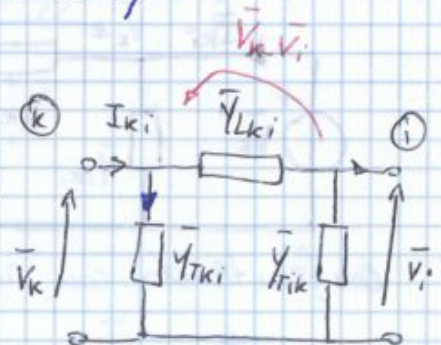
$\boxed{\bar{I}_k = \sum_{i=1}^n \bar{Y}_{ki} \cdot \bar{V}_i}$ Come si determina Y_B ? (tutti i suoi elementi costituenti)

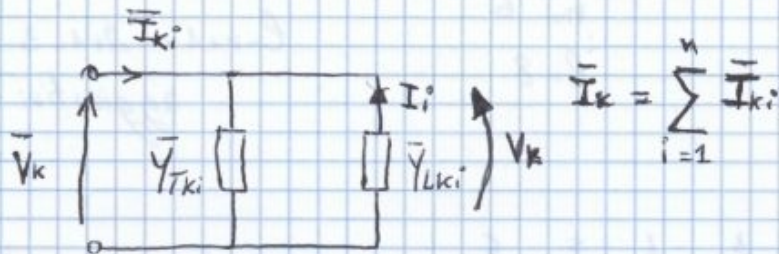
Determino l'elemento \bar{Y}_{ki}

$\bar{I}_k = \sum_{i=1}^n I_{ki}$ $\boxed{\text{con } I_{kk} \stackrel{\text{def}}{=} 0}$

$\bar{I}_{ki} = \bar{Y}_{Tki} \cdot \bar{V}_k + Y_{ki} (\bar{V}_k - \bar{V}_i)$

$\bar{I}_{ki} = (Y_{Tki} + Y_{ki}) \bar{V}_k - Y_{ki} \cdot \bar{V}_i$





Proprietà di Y_B (mat. amm. nodali)

■ e' una matrice simmetrica. $Y_{ki} = Y_{ik} \quad i \neq k$
 $Y_{ki} = -Y_{Lki} \Rightarrow$ *vol dire anche.*
 doppio dipolo (caso di linea con 2 nodi) \Rightarrow Reciprocità

■ e' una matrice sparsa, con molti zeri e con molti elementi nulli

$\rightarrow Y_{kk}$ sono tutti $\neq 0$

$\rightarrow Y_{ki} \quad i \neq k$ sono $\neq 0$ solo se i nodi sono collegati fra loro.

Consideriamo una generica linea con $\left. \begin{matrix} n \text{ nodi} \\ l \text{ lati} \end{matrix} \right\}$

Quanti sono gli elementi $\neq 0$

\Rightarrow $\underbrace{n}_{\text{diago}} + \underbrace{2l}_{\text{fuori diagonale}}$ facciamo un coefficiente.

$$\frac{n+2l}{n^2} = \frac{\text{n° elem. } \neq 0}{\text{n° tot. elementi}} = \frac{1}{n} + \frac{2l}{n^2}$$

Primo si e' detto che per AT fortemente magliata

ho $\boxed{L \sim 1,5n}$ $\Rightarrow n+2l \sim 4n$ quindi

$$\frac{n+2l}{n^2} \sim \frac{4n}{n^2} = \frac{4}{n} \quad \boxed{\frac{4}{n}} \text{ elementi } \neq 0 \text{ nelle reti fortemente magliate.}$$

con $n=100$ solo 4% di elementi di $Y_B \neq 0$

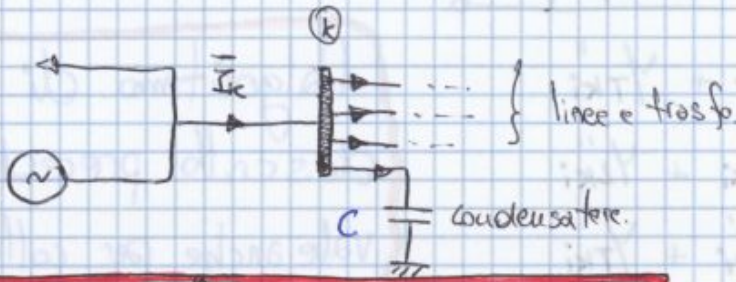
$n=1000$ solo 0,4%

$n=10000$ solo 0,04%

Estensioni:

Abbiamo finora considerato linee elettriche fatte da linee e trasformatori, in realtà possiamo rappresentare qualsiasi componente perché descrivibile con ammettenze.

- Componenti "trasversali" connessi a 1 solo nodo:
 - condensatori di rifasamento (estensione 1)



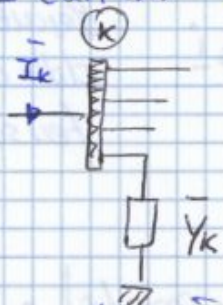
il condens. come contribuirà alla matrice delle ammett.

$$\bar{Y}_{kk} = \sum_{i=1}^n (\bar{Y}_{Tki} + \bar{Y}_{Lki}) + \mathbf{J}B_k$$

il condens. è collegato parallelamente alle ammettenze trasversali.

Esso, non contribuisce agli elementi fuori diagonale \bar{Y}_{ki}

- carichi del tipo: a impedenza costante



a differenza del C che ha ^{solo} parte immaginario $\rightarrow \bar{Y}_k$ ha anche la parte reale (che tiene conto della potenza attiva)

Qui la corrente \bar{I}_k viene definita come la corrente iniettata nel nodo k dai carichi e dai gen. fra cui la quota che va nell'impedenza costante \bar{Y}_k .

- linee e trafi in parallelo: (estensione 2)



Parametri ① linea.

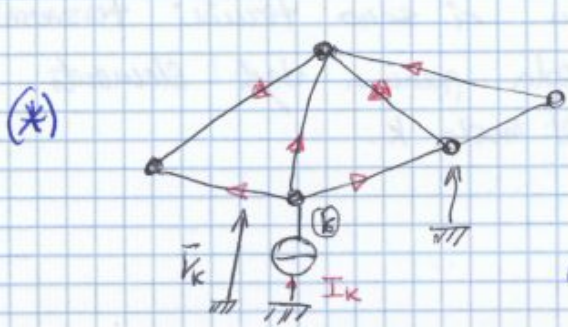
$$\bar{Y}_{Lki}'' , \bar{Y}_{Tki}'' , \bar{Y}_{Tik}''$$

② linea.

$$\bar{Y}_{Lki}' , \bar{Y}_{Tki}' , \bar{Y}_{Tik}'$$

ho situazione molto semplice

le longitudinali (ammettenze) sono sottoposte tutte alla tensione $\bar{V}_k - \bar{V}_i$

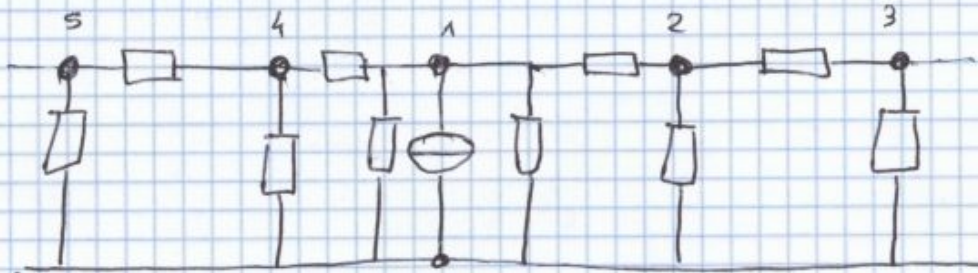
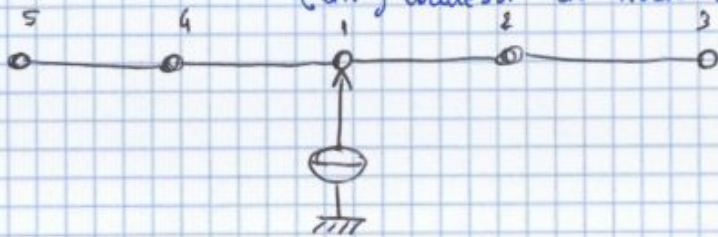


la corrente iniettata può andare dappertutto

Quindi?

con $\bar{I}_{kto} \Rightarrow \bar{V}_i \neq 0 \forall i$

mentre prima, un'ecitazione con tensione era pressoché locale, la corrente coinvolgeva solo i rami (lati) connessi al nodo K.

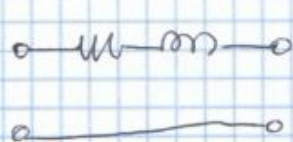


devo fare una semplice successione di calcoli; lungo metodo: in ogni biforcazione la corrente si divide e in ogni nodo la tensione $\neq 0$.

Considerazione:

sul grafo (*) non si capisce dove si rinchioda la corrente, cosa succede quando non ho parametri trasversali? \Rightarrow si tratta di rappresentare linee corte in cui si trascurano i parametri trasversali

quindi se $\bar{Y}_{Tki} = 0 \quad \forall k, i$



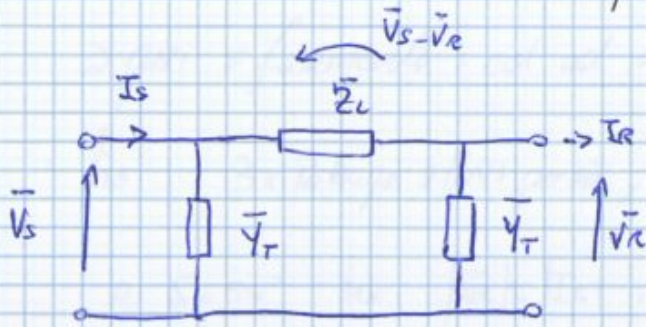
} - linee corte
- TRAFI con $t = 0$ (pa)

non $\exists Z_0$ ovvero Y_0 è singolare, non è invertibile?

\rightarrow somma delle colonne è nulla...

\exists la Y_0 ma è singolare quella delle impedenze Z_0 .

9/04/2013. Esercitazione ...



$$\bar{I}_R = \frac{\bar{V}_s - \bar{V}_R}{Z_L} - Y_T \bar{V}_R$$

$$I_s = \frac{V_s - V_R}{Z_L} + Y_T V_s$$

$$V_s = \text{ch}(\gamma_a) \bar{V}_R + Z_0 \text{sh}(\gamma_a) \bar{I}_R$$

$$\bar{I}_R = \frac{V_s - \text{ch}(\gamma_a) \bar{V}_R}{Z_0 \text{sh}(\gamma_a)}$$

$$\bar{I}_s = \frac{\text{sh}(\gamma_a)}{Z_0} \bar{V}_R + \text{ch}(\gamma_a) \bar{I}_R$$

Usa valori relativi \rightarrow valori base:

$$\begin{aligned} V_B &= 380\,000\text{V} \\ P_B = S_B &= 1000\text{MVA} \\ I_B &= \frac{S_B}{\sqrt{3}V_B} \\ Z_B &= \frac{V_B^2}{S_B} \end{aligned}$$

le tensioni sono già in valori relativi $\pm 5\%$

prendo come riferimento $\bar{V}_R = V_R / V_B$ (a destra).

$$\bar{V}_s = V_s / V_B$$

disegno in funzione di δ .

definisco un vettore in radianti δ

$V_R, \text{ch}(\gamma_a), \text{sh}(\gamma_a)$ sono scalari

\bar{I}_s, \bar{I}_R vettore.

V_s vettore

\Rightarrow calcolo:

$$P_R + jQ_R = \bar{V}_R \bar{I}_R^*$$

$$P_S + jQ_S = \bar{V}_s \cdot \bar{I}_s^* \quad (36)$$

Abbiamo quindi 2n equazioni che coinvolgono 4n variabili

Per cui devo avere che: 4n variabili



Importante:

Un nodo: P_k, Q_k, V_k, S_k

2 variabili vengono assegnate e 2 sono incognite

Aspetti importanti:

1) riferimento delle fasi (devo esserci una V_k di riferimento)

2) $\sum_{k=1}^n P_k = \Delta P$ perdite totali di linea.
 tutte le potenze attive,

\Rightarrow NON è possibile assegnare a priori tutte le P_k ,
poiché dipendono dalle correnti di linea; quindi non conosciamo le perdite

3) $\sum_{k=1}^n Q_k = \Delta Q$ assorbimento complessivo di Q dei componenti della rete.

\Rightarrow impossibile assegnare a priori tutte le Q_k per lo stesso motivo del punto 2).

In base alle variabili assegnate distinguiamo 3 tipi di nodi:

PQ = $\begin{cases} P_k, Q_k \text{ assegnate} \\ S_k, V_k \text{ incognite} \end{cases}$

PV = $\begin{cases} P_k, V_k \text{ assegnate} \\ S_k, Q_k \text{ incognite} \end{cases}$

(SL) VS (slack, saldo) $\left\{ V_k, S_k \text{ assegnati}; P_k, Q_k \text{ incognite} \right\}$

Quindi avremo $n = n_{PQ} + n_{PV} + n_{SL}$ generico sistema.

1) riferimento fasi $\Rightarrow n_{SL} \geq 1$ (almeno una fase assegnata)

2) $\sum_{k=1}^n P_k = \Delta P \Rightarrow n_{PV} + n_{PQ} < n$ ossia $n_{SL} \geq 1$
 \hookrightarrow impossibilità di assegnare tutte le p. attive.

3) $\sum_{k=1}^n Q_k = \Delta Q \Rightarrow n_{PQ} < n$ ossia $n_{SL} + n_{PV} \geq 1$



Sistema di equazioni che permette di studiare il sistema

$$n_{SL} = 1 \quad V_n; \quad S_n = 0; \quad (\text{ultimo nodo})$$

$$n_{PQ} + n_{PV} = n - 1 \quad n_{SL}$$

Incognite: $n-1$ fasi S_k (tutte le fasi, tranne lo slack)

$n_{PQ} \rightarrow$ moduli V_k, S_k (Incognite)

$n_{PV} + 1$ potenze reattive Q_k (nodi PV + slack) (Incognite)

1 potenza attiva ($P_n = \text{slack}$) (Incognite)

Introduciamo: il vettore \bar{x}

$$\bar{x} = \left[\underbrace{S_1 \dots S_{n-1}}_{n-1 \text{ (fasi)}} \quad \underbrace{V_1 \dots V_{n_{PQ}}}_{n_{PQ} \text{ (modulo tensione)}} \right]^T$$

Imponiamo che:

nodi da 1 a $n_{PQ} \rightarrow$ tipo PQ

nodi da $n_{PQ} + 1$ ad $n-1 = n_{PQ} + n_{PV} \rightarrow$ tipo PV

nodo $n \rightarrow$ slack

$$\boxed{n-1 + n_{PQ} = 2n_{PQ} + n_{PV}}$$

elementi di \bar{x}

con $n-1 = n_{PQ} + n_{PV}$

~~con $n-1 = n_{PQ} + n_{PV}$~~

$n-1$: Bilanci di potenza attiva nodi PQ e PV }
 n_{PQ} : " " " reattive " PQ }

Questi bilanci non contengono incognite che non abbiamo considerato

} Q_k nei nodi PV
 } P_n Qu nodo slack

Sistema di ordine $2n_{PQ} + n_{PV}$

$$f(\bar{x}) = 0$$

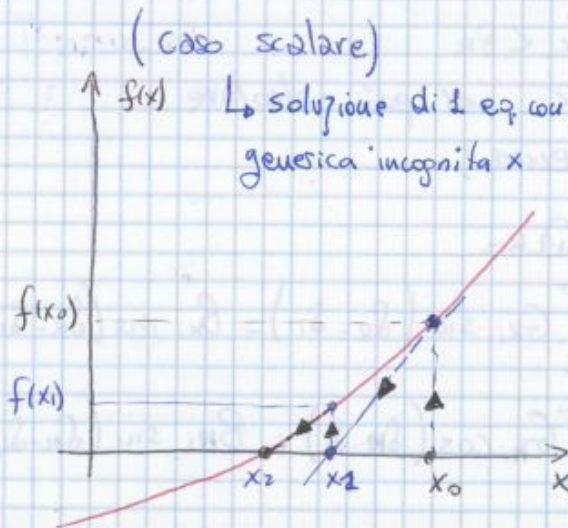
$$f_{Pk} = V_k \sum_{i=1}^n V_i \left[G_{ki} \cos(\delta_k - \delta_i) + B_{ki} \sin(\delta_k - \delta_i) \right] - \underbrace{P_k}_{P_{Gk} - P_{Lk}}$$

$$f_{Qk} = V_k \sum_{i=1}^n V_i \left[G_{ki} \sin(\delta_k - \delta_i) - B_{ki} \cos(\delta_k - \delta_i) \right] - Q_k$$

Risoluzione del sistema non lineare $\underline{f}(x) = 0$
 → metodi iterativi

tale termine lo ricavo considerando I_k

Metodo di Newton-Raphson



$$f(x) \approx f(x_0) + f'(x_0)(x - x_0) = 0$$

$$x_1 = x_0 - f'^{-1}(x_0) f(x_0)$$

$$f(x) \approx f(x_1) + f'(x_1)(x - x_1) = 0$$

$$x_2 = x_1 - f'^{-1}(x_1) f(x_1) \rightarrow$$

parto da un punto iniziale x_0 , approssimo la $f(x)$ con sviluppo in serie del 1° ordine intorno a x_0 ⇒ graficamente vuol dire appross. $f(x)$ con la tangente in $f(x_0)$ ⇒ linearizzo, procedo di nuovo con x_1 .

Indice iterazione m

$$f(x) \approx f(x_{m-1}) + f'(x_{m-1})(x - x_{m-1}) = 0$$

$$x_m = x_{m-1} - f'^{-1}(x_{m-1}) f(x_{m-1})$$

Criteri di arresto

1) $\Delta x_m = x_m - x_{m-1} = -f'^{-1}(x_{m-1}) f(x_{m-1}) < \epsilon_x$

soglia prefissata

2) $|f(x_m)| < \epsilon_f$



Cosa succede se esistono 2 soluzioni?

$$\underline{f}(\underline{x}) = \underline{f}(\underline{x}_0) + \underline{J}_0 (\underline{x} - \underline{x}_0) = 0 \quad \text{pongo a zero l'espressione approx.}$$

\swarrow derivate calcolate per \underline{x}_0

$$\Delta \underline{x}_0 = \underline{x}_1 - \underline{x}_0 \quad \text{allora:}$$

$$\underline{J}_0 \Delta \underline{x} = - \underline{f}(\underline{x}_0) \quad \text{sistema lineare}$$

\downarrow matrice \downarrow
 coefficienti termine noto.

$$\Delta \underline{x}_1 = - \underline{J}_0^{-1} \underline{f}(\underline{x}_0) \quad \underline{x}_1 = \underline{x}_0 + \Delta \underline{x}_1$$

in generale

$$\underline{f}(\underline{x}_{m-1}) + \underline{J}_{m-1} (\underline{x} - \underline{x}_{m-1}) = 0$$

$$\Delta \underline{x}_m = \underline{J}_{m-1}^{-1} \underline{f}(\underline{x}_{m-1})$$

linearizzazione rispetto alla generica iterazione

► Criteri d'arresto

1) $\| \Delta \underline{x}_m \| < \epsilon_x$

2) $\| \underline{f}(\underline{x}_m) \| < \epsilon_f \rightarrow$ norma del vettore (di solito si usa norma ∞).

ossia $\|a\|_\infty = \text{MAX } |a_k| \rightarrow$ tra tutte le compari. del vettore si prende la componente con valore assoluto maggiore.

$$\|a\|_\infty < \epsilon \Rightarrow |a_k| < \epsilon \quad \forall k. \quad 10-04-13 \quad (2)$$

Applicazione di N-R alle eq. di load-flow



$$\underline{x} = [\delta_1 \dots \delta_{n-1} \quad V_1 \dots V_{npq}]^T$$

$$\underline{f} = [\underbrace{f_{p1} \dots f_{p,n-1}}_{n-1} \quad \underbrace{f_{q1} \dots f_{q,npq}}_{npq}] \leftarrow \text{vettore bilanci di potenza}$$



tali vettori (\underline{x} e \underline{f}) sono suddivisibili in 2 vettori

Posso suddividere la matrice Jacobiana in 4 sotto-matrici, di cui 2 sono quadrate ($(n-1) \times (n-1)$) ($npq \times npq$)

$$\frac{\partial f_{pk}}{\partial v_k} = \sum_{\substack{i=1 \\ i \neq k}}^n V_i \left[G_{ki} \cos(\delta_k - \delta_i) + B_{ki} \sin(\delta_k - \delta_i) \right] + \underbrace{2 G_{kk} V_k}_{\text{contributo quando } i=k.}$$

→ Potenza reattiva:

$$f_{qk} = V_k \sum_{i=1}^n V_i \left[G_{ki} \sin(\delta_k - \delta_i) - B_{ki} \cos(\delta_k - \delta_i) \right] - Q_k$$

~~non Q_k~~ $\rightarrow L_0 = -V_k B_{kk}$ se $i=k$.

• $\frac{\partial f_{qk}}{\partial \delta_i} (i \neq k) = V_k V_i \left[-G_{ki} \cos(\delta_k - \delta_i) - B_{ki} \sin(\delta_k - \delta_i) \right]$

• $\frac{\partial f_{qk}}{\partial \delta_k} = V_k \sum_{\substack{i=1 \\ i \neq k}}^n V_i \left[G_{ki} \cos(\delta_k - \delta_i) + B_{ki} \sin(\delta_k - \delta_i) \right]$

• $\frac{\partial f_{qk}}{\partial v_i} (i \neq k) = V_k \left[G_{ki} \sin(\delta_k - \delta_i) - B_{ki} \cos(\delta_k - \delta_i) \right]$

• $\frac{\partial f_{qk}}{\partial v_k} = \sum_{\substack{i=1 \\ i \neq k}}^n V_i \left[G_{ki} \sin(\delta_k - \delta_i) - B_{ki} \cos(\delta_k - \delta_i) \right] - \underbrace{2 B_{kk} V_k}_{\text{contributo per } i=k.}$

quando $i=k$ ho $\Sigma = G_{kk} V_k^2$ ma

OSSERVAZIONE

è l'unica derivata che ne tiene conto e $\frac{\partial f_{qk}}{\partial v_k}$ nelle altre non lo considero nemmeno.

La matrice J è sparsa, questo poiché:

$$\frac{\partial f_{pk}}{\partial \delta_i} (i \neq k) = V_k V_i \left[G_{ki} \sin(\delta_k - \delta_i) - B_{ki} \cos(\delta_k - \delta_i) \right]$$

noto che $\frac{\partial f_{pk}}{\partial \delta_i} = 0$ se il nodo i non è collegato al nodo k (poiché in questo caso $G_{ki} = B_{ki} = 0$)

lo stesso ragionamento vale per le altre derivate allo stesso modo (nel caso $i \neq k$)



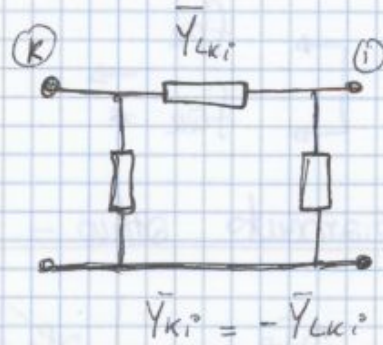
forando a N-R: (riesco a risolvere sistemi di grandi dimensioni ~~ma~~ basta che abbia sparsità)

se non ho nodi collegati i termini G_{ki} e B_{ki} sono rispettivamente nulli.

$$\left| \frac{\partial f_{PK}}{\partial v_i} v_i \right| \ll \left| \frac{\partial f_{PK}}{\partial s_i} \right|$$

lo faccio usando le espressioni trovate in precedenza delle derivate.

- 1) $|G_{ki}| \ll |B_{ki}|$
- 2) $|s_k - s_i| \ll 1$



⚠ Per avere Q occorre squilibrare le tensioni nelle linee

$$|G_{ki}| \ll |B_{ki}| \Rightarrow$$

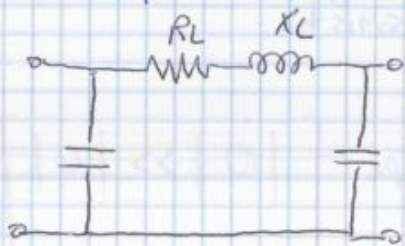
linee e trafo. con $R \ll X$

$$|s_k - s_i| \ll 1 \Rightarrow \cos(s_k - s_i) \approx 1$$

$$\sin(s_k - s_i) \approx s_k - s_i$$

Sviluppo di Taylor

Precisazione (linea):



$$\begin{aligned} \bar{Y}_{ki} &= G_{ki} + jB_{ki} = -\bar{Y}_{Lki} \\ &= -\frac{1}{R_L + jX_L} = -\frac{R_L - jX_L}{R_L^2 + X_L^2} \end{aligned}$$

$$\Rightarrow \left| \frac{B_{ki}}{G_{ki}} \right| = \frac{X_L}{R_L} \gg 1$$

Tornando alle derivate:

$$\frac{1}{V_k V_i} \frac{\partial f_{PK}}{\partial s_i} \approx G_{ki} (s_k - s_i) - B_{ki}$$

$$\left| \frac{1}{V_k} \frac{\partial f_{PK}}{\partial v_i} \right| \approx \left| G_{ki} + B_{ki} (s_k - s_i) \right| \ll \left| \frac{\partial f_{PK}}{\partial s_i} \frac{1}{V_k V_i} \right|$$



si vede bene come devono essere verificate entrambe le ipotesi per verificare la disuguaglianza.

Considerazioni analoghe valgono per le potenze reattive

$$\left(\text{si trova } \frac{1}{V_k V_i} \frac{\partial f_{QK}}{\partial s_i} \text{ e } \frac{1}{V_k} \frac{\partial f_{QK}}{\partial v_i} \text{ e si vede} \right)$$

$$= -V_1 V_2 \cos(\delta_2 - \delta_1) - B_{22} V_2^2$$

Definizione equazione di load flow:

Scegliamo slack = nodo 2 ($\delta_2 = 0$)

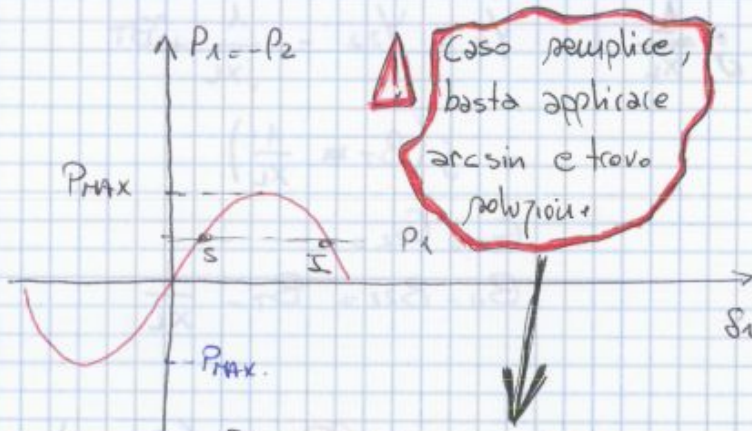
nodo 1 = PV

$$\begin{cases} n_{PQ} = 0 \\ n_{PV} = 1 \\ n_{NS} = 1 \end{cases}$$

$$\underline{x} = [\delta_1]$$

$$\delta_2 = 0$$

$$\underline{f} = [f_{P1}] = B_{21} V_1 V_2 \sin(\delta_1) - P_1 = 0$$



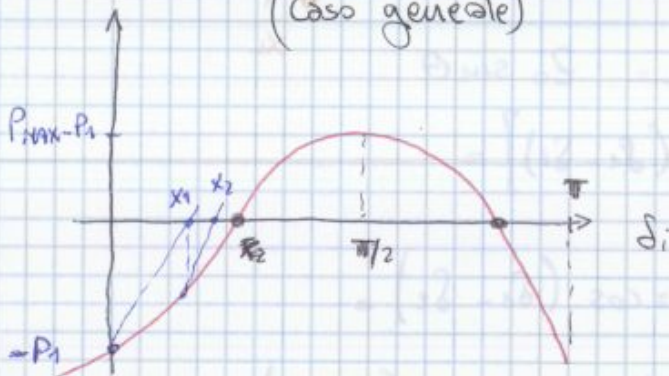
$P_1 = P_{G1} - P_{L1}$ assegnata

se $|P_1| > P_{max} \Rightarrow$ No soluzioni;

se $|P_1| < P_{max} \Rightarrow$ 2 soluzioni

$\delta_1 = \delta_1 - \delta_2 \quad |\delta_1| < \frac{\pi}{2} \Rightarrow$ soluzione stabile

Proviamo a risolvere con l'eq. Newton-Raphson: (caso generale)



In assenza di informazioni si parte con $\delta_1 = 0$

\Rightarrow così si arriva nella soluzione stabile

Se partissi da un δ maggior potrei arrivare a δ instabile

Punto di partenza per N-R \Rightarrow In assenza di informazioni punto da profilo "piatto"

$$\underline{x} = \begin{cases} \delta_1 = \dots = \delta_{n-1} = \delta_n = 0 \\ V_1 = \dots = V_{PQ} = 1 \text{ p.u.} \end{cases}$$

$$\delta_i = \dots = \delta_n = 0 \quad \forall i$$

$$V_i = 1 \text{ pu} \quad \forall i = 1 \\ = (V_{inorm})$$

NB. la matrice dei coefficienti lineari è la Jacobiana e contiene lo stesso livello di sparsità delle matrici delle ammettenze nodali



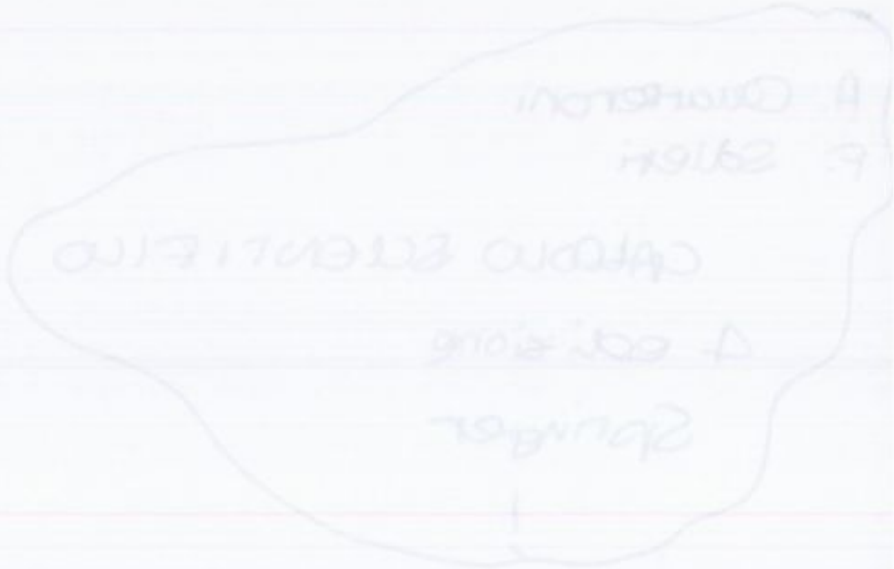
Comando matlab.

(lu) per fattorizzazione di Gauss con pivoting parziale

→ caso [A] generale.

~~(lu) per fattorizzazione di Gauss con pivoting parziale~~
~~diagonale (quadrato) e L~~

→ $A = LU\text{GAUSS}(A)$.



II eq $L_{21} y_1 + L_{22} y_2 = b_2 \rightarrow$

$\rightarrow \frac{L_{21}}{L_{22}} b_1 + L_{22} y_2 = b_2$ (FORWARD SUBSTITUTION)
calcolo delle y.

$\Rightarrow y_2 = \frac{1}{L_{22}} (b_2 - L_{21} y_1)$

e così via fino a y_n III eq,

• $U \underline{x} = \underline{y}$ ultima equazione $U_{nn} \cdot x_n = y_n$ \rightarrow nota
 $\rightarrow x_n = \frac{y_n}{U_{nn}}$

Backward substitution \rightarrow parto da penultima eq perché ha meno incognite x.

$U_{(n-1)(n-1)} x_{n-1} + U_{(n-1)n} x_n = y_{n-1}$

\rightarrow trovo x_{n-1} e così via fino ad x_1 .

Ricapitolando :

se $A = LU$ e' nota, alla $A \underline{x} = \underline{b}$ si risolve così

1) F.S. $L \underline{y} = \underline{b} \rightarrow$ trovo \underline{y}

2) B.S. $U \underline{x} = \underline{y} \rightarrow$ trovo \underline{x}

Osservazione : se A e' sparsa L e U sono sparsi

Possibilità (varianti metodo "base")

1) mantenere costante J (siccome prima ad ogni iterazione) \rightarrow cambia x quindi anche J

$J_{m+1} \Delta \underline{x} = - \underline{f}_{m+1}$
 \uparrow costante

$J_0 \Delta \underline{x}_m = - \underline{f}_m$ $J_0 = L_0 U_0$

F.S $L_0 \Delta \underline{y}_m = - \underline{f}_m$

B.S $U_0 \Delta \underline{x}_m = \underline{y}_m$



svantaggio : aumento il numero di iterazioni per ottenere la convergenza

ver. firsata $\rightarrow \frac{\partial f_p}{\partial V} = \frac{\partial f_Q}{\partial S} = 0$

3) J costante e disaccoppiamento (accabino due semplifiaz.)
 \rightarrow metodo FDLF : Fast decoupled Load flow (1974)

$$\begin{cases} B' \Delta \underline{\delta} = \frac{\Delta P}{V} \\ B'' \Delta \underline{V} = \frac{\Delta Q}{V} \end{cases} \quad \begin{array}{l} B' : (n-1) \times (n-1) ; \text{costante. } J_{PS} \\ B'' : n_{pa} \times n_{pa} ; \text{costante. } J_{QV} \end{array}$$

$$\Delta \underline{\delta} = \left[\delta_1 \dots \delta_{n-1} \right]^T ; \quad \Delta \underline{V} = \left[V_1 \dots V_{n_{pa}} \right]^T$$

$$\frac{\Delta P}{V} = \left[-\frac{f_{p1}}{V_1} \dots -\frac{f_{p(n-1)}}{V_{n-1}} \right]^T$$

$$\frac{\Delta Q}{V} = \left[-\frac{f_{q1}}{V_1} \dots -\frac{f_{q(n_{pa})}}{V_{n_{pa}}} \right]^T$$

$$\frac{\partial f_{pk}}{\partial \delta_i} = V_k V_i \left[G_{ki} \sin(\delta_k - \delta_i) - B_{ki} \cos(\delta_k - \delta_i) \right] \quad i \neq k$$

quindi $\frac{\partial f_{pk}}{\partial \delta_k} \propto V_k$

$$\frac{\partial f_{qk}}{\partial V_i} \propto V_k \quad V_i$$

$$\frac{1}{V_k} \frac{\partial f_{pk}}{\partial \delta_i} = -B_{ki}$$

elementi di B' $\frac{1}{V_k} \frac{\partial f_{pk}}{\partial \delta_i} = V_i \left[\frac{G_{ki} \sin(\delta_k - \delta_i) - B_{ki} \cos(\delta_k - \delta_i)}{\cos(\delta_k - \delta_i)} \right]$

approssimo usando

- $|G_{ki}| \ll |B_{ki}|$

- $|\delta_k - \delta_i| \ll 1$

$\cup V_i \approx 1$ pu
valori relativi

$$\Rightarrow \frac{1}{V_k} \frac{\partial f_{pk}}{\partial \delta_i} \approx -B_{ki}$$

\rightarrow gli elementi di B' sono le B_{ki}

$$\frac{1}{V_k} \frac{\partial f_{pk}}{\partial \delta_k} = \sum_{\substack{i=1 \\ i \neq k}}^n V_i \left[-G_{ki} \sin(\delta_k - \delta_i) + B_{ki} \cos(\delta_k - \delta_i) \right] \approx$$

$$\frac{1}{V_k} \frac{\partial f_{pk}}{\partial \delta_k} = \sum_{\substack{i=1 \\ i \neq k}}^n B_{ki}$$

$$\sum_{\substack{i=1 \\ i \neq k}}^n B_{ki}$$

con $\begin{cases} \cos(\delta_k - \delta_i) = 1 \\ \sin(\delta_k - \delta_i) = 0 \\ V_i \approx 1 \text{ pu} \end{cases}$

Generico sistema con n nodi

nodo n è slack $\Rightarrow S_n = 0$

$P_k = P_{Gk} - P_{Lk}$ introduciamo:

$\underline{P} = [P_1 \dots P_k \dots P_{n-1}]^T$ vettore potenze nette nodali

$\underline{S} = [S_1 \dots S_k \dots S_{n-1}]^T$ ($S_n = 0$)

Rete DC \rightarrow metodo del potenziale di nodi

$\underline{P} \rightarrow$ correnti DC iniettate $S_n = 0$ rif. potenziale

$\underline{S} \rightarrow$ potenziali DC, tranne l'ultimo

allora $B\underline{S} = \underline{P}$ B è matrice $(n-1) \times (n-1)$,
matrice delle conduttanze della rete in DC.

elementi matrice:

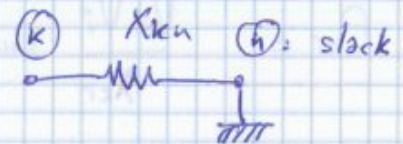
B_{ki} ($k \neq i$) $\begin{cases} = -\frac{1}{X_{ki}} & \text{se } k \text{ ed } i \text{ sono connessi} \\ = 0 & \text{se } k \text{ ed } i \text{ non sono connessi} \end{cases}$

$B_{kk} = \sum_{i=1}^n \frac{1}{X_{ki}}$ somma di tutte le conduttanze collegate al nodo k .

(dove $\frac{1}{X_{ki}} = 0$ se k ed i non sono collegati)

Nota:

in B_{kk} contribuisce anche X_{kn} mentre X_{kn} non contribuisce a B_{ki}



Notiamo che

$B = B'$

DLF

FOLF

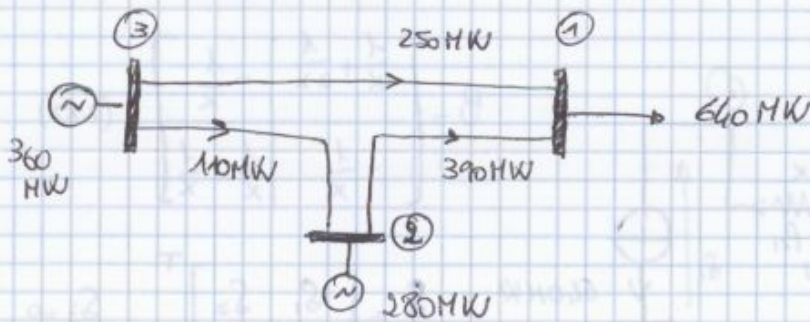
Uso sovrapposizione effetti per ottenere le potenze transitorie

$$P_{21} = 320 + 70 = 390 \text{ MW}$$

$$P_{31} = 320 - 70 = 250 \text{ MW}$$

$$P_{32} = 320 - 20 = 250 \text{ MW}$$

quindi errore:



Metodo generale

- si costruisce B
- si trova P
- si risolve $B \underline{\delta} = \underline{P} \rightarrow \underline{\delta}$

$$P_{ki} = \begin{cases} = \frac{S_k - S_i}{X_{ki}} & k, i \text{ connessi} \\ = 0 & k, i \text{ non connessi} \end{cases} \quad \text{espressione approssimata}$$

— Cio' ci permette di verificare i limiti sulle correnti di rete.

$$\begin{array}{c} k \\ \hline \overline{V_k} \end{array} \xrightarrow{P_{ki} + jQ_{ki}} i \quad I_{ki} = \frac{\sqrt{P_{ki}^2 + Q_{ki}^2}}{V_k}$$

$$\text{AT} \rightarrow Q_{ki}^2 \ll P_{ki}^2$$

$$V_k \approx 1 \text{ pu}$$

$$\Rightarrow I_{ki} = P_{ki} \text{ (in pu)} \quad (\text{devo verificare il limite tecnico})$$

stima delle perdite

$$\Delta P_{ki} = R_{ki} I_{ki}^2 \approx R_{ki} P_{ki}^2 \text{ (per unit)}$$

$$\begin{cases} P = \frac{E V}{X} \sin \delta \\ Q = \frac{V}{X} (E \cos \delta - V) \end{cases}$$

per evitare di fare troppi conti faccio un caso particolare, $Q=0$

► Caso particolare $Q=0$ (più facile algebricamente)

$$\begin{cases} X P = E V \sin \delta & \text{elevo al 2} \\ X Q + V^2 = E V \cos \delta & \text{elevo al 2} \end{cases}$$

$$X^2 P^2 + (X Q + V^2)^2 = E^2 V^2 \quad \text{eq. biquadratica}$$

nodo PQ con \rightarrow con $Q=0$

$\rightarrow V^4, V^2$ risolvibile analiticamente

$$V^4 - E^2 V^2 + X^2 P^2 = 0$$

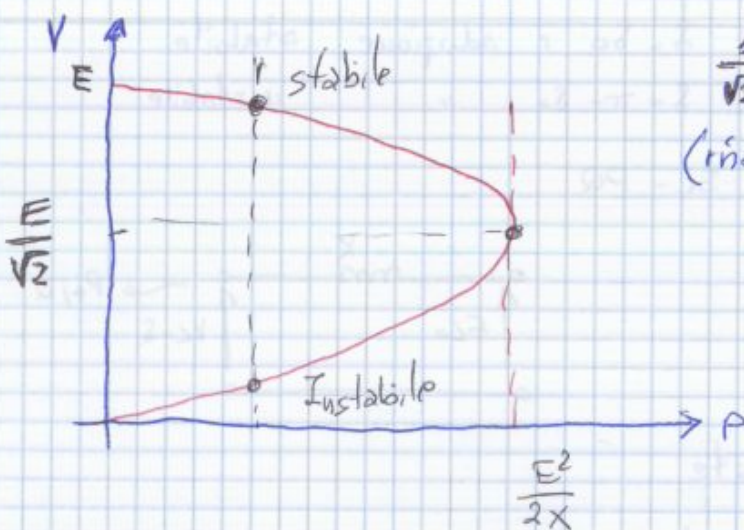
$$\Delta = E^4 - 4 X^2 P^2 \geq 0 \Leftrightarrow \text{esist. soluzioni}$$

$$\Rightarrow P^2 \leq \frac{E^4}{4 X^2} \Rightarrow |P| \leq \frac{E^2}{2 X}$$

Quindi nodo PV $\Rightarrow |P| \leq \frac{E V}{X} \approx \frac{E^2}{X} \quad V \approx E$
 e nodo PQ $\Rightarrow |P| \leq \frac{E^2}{2 X} = \frac{(P_{MAX}) E - V}{2}$

per cui? $V = \sqrt{\frac{E^2 \pm \sqrt{E^4 - 4 X^2 P^2}}{2}}$

il nodo PQ è ancora più stringente ($\frac{P_{MAX}}{2}$)

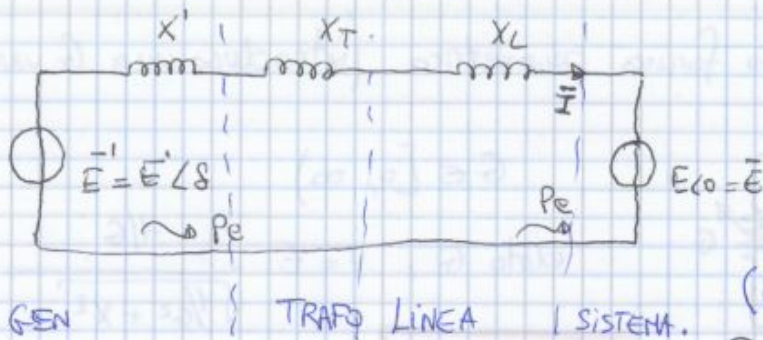


$$\frac{1}{\sqrt{2}} \approx 0,7$$

(inammissibile in reti a tensione costante, il ns. è solo teorico)

Nota che: $P=0 \Rightarrow V=0$ oppure $V=E$

altrimenti P qualsiasi $\Rightarrow 2$ soluzioni



X' = reattanza transitoria

$X' \ll X_s$

$X' \sim 0.2 - 0.3 \text{ pu}$

(base S_N, V_N generatore)

E' = f.e.m transitorio

$|E'| \propto \varphi_{ecc}$

transitorio

X'

$E' \propto \varphi_{ecc}$

Generatore (parto dall'eq. di bilancio di coppie)

$J \frac{d\omega}{dt} = C_m - C_e$

↓
Coppia inerzia

↓
coppia meccanica (motore primo)

↓
coppia elettromagnetica

$J \omega \frac{d\omega}{dt} = P_m - P_e$

derivata energia cinetica

P_m = potenza meccanica

P_e = potenza elettrica

$J \omega \frac{d\omega}{dt} = \frac{d}{dt} \left(\frac{1}{2} J \omega^2 \right)$

Se $P_m > P_e$ $\frac{d\omega}{dt} > 0$ $\omega \uparrow$

se $P_m < P_e$ $\frac{d\omega}{dt} < 0$ $\omega \downarrow$

la cosa che facciamo del modello con bilancio di coppie? facciamo una associazione.

a regime = $\omega = \omega_0 \rightarrow \omega_0 = 2\pi f$ $P_m = P_e$

Sappiamo che

$P_e = P_{MAX} \sin \delta$

$P_{MAX} = \frac{E' E}{X' + X_T + X_L}$ $E' \propto \varphi_{ecc}$

$J \omega \frac{d\omega}{dt} \approx J \omega_0 \frac{d\omega}{dt}$

$|\omega - \omega_0| \ll \omega_0$ Considero piccole variazioni di ω

δ = sfasamento tra generatore e rete.

X_L e $E_{Co} = \bar{E}$ rappresentano la rete e la tensione qui e' anche un riferimento

sono delle v. di stato quindi non possono variare bruscamente a fronte di una perturbazione

per le macchine isotrope ho $\frac{X_s}{X'} \approx 2-3$ normalmente invece ho $\frac{X_s}{X'} \approx 20-30$ quindi almeno un'ordine di grandezza

Eq. caratteristica:

$$j\omega_0 d^2 + P_{MAX} \cos \delta_0 = 0$$

o $P_{MAX} \cos \delta_0 > 0 \quad |\delta_0| < \pi/2$

$$d = \pm j \sqrt{\frac{P_{MAX} \cos \delta_0}{j\omega_0}}$$

o $P_{MAX} \cos \delta_0 < 0 \quad |\delta_0| > \pi/2$

$$d = \pm \sqrt{-\frac{P_{MAX} \cos \delta_0}{j\omega_0}}$$

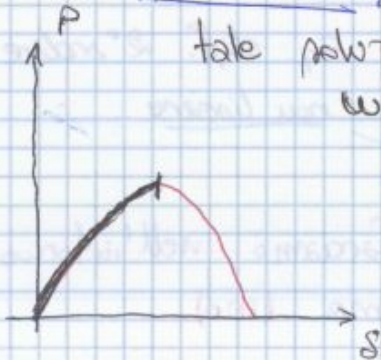
Soluzione generale: $Ae^{\lambda_1 t} + Be^{\lambda_2 t} = \Delta s$



Comportamento instabile

(ha un termine divergente dato che $Re \lambda > 0$)

Siccome la soluzione è data da due termini, basta che diverga uno affinché diverga la soluzione complessiva.

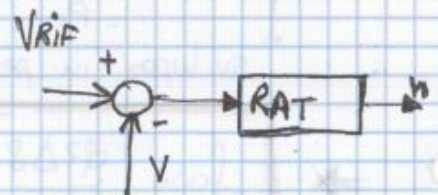
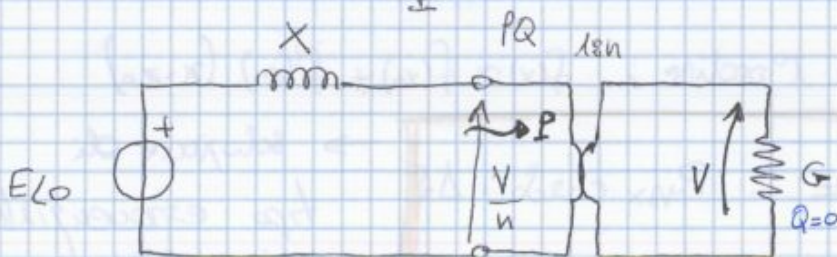
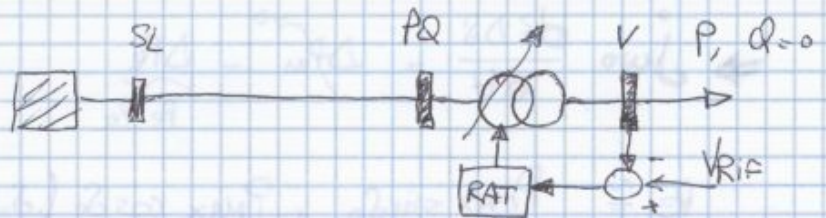
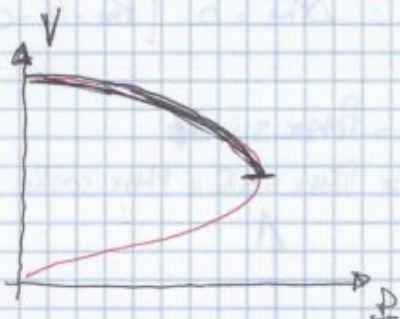


↳ simile ad un pendolo rigido a cui viene applicata una coppia iniziale (forza) tale per cui abbia equilibrio in un punto diverso da quello del pendolo classico.

Sistema a 2 nodi - SL-PQ:

↳ stabilità della tensione ← SL-PQ.

↳ modello dinamico del carico:



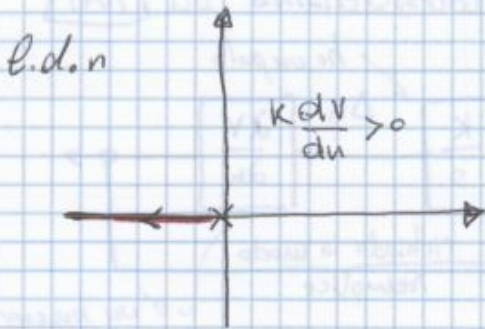
- per avere $Q=0$, metterlo come carico G

- rappresentato il TR come se fosse morto

TRAF
inerte

Regolatore Automatico di Tensione

In termini analitici:



Pertanto basta concentrarci sul segno del numeratore di $\frac{dV}{dn}$! il denominatore è sempre positivo.

STABILITÀ:

$$2n(1 + n^4 G^2 X^2) - 4n^3 G^2 X^2 n^2 > 0$$

$$\Rightarrow 1 + n^4 G^2 X^2 - 2n^4 G^2 X^2 > 0$$

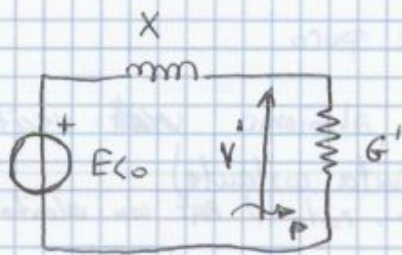
$$\Rightarrow 1 - n^4 G^2 X^2 > 0$$

usando $G' = n^2 G$ ho

$$1 > G'^2 X^2 \Rightarrow$$

$$G' < \frac{1}{X}$$

stesso risultato ottenuto prima.

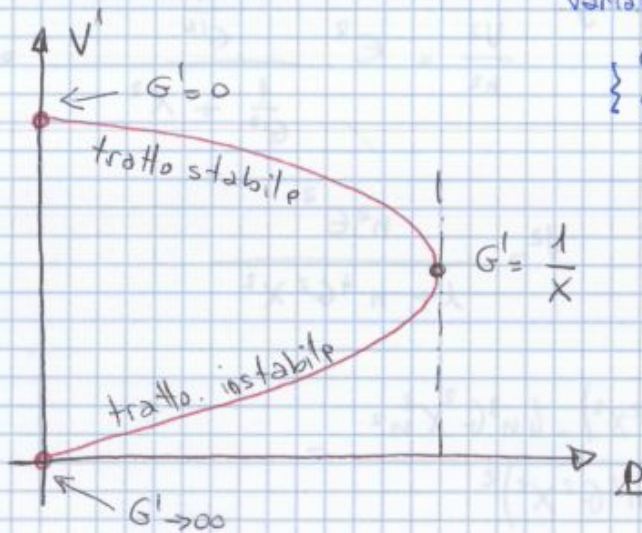


$$V' = \frac{V}{n}$$

Posso, quindi, dimenticare il Trafo e n variabile con la semplice sostituzione

$$\begin{cases} G' = n^2 G \\ V' = \frac{V}{n} \end{cases}$$

\Rightarrow graficando mi ritrovo con un grafico simile al caso con nodi SL-PV.



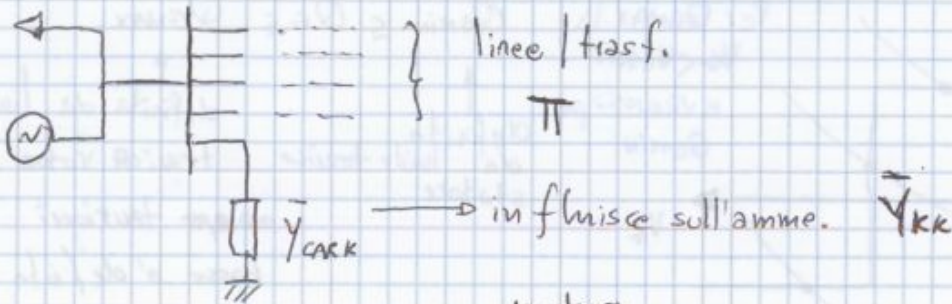
mancherebbe la lezione del 17/04 ?

$\begin{cases} Z \text{ cost. } & \alpha = \beta = 2 \\ I \text{ cost. } & \alpha = \beta = 1 \\ P \text{ cost. } & \alpha = \beta = 0 \end{cases}$

avevamo introdotto un modello generale con leggi di potenza α, β (esponenti) in funzione della potenza.

per $p = \text{cost}$ → fem base.

per $Z = \text{cost}$ → l'impedenza $\sum_{(carica)}$ può essere inclusa nella matrice di impedenze nodali: \bar{Z}_B



Consideriamo un bilancio ^{di potenza} attiva P nel nodo k .

$$\begin{aligned}
 P_k &= V_k \sum_{i=1}^n V_i \left[G_{ki} \cos(\delta_k - \delta_i) + B_{ki} \sin(\delta_k - \delta_i) \right] + \\
 &\quad - \left(P_{Lk} - P_{Lk0} \left(\frac{V_k}{V_{k0}} \right)^{\alpha_k} \right) = 0 \quad \left[P_k = P_{Lk0} \left(\frac{V_k}{V_{k0}} \right)^{\alpha_k} \right] \\
 &\Rightarrow P_k = P_{Gk} - P_{Lk}
 \end{aligned}$$

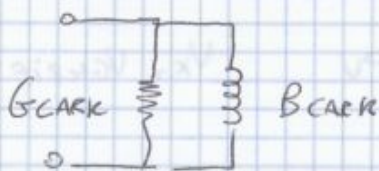
$\left. \begin{aligned} P &= P_0 \left(\frac{V}{V_0} \right)^\alpha \\ Q &= Q_0 \left(\frac{V}{V_0} \right)^\beta \end{aligned} \right\}$

Potenza netta. ↖ non ha dipendenza dal termine i -esimo

Con $i=k \Rightarrow G_{kk} V_k^2 + \frac{P_{Lk0}}{V_{k0}^2} V_k^2 = 0$ non ho generatori: incluso $i=k$

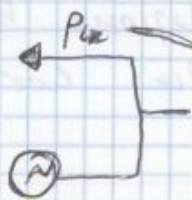
$\left[G_{kk} + \frac{P_{Lk0}}{V_{k0}^2} \right] V_k^2$

quindi Hammetts la rappresenta come:



$$Y_{CAKK} = G_{CAKK} + j B_{CAKK}$$

Per chiarire bene cosa vuol dire includere \bar{Z}_{carica} → posso spostarlo e vederlo come un contributo nella matrice, includo tale contributo nella Jacobiana e ho concluso.



Analogamente il concetto vale per la P_r reattiva

Quindi la generazione al nodo k è data da quota fissa + % di ΔP_G .

da (2) ho:
$$\sum_{k=1}^n P_{Gk} = \sum_{k=1}^n P_{Lk} + P_{Loss}$$
 quindi da (1)

$$= \sum_{k=1}^n P_{Gk0} + \Delta P_G \quad \text{quindi ricavo } \Delta P_G$$

$$\Delta P_G = \sum_{k=1}^n P_{Lk} + P_{Loss} - \sum_{k=1}^n P_{Gk0}$$

carico totale
perdite
generazioni fisse (quota fissa)

Variabile che garantisce il bilanciamento delle potenze

formulazione base $\begin{cases} x_n = 1 \\ x_k = 0 \quad \forall k = 1, \dots, (n-1) \end{cases}$ facendo così tutto alla forma base quindi dimostro che ho ottenuto la form. generale (o il slack distribuito)

cioè tutti i generatori dei nodi hanno potenza fissa tranne il nodo slack che contribuisce al bilanciamento delle potenze. Comunque ora ho un'incognita in più.

$S_n = 0$ il vettore delle incognite è ~~scribble~~

$$X = [S_1, \dots, S_{n-1}, \Delta P_G, V_1, \dots, V_{npq}]^T$$

$$f = [f_{p1}, \dots, f_{p(n-1)}, f_{pn}, f_{q1}, \dots, f_{qnpq}]^T$$

n
 npq

ordine sistema? $n + npq = npv + 2npq + 1$

$$f_{pk} = V_k \sum_{i=1}^n V_i \left[G_{ki} \cos(\delta_k - \delta_i) + B_{ki} \sin(\delta_k - \delta_i) \right] + \underbrace{\left[P_{Gk0} + d_k \Delta P_G - P_{Lk} \right]}_{P_k = P_{Gk} - P_{Lk}} \quad \checkmark$$

$P_{Gk0} + d_k \Delta P_G$

funzione di bilanciamento f_{pk} in funzione di variabile di bilanciamento.

23/04/2013

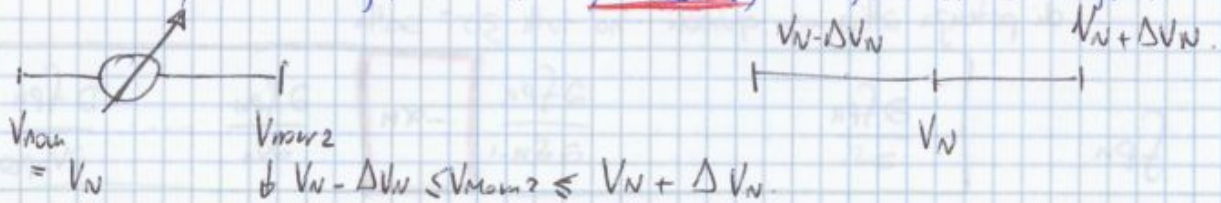
lezione 15

Trasformazioni di Regolazione

Come nel trasformatore che ha il compito di cambiare le tensioni, esso si può impiegare per regolazione e sono i trafi a rapporto variabile sotto carico, che trovano impiego in MT.

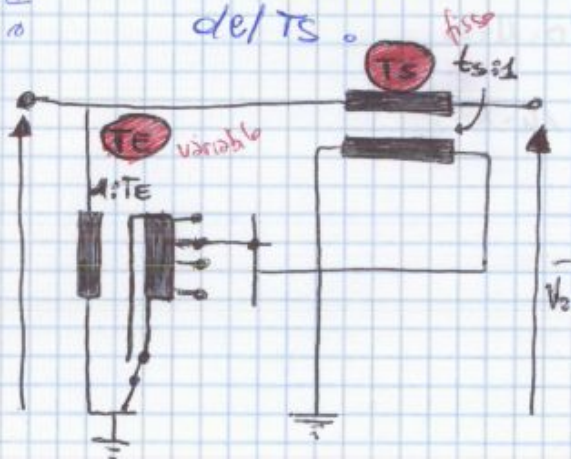
I trafi tipici collegano due parti del circuito alla stessa V_{nom} ;

Considerando $V_{nom} = \text{cost}$ e V_{norm} sarà regolabile in un intervallo di ampiezza ΔV_N centrato in V_N . La regolazione avviene mediante il dimensionamento / inserimento di spire, ed è una regolazione discreta (tipicamente un numero dispari sulla destra). Esistono due tipi, il primo riferito al modulo, il secondo riferito



allo sfasamento. Il I° tipo, TRASFORMATORI per Regolazione di tensione (e trascorsi di Q), è realizzato tramite uno schema di principio riferito ad una fase, che consiste in due trafi, il primo di Excitazione con T_e variabile, e il secondo di SERIE. il commutatore serve per l'inversione del segno di tensione e il II° del TE alimenta il I° del TS.

due trafi di eccitazione e serie
 $\bar{V}_1 =$ tensione stellata a primario del TE

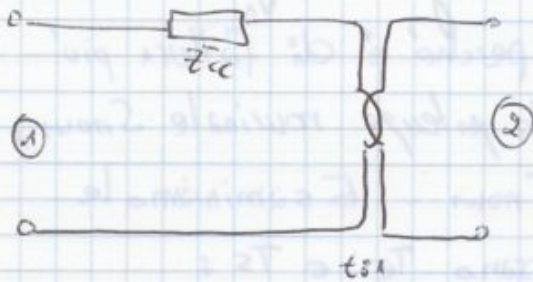


La tensione al II° del TE dipende dal TE, e trascurando tutti i fenomeni reali, si ha che

$$\bar{V}_2' = T_e \bar{V}_1, \text{ con } T_e \text{ variabile}$$

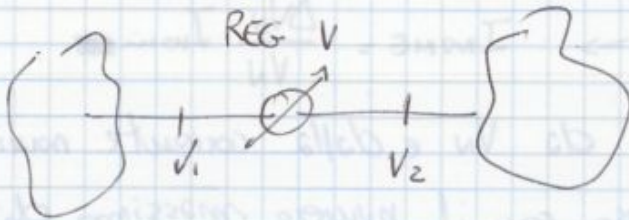
con valori discreti e cambiante segno con l'ausilio del commutatore, \bar{V}_1 sarà la Tensione d'alimentazione

Vediamo il circuito equivalente e l'insieme dei due trafi si può rappresentare con un normale circuito equivalente, con rapporto di trasformazione $k = \frac{1}{1 + \alpha \tau S}$. Come



detto, si può usare come regolazione di transito di potenza reattiva; se fra le due parti di rete esistono due o più collegamenti

come in una rete di distribuzione, con il trafe di regolazione si può regolare il transito di Q con la proprietà



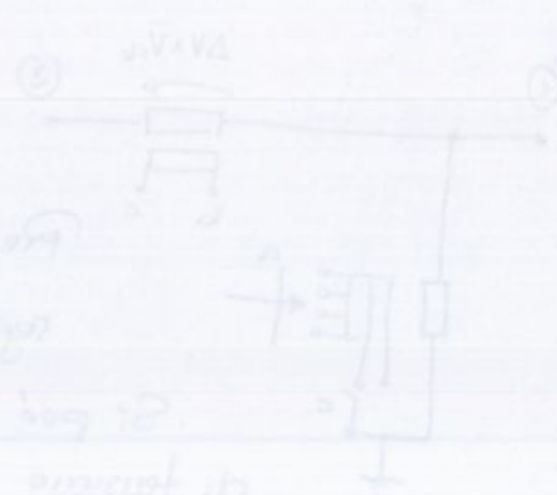
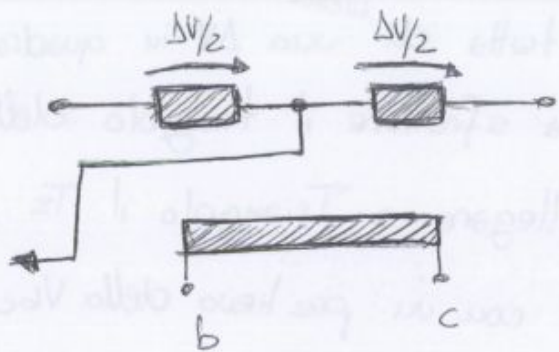
di disaccoppiamento.

Si usano poco, perché anche i trafe normali adempiono a questo compito.



NB: Q nascono se ho variazioni di tensione; mentre P nascono per variazioni di fase

Quello più usato è il II° tipo, il regolatore di potenza attiva o di sfasamento: hanno ovviamente il compito di regolare i transiti di potenza attiva. Era una soluzione tipicamente nordamericana, a causa della passata verticalizzazione della generazione e distribuzione elettrica, ma con la liberalizzazione della rete è meccanico regolare con precisione il transito di P . Partendo dal caso precedente del regolatore di Q , mentre si voleva un ΔV , ora si vuole un $\Delta \phi$ tra V_1 e V_2 (Phase shifting transformer PST) cioè voglio realizzare una differenza di fase tra le due tensioni

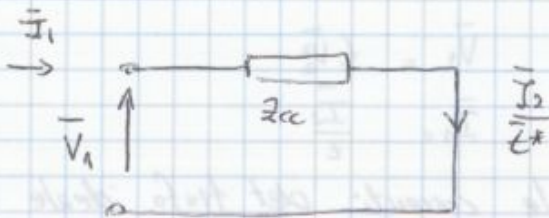


(a) 2002-10-02

$$\begin{bmatrix} \bar{I}_1 \\ -\bar{I}_2 \end{bmatrix} = \begin{bmatrix} \bar{Y}_{11} & \bar{Y}_{12} \\ \bar{Y}_{21} & \bar{Y}_{22} \end{bmatrix} \begin{bmatrix} \bar{V}_1 \\ \bar{V}_2 \end{bmatrix}$$

- in condizione di NON reciprocità
ho $\bar{Y}_{21} \neq \bar{Y}_{12}$
- considero $-\bar{I}_2$ perché è uscente.

→ Caso di corto circuito: $\bar{V}_2 = 0$ (a secondario)

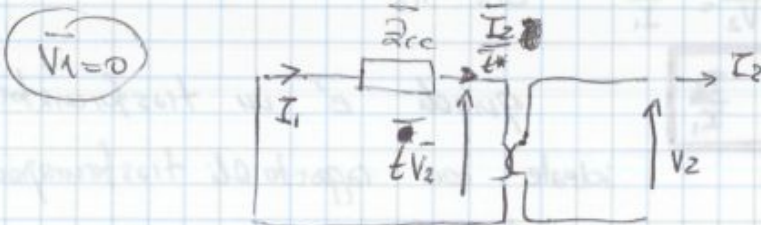


$$\begin{cases} \bar{I}_1 = \bar{Y}_{11} \bar{V}_1 \\ -\bar{I}_2 = \bar{Y}_{21} \bar{V}_1 \end{cases}$$

$$\bar{I}_1 = \frac{\bar{V}_1}{\bar{Z}_{cc}} \rightarrow \boxed{\bar{Y}_{11} = \frac{1}{\bar{Z}_{cc}}}$$

$$\bar{I}_2 = \bar{t}^* \bar{I}_1 = \frac{\bar{t}^*}{\bar{Z}_{cc}} \bar{V}_1 \rightarrow \boxed{\bar{Y}_{21} = -\frac{\bar{t}^*}{\bar{Z}_{cc}}}$$

Per determinare \bar{Y}_{21} e \bar{Y}_{22} corto circuito il primario invece:



$$\begin{cases} \bar{I}_1 = \bar{Y}_{12} \bar{V}_2 \\ -\bar{I}_2 = \bar{Y}_{22} \bar{V}_2 \end{cases}$$

$$\bar{t} \bar{V}_2 = -\bar{Z}_{cc} \bar{I}_1 \text{ per cui } \rightarrow \boxed{\bar{Y}_{12} = -\frac{\bar{t}}{\bar{Z}_{cc}}}$$

come si può notare $\bar{Y}_{12} \neq \bar{Y}_{21}$, ma non uguali se e solo se $\bar{t} = \bar{t}^*$ cioè la fase $\alpha = 0$

e se che $\bar{I}_2 = \bar{t}^* \bar{I}_1 = -\frac{\bar{t} \bar{t}^*}{\bar{Z}_{cc}} \bar{V}_2 = -\bar{Y}_{22} \bar{V}_2$ quindi:

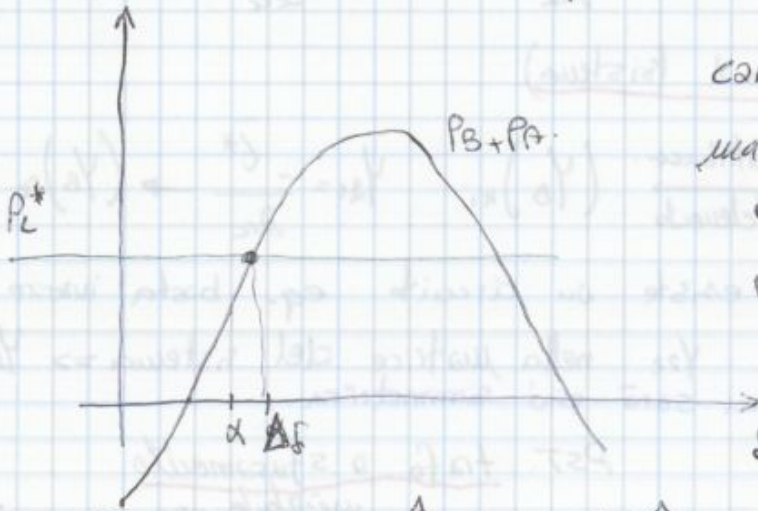
$$\boxed{\bar{Y}_{22} = \frac{\bar{t} \bar{t}^*}{\bar{Z}_{cc}}}$$

$$\bar{t} \cdot \bar{t}^* = t^2$$

$$\begin{aligned} \bar{A} &= A e^{j\theta} \\ \bar{A} \cdot \bar{A}^* &= A e^{j\theta} \cdot A e^{-j\theta} = A^2 e^{j(\theta-\theta)} = A^2 \end{aligned}$$

Variando α traslo la caratteristica di potenza trasmessa dalle linee.

$P_{Load} = P_A + P_B$ per $\alpha > 0$ ho: P che parte da un valore negativo.



cambia l'ampiezza (dipende da α)
 ma qualitativamente se vario α la caratteristica si sposta verso destra, qualitativamente la caratteristica subisce una traslazione

$\delta_1 - \delta_2$ $\sin(\delta\delta)$ $\sin(\delta\delta - \alpha)$

fissato P_L cui corrisponde $(\delta\delta)$ $\alpha \uparrow \Rightarrow \delta\delta \uparrow \Rightarrow P_B \uparrow \Rightarrow P_A \downarrow$

perché P_A diminuisce? perché $P_B + P_A =$ deve dare P_L^* fissa

$$I = \frac{\sqrt{P^2 + Q^2}}{V}$$

il termine più importante è che determina la I ~~...~~. Q è piccola. V di solito è fisso.

tra i 3 termini P, Q e V il più importante è P

\Rightarrow Regolare $P \Rightarrow$ regolare la I cioè sfruttare bene la rete

Modello approssimato:

DCLF ricordiamo l'analogia.

AC	PAC	SAC	XAC
DC	I _{dc}	V _{dc}	R _{dc}

Introduciamo lo sfasamento α nel caso DC con gen. di fem:

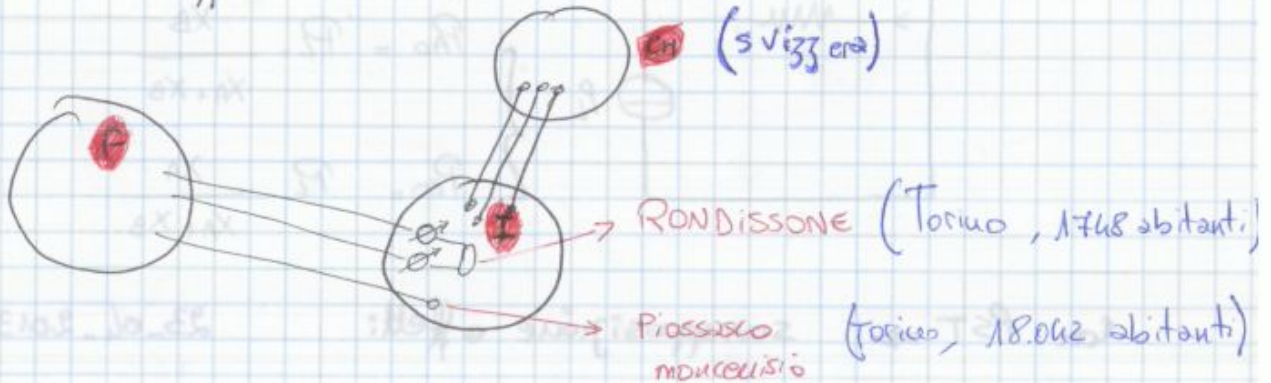
$\alpha \Rightarrow V_{dc}$ (f.e.m)

$$P_A = P_A' + P_A'' = \frac{X_B P_L - \alpha}{X_A + X_T + X_B}$$

$$P_B = \frac{(X_A + X_T) P_L + \alpha}{X_A + X_T + X_B}$$

sovrappongo gli effetti
 ⚠ Se α cresce e'
 evidente che $P_A \downarrow$
 $P_B \uparrow$

La rete francese e' collegata alla rete italiana da tre linee a 380 KV, tutte con PST. L'utilità di questi PST e' modificare la ripartizione di transiti di potenza fra le linee con Francia e Svizzera. In precedenza le linee con la Svizzera erano piu cariche.



utilità PST: modifica la ripartizione di transito di potenza attiva tra linee F e linee CH.

Differenza tra trafo e trafo di regolazione:

- In prima battuta la Q transitante non dipende dal t
-

Quello che e' importante veramente e' il modulo tensione, frequenza e simm. delle tensioni nel caso (3F).

Violazione significativa $\Rightarrow |S - S_{nom}|$ "significativa"

4) Black out

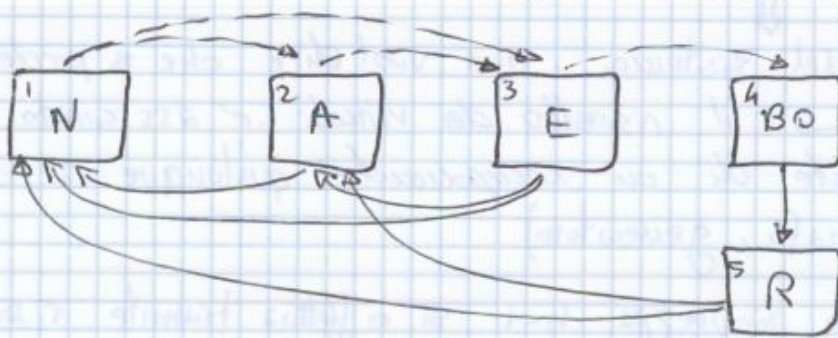
sistema "spento" \rightarrow assenza di $V \Rightarrow$
 \Rightarrow generatori separati dalla rete.

5) Ripristino (Riacensione)

► Transizione tra gli stati :

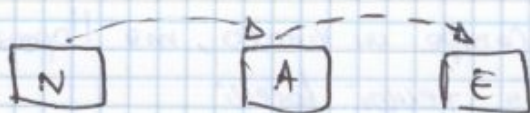
\rightarrow transizioni dovute all'operatore.

\dashrightarrow " " ad eventi accidentali (guasti) \rightarrow perdite di componenti del sistema elettrico.



Analizziamo i legami tra essi e come avvengono i transiti tra uno stato e l'altro.

► Usata dello stato N.



transizione $N \rightarrow E$ direttamente

- 1) Interpretazione "soft" della sicurezza n-1
- 2) perdita di più di un componente

Probabilità di avere contemporaneamente 2 guasti separati e' molto bassa ma e'

(vechi forti temporali, alluvioni, nevicate, etc...)

Black out del 2003, al nord italia la rete e' stata ripristinata rapidamente (notte del week-end, nessuno si e' accorto)

La riaccensione della rete e' difficile perché i generatori non sono autonomi (servizi aux. richiedono una potenza non trascurabile \rightarrow una frizione della potenza della rete complessiva)

Sequenza \Rightarrow

1) avvio impianti idroelettrici che richiedono servizi aux di potenza modesta.

2) slimento così tutti i servizi aux di tutti i generatori

\Rightarrow Problema: in riaccendo la rete a vuoto \rightarrow effetto capacitivo \rightarrow i generatori assorbono potenza. Q.

ANALISI GUASTI

30-04-2013 (2)

Considerazioni generali

I correnti che percorrono i conduttori

V sono sostenute dagli isolanti

una condizione di guasto coinvolge

- i conduttori \Rightarrow si parla di circuito aperto \Rightarrow interruzione del conduttore. \Rightarrow $I=0$ cond. diviene isolante

- isolanti \Rightarrow corto circuito \Rightarrow perdita di isolamento.



\Rightarrow $V=0$ (caso peggiore ha $V=0$)
isolante \rightarrow diviene conduttore.

Nel caso di cto. cto. circolano correnti \Rightarrow I funzionalmente e le tensioni si abbassano.

A I elevate provocano:

1) Crescita di temperatura (non e' immediata, ma impiega tempo) può portare al danneggiamento degli isolanti e del materiale conduttore, rischio d'incendio.

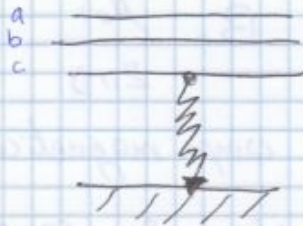
In 3Fase classifichiamo i guasti in base al no fasi coinvolte:

MONOFASE : se coinvolto l'isolamento di una singola fase

chiamato anche - guasto a terra

- guasto monof. a terra.

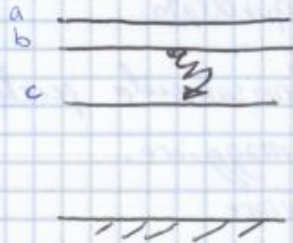
no alterazione della simmetria delle tre fasi



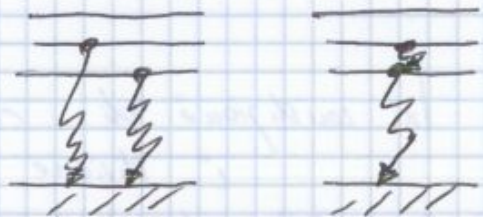
dove terra c'è intesa in senso lato (carcasa, terra, ...) tutto (non in senso fisico)

BIFASE :

- BIFASE con terra.



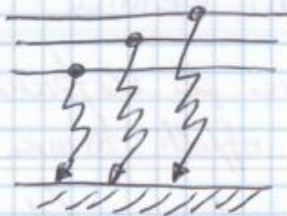
perdita di isolamento tra di due fasi senza coinvolgere la terra.



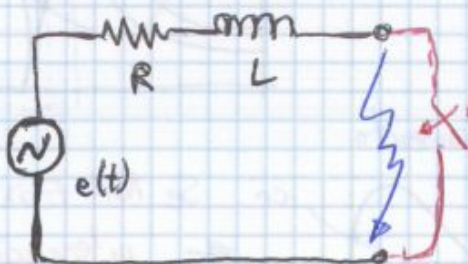
condimenti diversi

TRIFASE

l'unico guasto che mantiene la simmetria delle fasi, quindi e' equivalente ad un guasto senza terra.



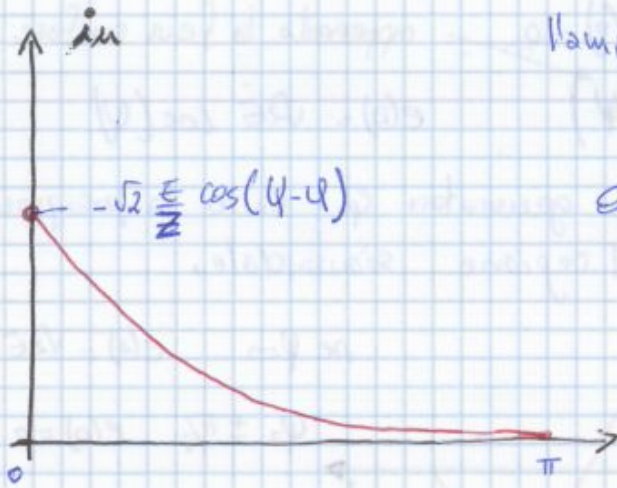
COMPONENTI DELLA CORRENTI DI CTO, CTO



all'istante $t=0$ inizia il guasto.

$V=0$ per $t > 0$

Circuito eq di Thevenin valido a regime e durante il transitorio (dinamica)



L'ampiezza di $i_u(t)$ dipende da ψ , ~~però in un~~ quindi da l'ampiezza di $e(t)$ in cui inizia il guasto.

- se $\psi - \varphi = \pm \pi/2 \rightarrow i_u(0) = 0$ non c'è componente unidirezionale. In questa condizione siamo direttamente nella condizione di regime con la sola $i_s(t)$ sinusoidale.

- se $\psi = \varphi$ o $\psi = \varphi \pm \pi$.

$i_u(0) = \sqrt{2} \frac{E}{Z}$ massima ampiezza della componente unidirezionale (picco componente simmetrica).

Quando si parla di I_{cc} si intende il valore efficace della componente simmetrica $I_{cc} = \frac{E}{Z}$

Analisi dei guasti simmetrici (trifase) 30-04-2013 (3)
 modello monofase \equiv (per semplicità studio una singola fase)
 campo simmetrico (sinusoidale)

modello rete:

la rete è costituita da linee e trafo che hanno gli stessi modelli nelle condizioni ordinarie. (prima e dopo il guasto)

• linee e trafo hanno stesso modello nelle due situazioni

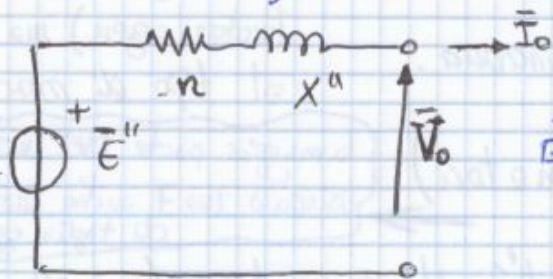
$$X'' < X' \ll X$$

un circuito eq. di thevenin non riesce a riprodurre questo. fe cich

⇒ N.B. il ciclo centrale e' lungo.

In generale gli interruttori intervengono subito e rimangono nella zona subtransitoria (int. in BT non ancora +) veloci

quindi una macchina sincrona e

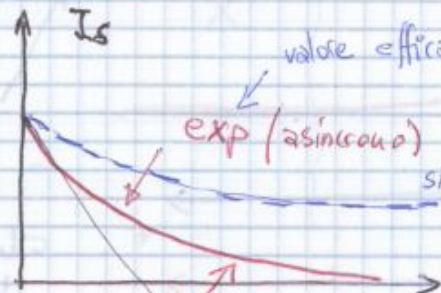
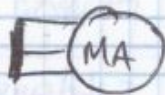


$r \ll X''$
 $E'' =$ fem. subtransitoria che dipende dalle condizioni di funzionamento pre-guasto.
 V_0, I_0

$$E'' = V_0 + (r + jX'') I_0$$

e nei primi istanti successivi al costo circuito

Macchina asincrona (motore)



valore efficace comp. ~~esp~~ asimmetrica che ha decadimento esponenziale durante il transitorio totale.
 si stabilizza per l'asincrono.

per l'asincrono ho decadimento veloce e fine opera

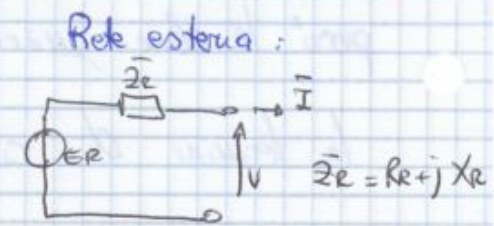
con generatori sincroni e asincroni della stessa taglia non noto grandi differenze nel picco $I_s(t)$

l'unica differenza e che la sincrona eroga una corrente costante (perché ho suddegimimento di eccitazione esterno), ho anche un periodo transitorio lungo.



3/05/2013. sorgente di cto. cto. lezione 17

- o sincrona gen (mot) →
- o asincrona mot (gen) →
- o rete esterna →



definizione di \bar{Z}_e



$$\bar{I}_e = \frac{E_e}{\bar{Z}_e}$$

$$E_e = c \frac{V_N}{\sqrt{3}}$$

c valore relativo in pu di E_e ($V_B = V_N$)

per cui

$$\bar{Z}_e = c \frac{V_N}{\sqrt{3} \bar{I}_e}$$

$$\cos \phi_R = \frac{R_e}{Z_e} \quad \phi_c = \angle \bar{Z}_e$$

definisco l'impedenza \bar{Z}_e (di corto?) tramite \bar{I}_e e V_N (nominale) con c. (coefficiente).

in alternativa:

$$\tan \phi_R = \frac{X_R}{R_R}; \quad \frac{1}{\tan \phi_R} = \frac{R_R}{X_R}$$

Quindi noti V_N, \bar{I}_{ec}, c e una grandezza tra $\left\{ \cos \phi_R, \frac{X_R}{R_R}, \frac{R_R}{X_R} \right\}$ ottengo $\phi_R > 0$, quindi ricavò $\bar{Z}_e = R_e + jX_e$.

$$R_e = \bar{Z}_e \cos \phi_R \quad e \quad X_e = \bar{Z}_e \sin \phi_R$$

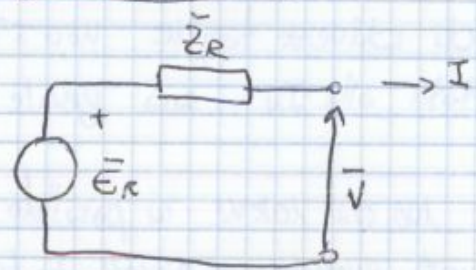
è molto diffuso l'utilizzo della grandezza S_{cc} potenza di cto. cto. definita come

Potenza nominale associata alla V_N e alla relativa \bar{I}_{ec} .

$$\bar{I}_{ec} = \frac{S_{cc}}{\sqrt{3} V_N} \rightarrow \bar{Z}_e = \frac{c V_N}{\sqrt{3} \frac{S_{cc}}{\sqrt{3} V_N}} = c \frac{V_N^2}{S_{cc}}$$

abbia visto reti con elevata $S_{cc} \Rightarrow$ cioè rete rappresentata dal circuito di Thevenin con bassa impedenza di corto

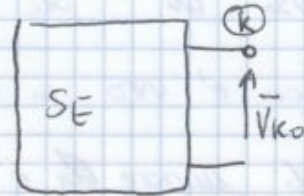
circuito $\bar{Z}_R \propto \frac{1}{S_{cc}}$



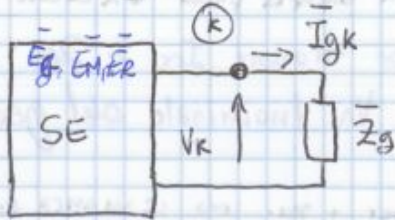
In condizioni ordinarie (No guasti) più bassa la \bar{Z}_R (tanto $> S_{cc}$) tanto \bar{V} erogata non è dipendente da I erogata.



Corto. cto nel nodo k.

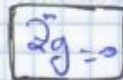


situazione pre-guasto nel nodo k



rappresento il guasto con l'impedenza \bar{Z}_g di guasto, re

dopo il guasto.



\Rightarrow GUASTO FRANCO.

\bar{Z}_g può rappresentare gli archi elettrici dovuti all' distruzione del materiale che sosteneva \bar{V}_{k0} prima delo guasto.

$$\bar{Z}_g = R_g$$

SE = sistema elettrico (linee, trafi, gen...)

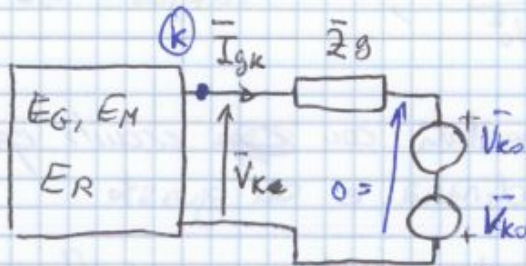
SE genera fem. \Rightarrow

- $E_G = \text{gen.}$
- $E_M = \text{mot.}$
- $E_R = \text{rete esterne (eventualmente).}$

so le cause di gen. delle correnti di corto circuito

prima di applicare la sovrapp. degli effetti: aggiungo

due fem opposte (non modifica il circuito).

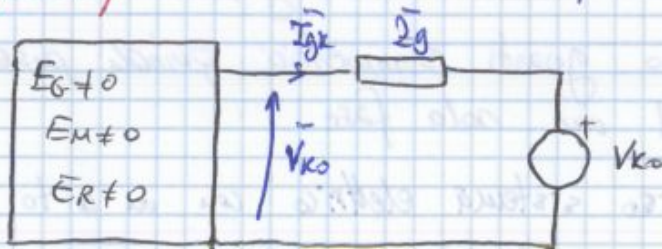


il valore scelto è \bar{V}_{k0}

Consideriamo 2 configurazioni

1^a con fig. (pre-guasto)

tutti i gen. di fem sono attivi e \bar{V}_{k0} con il più verso l'alto $\neq 0$.



quanto vale \bar{I}_{gk} ?

$$\bar{I}_{gk} = 0$$

Costruisco la matrice:

$\bar{Y}_B \rightarrow$ include sorgenti di cto. cto e carichi statici perché non lineari

a cosa serve \bar{Y}_B ?

prima di tutto analiamo a vedere come è fatto il vettore delle correnti nodali

$$\bar{i} = \begin{bmatrix} 0 \\ 0 \\ -I_{gk} \\ 0 \\ 0 \end{bmatrix}$$

non sono interessati dal guasto posizione k.

Come estraggo dal nodo k la corrente I_{gk} (e' negativa) \rightarrow tutte le correnti I_{gi} con $i \neq k$ sono nulle.

$$\bar{i} = \bar{Y}_B \bar{v}$$

$$\bar{z}_B = \bar{Y}_B^{-1}$$

Matrice Impedenze nodali

$$\bar{v} = \begin{bmatrix} \Delta v_1 \\ \vdots \\ \Delta v_k \\ \vdots \\ \Delta v_n \end{bmatrix}$$

variazioni di tensioni prodotte dal guasto.

$$\bar{z}_B \bar{i} = \bar{v}$$

da $\bar{z}_B \bar{i} = \bar{v}$ con \bar{i} che ha una sola componente $\neq 0 \rightarrow -I_{gk}$ scrivo

$$-\bar{z}_{ik} I_{gk} = \Delta \bar{v}_i$$

$$i = 1, \dots, n.$$

espando una riga intera.

Vale per ogni nodo

Per il nodo k ho

$$-\bar{z}_{kk} \cdot I_{gk} = \Delta \bar{v}_k$$

Interpretazione con Thevenin?



$$-\bar{z}_{kk} I_{gk} = \Delta \bar{v}_k = \bar{z}_g I_{gk} - \bar{V}_{ko} \Leftrightarrow$$

$$\Rightarrow I_{gk} = \frac{\bar{V}_{ko}}{\bar{z}_{kk} + \bar{z}_{gk}}$$

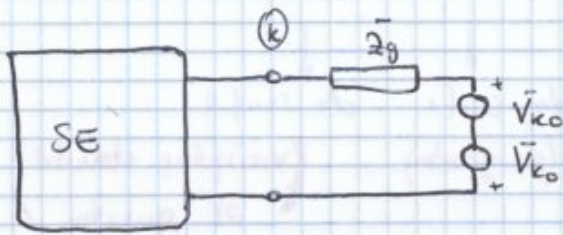
Corrente di guasto nel nodo k.

Interpretazione? con circuito eq. Thevenin:

visto che ho parametri lineari una rappresentazione con Thevenin e' possibile.

07/05/2013. lezione 18

Guasto trifase con \bar{z}_g



conf. 1) $\bar{E}_M, \bar{E}_G, \bar{E}_R + V_{ko}(\phi^+)$

\equiv pre-guasto.

conf. 2) $\bar{E}_M = \bar{E}_G = \bar{E}_R = 0$
 $V_{ko}(\phi^+)$

$\equiv \Delta$ dovuto al guasto.

In termini di impedenze nodali:

Le impedenze nodali $\left\{ \begin{array}{l} \text{linee - trafi} \\ \bar{z}_M, \bar{z}_G, \bar{z}_R, \bar{y}_L \end{array} \right.$

si trova

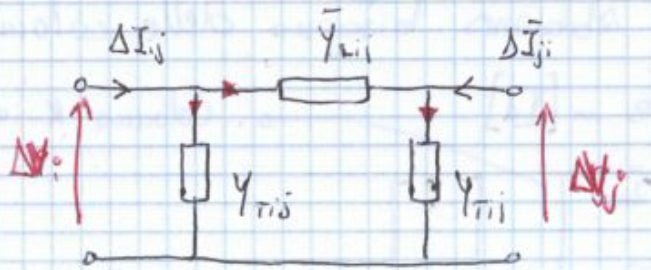
$$\bar{I}_{gk} = \frac{\bar{V}_{ko}}{\bar{z}_{kk} + \bar{z}_{gk}}$$

↳ elemento di $[z_0]$

$$\Delta \bar{V}_k = -\bar{z}_{kk} \cdot \bar{I}_{gk}$$

$$= -\frac{\bar{z}_{kk}}{\bar{z}_{kk} + \bar{z}_{gk}} \bar{V}_{ko}$$

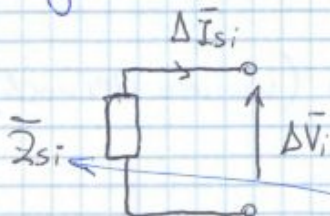
linee/trafi (consideriamo config 2)



$$\Delta \bar{I}_{ij} = \bar{Y}_{Tij} \Delta \bar{V}_i + \bar{Y}_{Lij} (\Delta \bar{V}_i - \Delta \bar{V}_j)$$

$$\Delta \bar{I}_{ji} = \bar{Y}_{Tji} \Delta \bar{V}_j - \bar{Y}_{Lij} (\Delta \bar{V}_i - \Delta \bar{V}_j)$$

Sorgente di corto circuito (gen/mot/reti ext) conf. 2.



impedenza sorgente cto. cto.

$$\Delta \bar{I}_{si} = -\frac{\Delta \bar{V}_i}{\bar{z}_{si}}$$

(I_{si} generata)

↳ variazione di corrente dovuta al guasto



OSS: cambiando il nodo k non cambia la matrice dei coefficienti, che è sempre Y_B

possiamo quindi fattorizzare:

$Y_B = L_B U_B$ se conosciamo tale fattorizzazione è più rapido risolvere il sistema precedente.

NOTA:

trafi per regolazione di fase.
Senza PST → Y_B è simmetrica.

se Y_B è simmetrica, allora $Y_B = L_B L_B^T$

► Effetto delle condizioni pre-guasto.

$$\begin{aligned} \bar{V} &= \boxed{\bar{V}_0} + \Delta \bar{V} \\ \bar{I} &= \boxed{\bar{I}_0} + \Delta \bar{I} \end{aligned}$$

∀ \bar{V} ed \bar{I} del sistema elettrico.

1° conf. 2° conf.

Si nota che, conf. 2 con $\bar{V}_{ko} =$ tensione pre-guasto

ho:

$$\begin{cases} \Delta \bar{V} \propto \bar{V}_{ko} \\ \Delta \bar{I} \propto \bar{V}_{ko} \end{cases}$$



le condizioni pre-guasto determinano le variazioni dovute al guasto!

Concentriamoci su $\bar{I} = \bar{I}_0 + \Delta \bar{I}$ "vicina" al punto di guasto.

NOTA BENE 3 "vicina" è una distanza "elettrica", ossia intesa come impedenza.

linea → distanza geometrica = distanza elettrica.

trafo → distanza geometrica ridotta (tra prim. e second.)

distanza elettrica (grande impedenza)

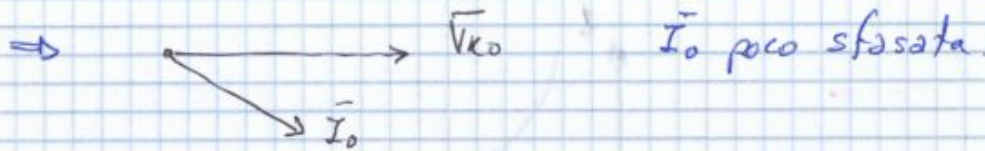
qualche metro << centinaia di chilometri



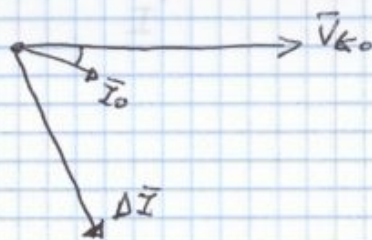
obbiamo preoccuparci delle fasi

49:00

$\Delta \bar{I} \propto \bar{V}_{ko}$ - pre-guasto tensioni poco sfasate e con modulo molto simile.



- sistema AT ($R \ll X$) ⇒ $\Delta \bar{I}$ tende a sfasare di $\pi/2$ rispetto a \bar{V}_{ko}



\bar{I}_0 : fase governata dalla impedenza del carico ($R_{carico} \gg X_{carico}$)

$\Delta \bar{I}$: fase governata dal guasto.

Conclusione: $\bar{I} = \bar{I}_0 + \Delta \bar{I} \propto \Delta \bar{I} \propto \bar{V}_{ko}$

dove: $V_{ko} = c \frac{V_N}{\sqrt{3}}$ c : fattore di tensione

NORME e definiscono i fattori c da impegnare per il calcolo di V_{ko} .

due famiglie di c :

- I_{cc-max} $c: 1.05 / 1.1$ prima del guasto
piccola sovratensione
- I_{cc-min} $c: 0.9 / 0.95 / 1$

Così si ha una procedura indipendente dalle cond. di funzionamento del sistema, ossia si esprime la corrente di corto-circuito solo in funzione di V_{ko} .

Negli studi dei guasti le correnti di c.c. diventano una caratteristica intrinseca del sistema (dipende solo da V_N).

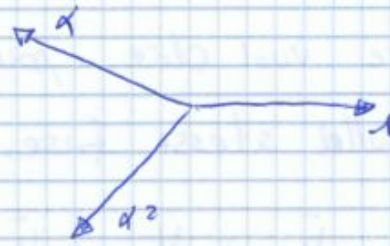
$$1 + \alpha + \alpha^2 = 0$$

$$\alpha^3 = e^{j2\pi} = 1$$

$$\alpha^4 = \alpha^3 \alpha = \alpha \quad \text{e così via...}$$

$$\alpha^* = e^{-j\frac{2\pi}{3}} = \alpha^2$$

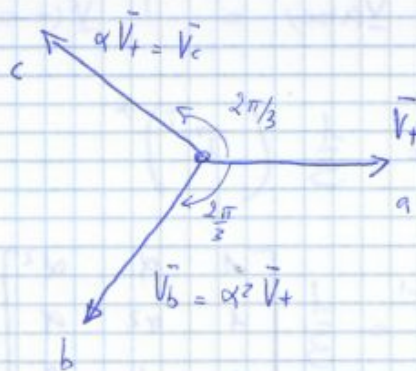
$$(\alpha^2)^* = \alpha$$



Teoria a sequenza diretta (+)

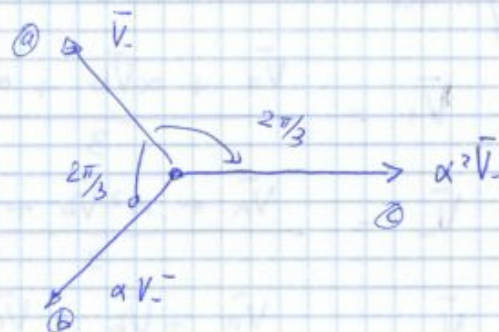
a, b, c fasi

$$\begin{cases} \bar{V}_a = \bar{V}_+ \\ \bar{V}_b = \alpha^2 \bar{V}_+ \\ \bar{V}_c = \alpha \bar{V}_+ \end{cases}$$



teoria a sequenza inversa (-)

$$\begin{cases} \bar{V}_a = \bar{V}_- \\ \bar{V}_b = \alpha \bar{V}_- \\ \bar{V}_c = \alpha^2 \bar{V}_- \end{cases}$$



teoria a sequenza omopolare (0)

$$\bar{V}_a = \bar{V}_b = \bar{V}_c = \bar{V}_0$$



teorema di Fortescue :

La teoria di tensioni \bar{V}_a, \bar{V}_b e \bar{V}_c

può essere rappresentata in modo unico combinando

(63)

(61)

poiché: $T^{-1} = \frac{1}{3} (T^T)^* \Rightarrow T^T = (3T^{-1})^*$

$\Rightarrow T^T T^{-1} = \mathbb{I}$ ← matrice identità

per cui

$\bar{S} = \bar{V}_a \bar{I}_a^* + \bar{V}_b \bar{I}_b^* + \bar{V}_c \bar{I}_c^* = 3 (\bar{V}_+ \bar{I}_+^* + \bar{V}_- \bar{I}_-^* + \bar{V}_0 \bar{I}_0^*)$

I vantaggi dell'usare le componenti simmetriche sono molti (analoga mente con i modelli delle macchine elettriche)

- Matrici delle impedenze / ammettenze → singoli componenti utilizzando a, b, c

$$\begin{bmatrix} \bar{V}_a \\ \bar{V}_b \\ \bar{V}_c \end{bmatrix} = \begin{bmatrix} \bar{Z}_f & \bar{Z}_m & \bar{Z}_m \\ \bar{Z}_m & \bar{Z}_f & \bar{Z}_m \\ \bar{Z}_m & \bar{Z}_m & \bar{Z}_f \end{bmatrix} \begin{bmatrix} \bar{I}_a \\ \bar{I}_b \\ \bar{I}_c \end{bmatrix} \Rightarrow$$

Hp. componenti simmetriche (scambio delle fasi) tra loro

$\underline{V}_{abc} = \underline{Z}_{abc} \cdot \underline{i}_{abc}$

In componenti simmetriche ho invece:

$\underline{V}_{+0} = \underline{Z}_{+0} \underline{i}_{+0}$

$\underline{V}_{+0} = T^{-1} \underline{V}_{abc} = \underline{Z}_{+0} T \underline{i}_{abc}$

$\Rightarrow \underline{V}_{abc} = (T \underline{Z}_{+0} T^{-1}) \underline{i}_{abc}$

$\underline{Z}_{abc} = T \underline{Z}_{+0} T^{-1}$ con \underline{Z}_{abc} assegnata

per cui $\underline{Z}_{+0} = T^{-1} \underline{Z}_{abc} T$

$$\underline{Z}_{+0} = \begin{bmatrix} \underline{Z}_+ & 0 & 0 \\ 0 & \underline{Z}_- & 0 \\ 0 & 0 & \underline{Z}_0 \end{bmatrix}$$

e' una matrice diagonale
di sacco ppriamente delle
fasi tra di loro

$$\left\{ \begin{array}{l} \bar{V}_+ = \bar{Z}_+ \bar{I}_+ \\ \bar{V}_- = \bar{Z}_- \bar{I}_- \\ \bar{V}_0 = \bar{Z}_0 \bar{I}_0 \end{array} \right.$$

dove:

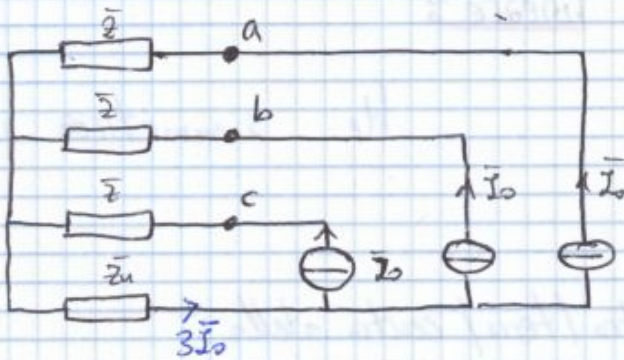
$\underline{Z}_+ = \underline{Z}_f - \underline{Z}_m$ impedenza alla req. diretta

Sia $\begin{cases} V_+ = Z \bar{I}_+ \\ V_- = 0 \\ V_0 = 0 \end{cases}$ la terza a, b, c e' diretta.

se applichiamo una sequenza inversa ($\bar{I}_a = \bar{I}_-, \bar{I}_b = \alpha \bar{I}_-, \bar{I}_c = \alpha^2 \bar{I}_-$) avremmo che:

quindi: $\begin{cases} \bar{V}_+ = 0 \\ \bar{V}_- = 2\bar{I}_- \\ \bar{V}_0 = 0 \end{cases}$
 } terza diretta $\bar{I} \Rightarrow$ terza diretta \bar{V}
 } terza inversa $\bar{I} \Rightarrow$ " inversa \bar{V}

sequenza omopolare:



$\bar{V}_a = \bar{V}_b = \bar{V}_c =$
 $= (2 + 3Z_n) \bar{I}_0$

ossia:
 $\bar{V}_+ = 0$
 $\bar{V}_- = 0$
 $\bar{V}_0 = (2 + 3Z_n) \bar{I}_0$

il modello

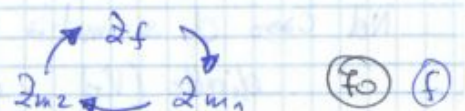
Z_f in diagonale } e' adatto per i componenti
 Z_m fuori diag. } statici (linee/trafi).

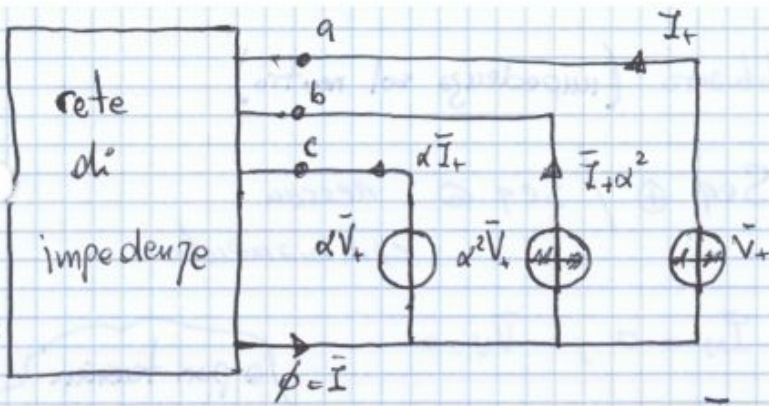
Per i componenti rotanti \Rightarrow il verso di rotazione del rotore indica l'ordine delle fasi \Rightarrow fasi non piu' scambiabili tra di loro.

• Matrice Z_{abc} componenti rotanti

$Z_{abc} = \begin{bmatrix} Z_f & Z_m & Z_m \\ Z_m & Z_f & Z_m \\ Z_m & Z_m & Z_f \end{bmatrix} \Rightarrow$

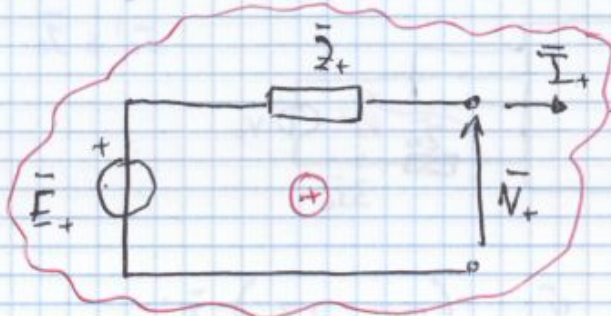
simmetrica
 ciclica.





ϕ^+ → \downarrow cto cto.
 ϕ^- → \dashv cto aperto

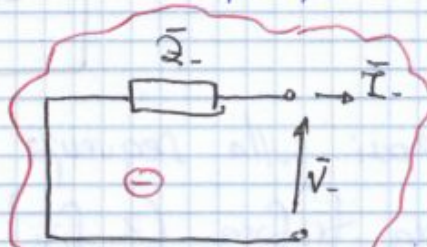
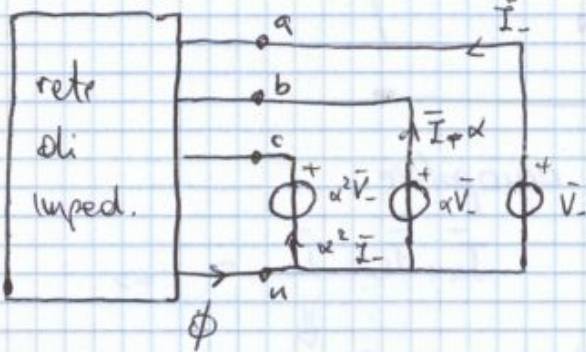
quindi calcoliamo: $\bar{Z}_+ = \frac{\bar{V}_+}{\bar{I}_+}$ impedenza sequenza diretta



circuito equivalente di Thevenin.

sequenza inversa:

1) vuoto $\bar{E}_- \rightarrow 0$ (HP: sistema trifase ideale, ha solo sequenza diretta di v)



Rappresentazione del sistema alla sequenza inversa con Thevenin

$$\bar{Z}_- = \frac{\bar{V}_-}{\bar{I}_-}$$

perché ho terza simmetrica.

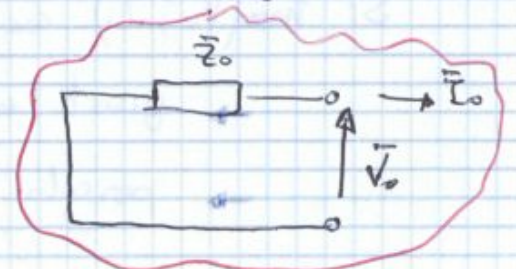
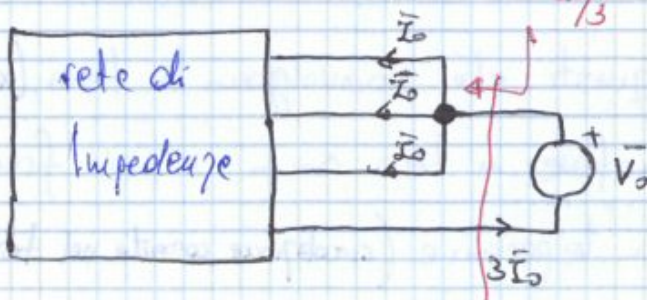
sequenza omopolare:

1) $\bar{E}_0 = 0$ (x ipotesi)

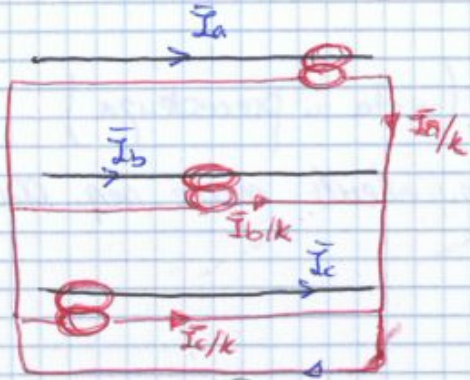
2)

non è l'impedenza che vediamo ai morsetti del generatore → vale $\frac{Z_0}{3}$

$$\bar{Z}_0 = \frac{\bar{V}_0}{3\bar{I}_0}$$



Misura della componente omopolare (due modi diversi)



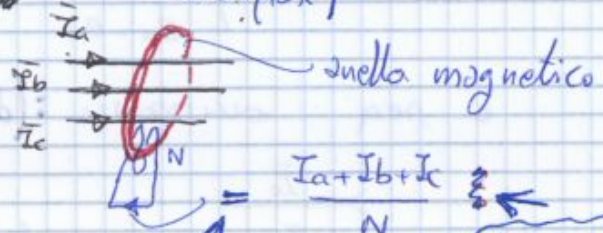
1) 3 TA con secondari in parallelo tra di loro (installato su ogni fase)

2) oppure 1 TA toroidale (ok coi cavi manovrati per linee aeree distanziate)

$$\frac{1}{k} (I_a + I_b + I_c) = 3 \frac{I_0}{k}$$

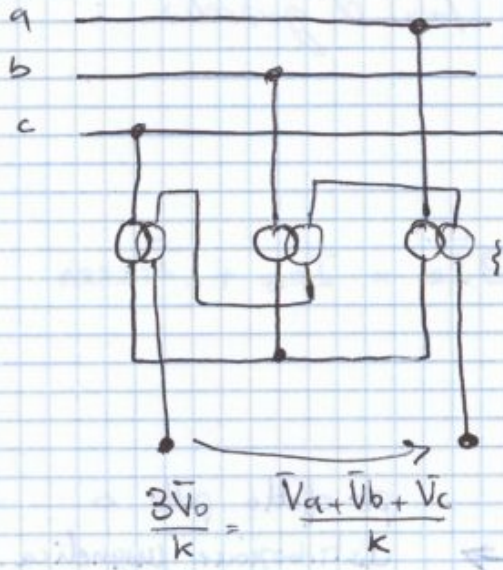
fattore di scala (rapporto di trasformazione)

Per quanto concerne \bar{V}_0



trascurando la I_p del TA.

devo vederla come un TR con primario $N_1 = 1$ e $N_2 = N$.

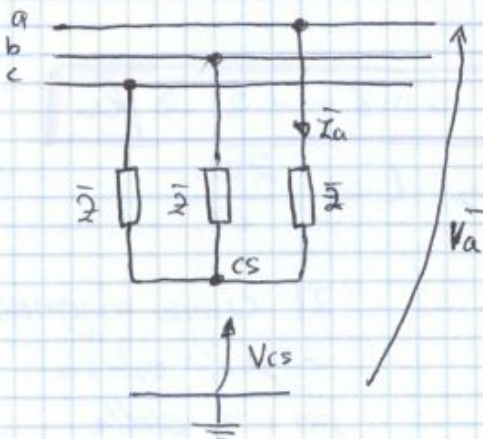


1) 3 TV con secondari collegati a triangolo

aperto (cioè uno dei tre rami e' non connesso)

oppure i tre TR sono in serie tra loro (intesi i secondari dei TR).

2) con $|Z| = \text{elevato}$.



$$\bar{V}_a = 2 \bar{I}_a + \bar{V}_{cs}$$

$$\bar{V}_b = 2 \bar{I}_b + \bar{V}_{cs}$$

$$\bar{V}_c = 2 \bar{I}_c + \bar{V}_{cs}$$

perché ho il centro stella aperto

$$\bar{V}_a + \bar{V}_b + \bar{V}_c = 2 (\bar{I}_a + \bar{I}_b + \bar{I}_c) + 3 \bar{V}_{cs}$$

$$\frac{V_0}{3} = \frac{\bar{V}_a + \bar{V}_b + \bar{V}_c}{3} = \bar{V}_{cs}$$

8-5-2013 (2)



In condizioni ideali V_{cs} e' nullo

(72) (R)

$r_0 > r_f$

linea AT ?

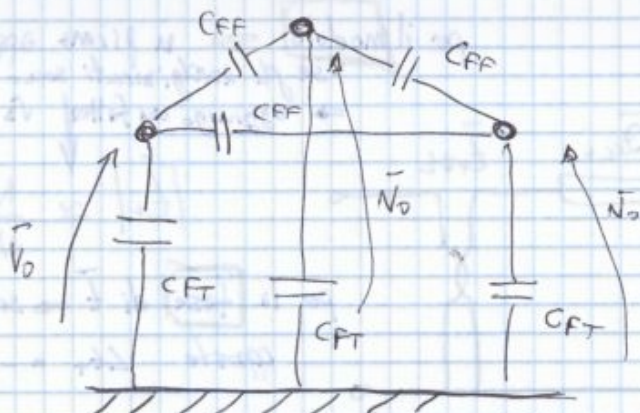
$r_0 = r_f + (0.15 \div 0.2 \text{ } \Omega/\text{km})$

c'è da aggiungere la resistenza del percorso di ritorno (fog. e terra) mentre prima la corrente passava solo nei conduttori di fase.

Continua però ad essere vero che $r_0 \ll r_{\infty}$

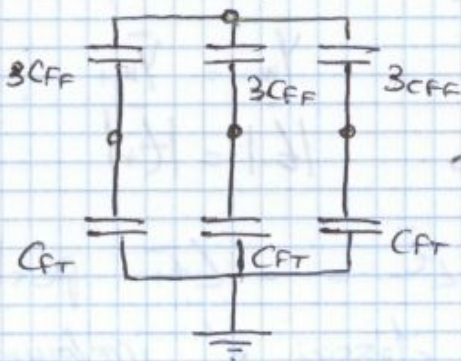
mentre $\frac{X_0}{r_0} < \frac{X_f}{r_f}$ (r_0 non è def. tutto trascurabile) come prima

$C_0 < C_f$



Posso trasformare il triangolo delle CFF in una stella

(trasformo in una stella equivalente)



$C_+ = C_- = C_{FT} + 3C_{FF}$

poiché centro stella è al potenziale del terreno in quel caso.

- omopolare: Tensione nulla ai capi delle CFF

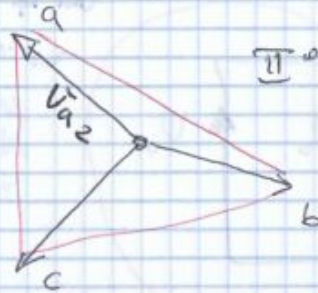
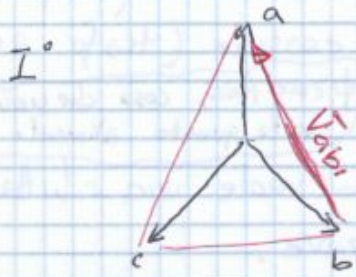
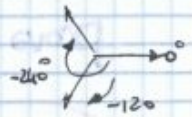
$\Rightarrow C_0 = C_{FT} < C_+$

tipicamente

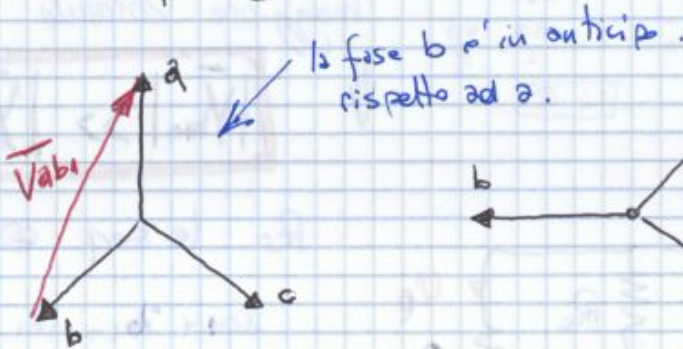
$C_0 \approx 0.6 C_+$

$C_0 = C_{FT}$

Quindi è Seq. (+) (diretta: $1, \alpha, \alpha^2$) $\leftarrow (0^\circ, -120^\circ, -240^\circ)$



Seq. (-)



nei trofei non è importante (con nono impedenza) l'unico caso in cui sono rilevanti è nel caso del PST in cui ho \bar{E} complesso.

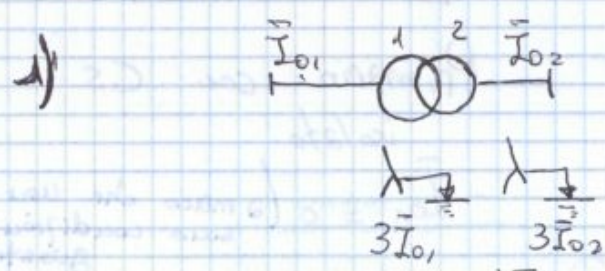
Seq (+) : $\angle \bar{V}_{a2} = \angle \bar{V}_{a1} + \pi/6$

Seq (-) : $\angle \bar{V}_{a2} = \angle \bar{V}_{a1} - \pi/6$

$\uparrow +\pi/6$ in senso antiorario

Sequenza omopolare trasformatori : 8-5-2013 (3)

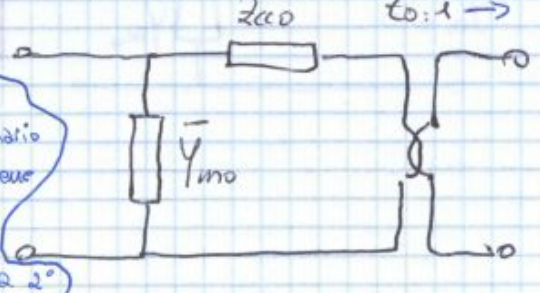
dipende da $\left\{ \begin{array}{l} \Delta Y \text{ (collegamento)} \\ \text{terra (connessione centro stella)} \end{array} \right.$



in entrambi gli avvolgimenti puo circolare corrente omopolare

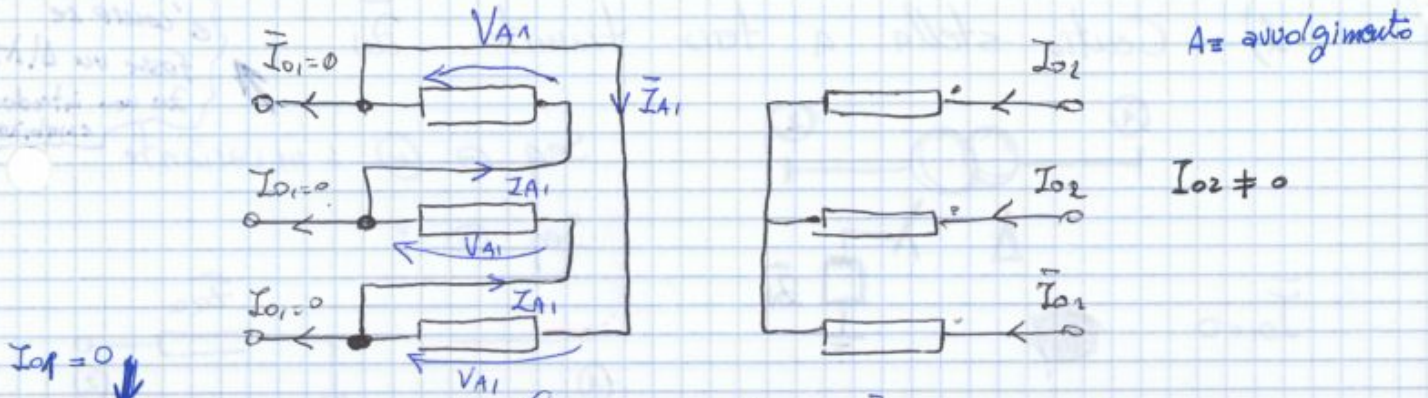
Rappresentazione e (s: comporta come se fosse alimentato da sq. (+) e (-))

Y_{mo} ammu. a vuoto, l'ho disegnata a primario infatti essa avviene con I_{02} nulla non circolano correnti a 2°



$\omega_0 = 1$ \rightarrow ω_0 è reale poiché la connessione è Δ/Δ $\angle \omega_0 = 0$
 $\omega_0 = |\epsilon_+| = |\epsilon_-| \approx \frac{N_1}{N_2}$
 ora focalizziamoci sulle impedenze \Rightarrow

\bar{Y}_{mo} : ammettenza a vuoto ($I_{02} = 0$) \rightarrow (74) (f)

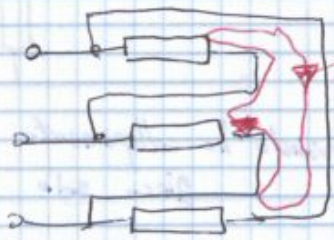


Devo avere per forza che $\bar{V}_{A1} = 0$, e' come se fosse in cto-ccto sul lato primario (visto da 2°)

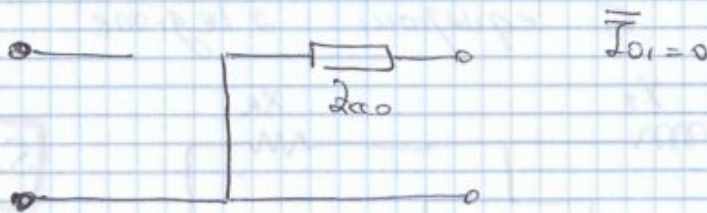
$N_1 \bar{I}_{A1} \approx N_2 \bar{I}_{02}$ equilibrio f.m.m. colonna ($\bar{I}_{A1} \neq 0$)

trasero la corrente magnetizzante.

mentre $\bar{I}_{01} = 0$ poiché ho conv. a triangolo inoltre in ciascun nodo convergono due avvolgimenti con correnti opposte. \bar{I}_{A1} in questa maglia.



In termini circuitali ho: $(\Delta / \lambda \neq)$

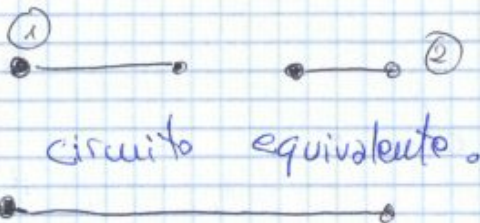


abbiamo fatto quindi:
 λ_1 / λ_2
 Δ / λ_2
 λ / λ_2

4) 5) 6)



Δ / Δ
 λ / Δ
 λ / λ } $\bar{I}_{02} = 0$
 $\bar{I}_{01} = 0$



circuito equivalente.

non ho circolazione di corrente in nessun avvolgimento

$$\bar{E}' = j\omega_0 \frac{M}{L_R} \bar{\Psi}_R \propto j \bar{\Psi}_R$$

rotore bloccato $\rightarrow \omega = 0 \rightarrow s_+ = 1$

impedenza $\rightarrow |R_R + jX_R|_{s=1} \ll X_0$
 rotore a $s_+ = 1 = Z_e \ll R_0$

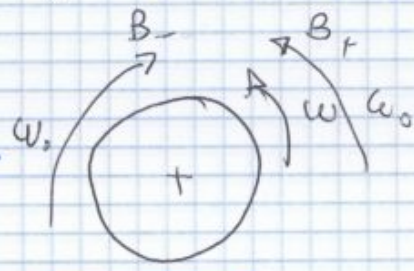
Posso ignorare R_0 e X_0 a rotore bloccato.

ho una semplice somma

$$\bar{Z}_{RB} \approx R_s + \frac{R_R}{s} + j(X_s + X_R) \Rightarrow \left. \begin{array}{l} R_{RB} = R_R + R_s \\ X_{RB} = X_R + X_s \end{array} \right\}$$

Seq. \ominus

In fatti non a caso scelgo la seq. di fasi



$$\bar{Z}_+ \approx \bar{Z}_{RB}$$

quindi

$$s_- = \frac{-\omega_0 - \omega}{-\omega_0} \Rightarrow$$

$$\begin{array}{l} s_+ \rightarrow \omega_0 \\ s_- \rightarrow -\omega_0 \end{array}$$

In condizioni ordinarie, posso sfruttare il circuit eq. conseq (+)

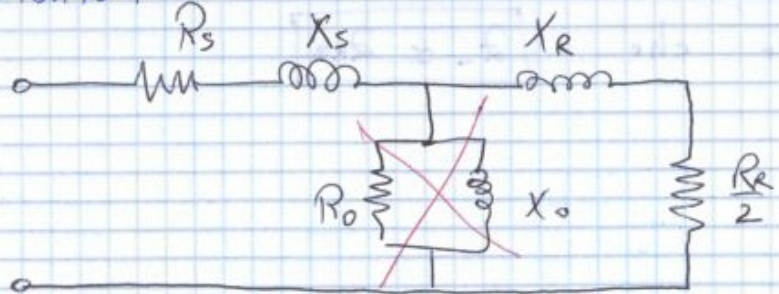
ma se ho $\Rightarrow |s_+| \ll 1$

$$s_+ = \frac{\omega_0 + \omega}{\omega_0} \rightarrow \frac{\omega}{\omega_0} = 1 - s_+$$

$$\Rightarrow s_- = 1 + \frac{\omega}{\omega_0} = 2 - s_+ \approx 2$$

$$s_- = 2 - s_+ \approx 2$$

Per tanto: con l'ipotesi che $|s_+| \ll 1 \Rightarrow s_- \approx 2$



il circuito alla seq \ominus e' molto simile a quella a rotore bloccato cambia solo che ora

abbiamo $\frac{R_R}{2} \left(\frac{R_R}{s_-} \right)$ invece di $\frac{R_R}{1}$

$$\Rightarrow \bar{Z}_- \approx R_s + \frac{R_R}{2} + j(X_s + X_R)$$

$$\Rightarrow \left. \begin{array}{l} X_- = X_{RB} \\ R_- = R_{RB} - \frac{R_R}{2} \end{array} \right\}$$

$$\bar{Z}_- \approx \bar{Z}_{RB}$$

(76) ©

10/05/2013 1° parte. lezione (20)

Motore asincrono: modello alle 3 sequenze.

seq ⊕ : Thevenin $\bar{E}' \propto \bar{\psi}_R$ $\bar{Z}_+ = R_s + jX_{RB}$

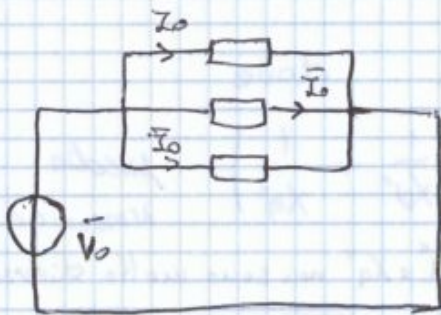
seq ⊖ :  $\bar{Z}_- \approx R_s + jX_{RB} = \bar{Z}_+$
 ↑ per taglio rilevante.

seq ⊙ : statore MA collegato a Δ } λ con Centro stella isolato oppure.

funzionamento normale $\Rightarrow \bar{I}_a + \bar{I}_b + \bar{I}_c = 0 \Rightarrow \bar{I}_0 = 0$

ossia: $\bar{Z}_0 \rightarrow \infty, \bar{Y}_0 = 0$

Ragionamento sullo statore del MA.



Immaginiamo di avere il rotore in rotazione.

$B_{TRAF} = 0$ (hp: dissimmetria, avg - sfasati di 120° nello spazio)
 corr. curop.

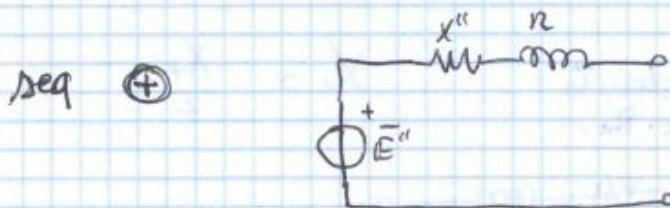
\Rightarrow lo stato del rotore e' perciò irrilevante essendo nullo il campo al traferro, come rapp. il rotore visto da statore?

ovviamente abbiamo \Rightarrow

$$\bar{Z}_0 = \frac{\bar{V}_0}{\bar{I}_0} = R_s + jX_s$$

flusso disperso a statore.

Macchina sincrona: modello alle 3 sequenze:

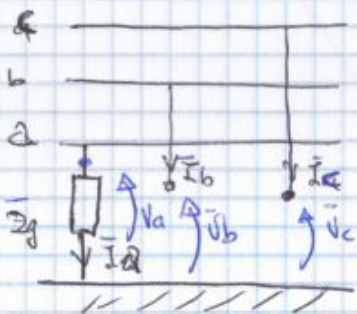
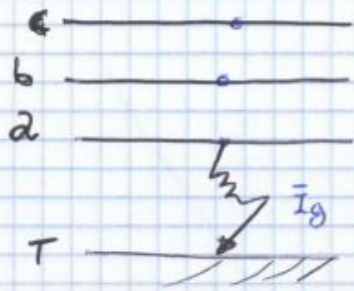


\bar{E}'' : fem sub-transitoria
 \rightarrow legata a ψ rotore } eccitaz. smorzata

$$\bar{Z}_+ = r + jX''$$

sub-transitoria

Guasto monofase a terra (più frequente) (è il più pericoloso)



Consideriamo guasto fase a ⇒

nel p.to di guasto estraggo i morsetti;

Schematicamente sto rappresentando le correnti di guasto, nelle fasi (c) e (b) circolere corrente ma a noi non interessa ⇒ non sono interessate dal guasto.

Divido lo studio del guasto in due passi: =

1) Def. della condizione di guasto in componenti di fase.

$$\begin{cases} \bar{I}_a = \bar{I}_g, & \bar{I}_b = \bar{I}_c = 0 \\ \bar{V}_a = \bar{Z}_g \bar{I}_g \end{cases}$$

2) Def. del guasto in comp. simmetriche

$$\begin{cases} \bar{I}_b = \alpha^2 \bar{I}_+ + \alpha \bar{I}_- + \bar{I}_0 = 0 \\ \bar{I}_c = \alpha \bar{I}_- + \alpha^2 \bar{I}_+ + \bar{I}_0 = 0 \end{cases}$$

$$\bar{I}_b - \bar{I}_c = (\alpha^2 - \alpha) \bar{I}_+ + (\alpha - \alpha^2) \bar{I}_- = 0 \Rightarrow$$

$$\boxed{\bar{I}_+ = \bar{I}_-}$$

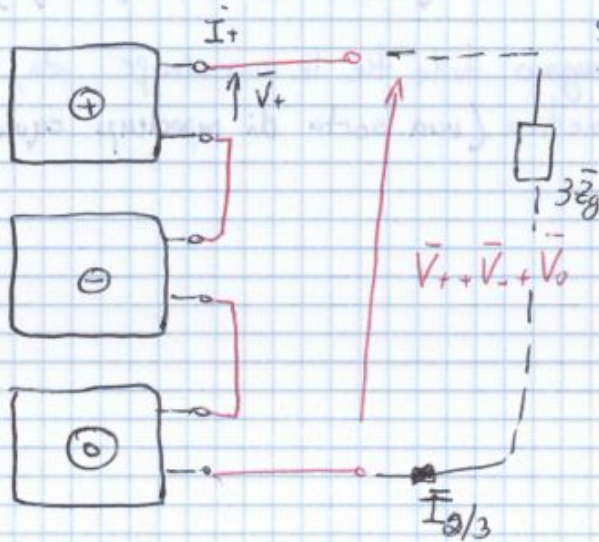
$$\bar{I}_b = \underbrace{(\alpha^2 + \alpha)}_{-1} \bar{I}_+ + \bar{I}_0 = 0 \Rightarrow \boxed{\bar{I}_0 = \bar{I}_+ = \bar{I}_-}$$

$$\bar{I}_g = \bar{I}_a = \bar{I}_+ + \bar{I}_- + \bar{I}_0 = 3\bar{I}_+ \Rightarrow \bar{I}_+ = \bar{I}_- = \bar{I}_0 = \frac{\bar{I}_g}{3}$$

$$\bar{V}_a = \bar{Z}_g \bar{I}_g = \bar{V}_+ + \bar{V}_- + \bar{V}_0 = 3\bar{Z}_g \bar{I}_+$$

10/05/2013. (2 parte)

3) Circuiti equivalenti delle sequenze "visti" dal punto di guasto.

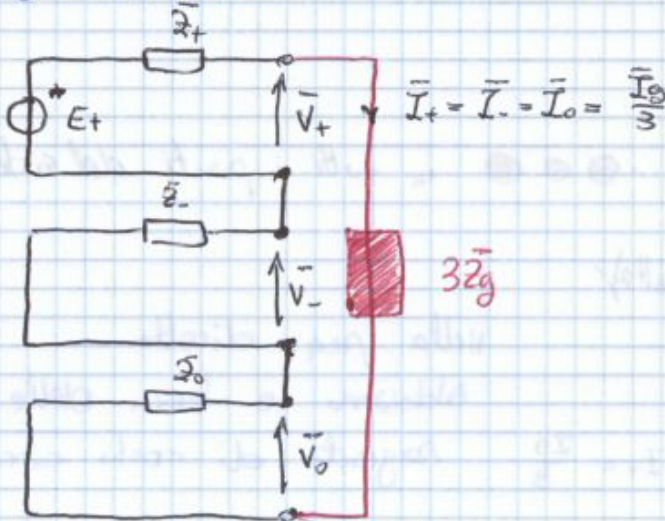


Se collego le tre reti di sequenza impiego che le correnti siano uguali

A questo punto collego $3\bar{Z}_g$ percorso da $\frac{\bar{I}_g}{3}$

$$\frac{\bar{I}_g}{3} = \bar{I}_+ = \bar{I}_- = \bar{I}_0$$

Ogni sequenza con circuito eq. di Thevenin:



4) calcolo di \bar{V} e \bar{I} nel punto di guasto.

$$\bar{I}_+ = \bar{I}_- = \bar{I}_0 = \frac{\bar{E}_+}{\bar{Z}_+ + \bar{Z}_- + \bar{Z}_0 + 3\bar{Z}_g} \Rightarrow \text{posso calcolare la } \bar{I}_g$$

$$\bar{I}_g = 3\bar{I}_+ = \frac{\bar{E}_+}{\frac{\bar{Z}_+ + \bar{Z}_- + \bar{Z}_0}{3} + \bar{Z}_g}$$

Come puoi scatta così?

(79) (a)

la seconda configurazione è vista come variazioni ~~vista~~ causate dal guasto.

con $Z_{B+} \rightarrow \Delta \bar{V}$ in tutti i nodi del sistema.

quindi trova $\rightarrow \Delta \bar{I}$ in tutti "componenti" come abbiamo visto nel guasto trifase.

In realtà ho:

$$Y_{B+} \cdot \begin{bmatrix} \Delta \bar{V}_1 \\ \vdots \\ \Delta \bar{V}_n \end{bmatrix} = \begin{bmatrix} 0 \\ \vdots \\ -\bar{I}_+ \\ \vdots \\ 0 \end{bmatrix} \leftarrow \text{nodo del guasto considerato.}$$

5.2) Seq. \ominus (inversa)



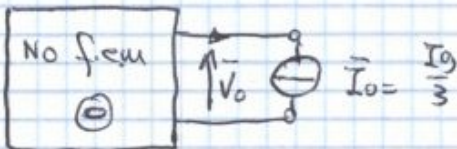
$$\bar{I}_- = \frac{Z_0}{3}$$

NON c'è bisogno di usare la sovrapposizione degli effetti perché le f.c.m. = 0 (tutti) quindi abbiamo solo:

$$2^a \text{ conf. } \ominus \quad E_R = E_G = E_H = 0 \quad \bar{I}_- = \bar{I}_+ \quad \checkmark$$

stesso procedimento di prima $\Rightarrow Z_0 \dots$

5.3) Seq. \odot (omopolare)



$$\bar{I}_0 = \frac{I_0}{3}$$

2^a conf. \odot : sole variazioni

$$Z_{B_0}, Y_{B_0} \quad \text{NB.} \quad Z_{B_0} \neq Z_{B+}$$

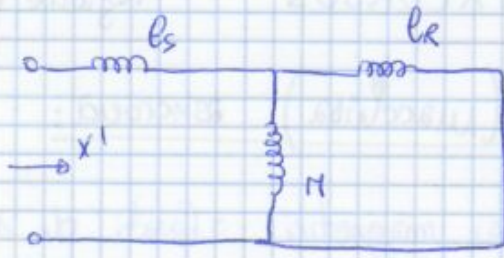
6) $\oplus \ominus \odot \rightarrow a, b, c$
note tutte le componenti simmetriche

$$V_{abc} = T \cdot V_{+0}$$

trasforma nelle comp. di fase.

$$\text{con } T = \begin{bmatrix} 1 & 1 & 1 \\ \alpha^2 & \alpha & 1 \\ \alpha & \alpha^2 & 1 \end{bmatrix}$$

2) $X' \approx X_0 \rightarrow \psi_{R=0}$ (in corto)



$$X' = \omega_s \left(l_s + \frac{l_r M}{l_r + M} \right) < X_0$$

$$X' \approx \omega_s (l_s + l_r)$$

macchina reale : $l_s \approx l_r \ll M$ (ferro)

$\Rightarrow X' \ll X_0$ in fatti normalmente

$$X_0 \approx 3 \div 5 \text{ pu}$$

$$X' \approx 0.1 \div 0.2 \text{ pu}$$

$\Rightarrow I_0 \approx (0.2 \div 0.3) I_{nom}$

$I_{R0} \approx (5 \div 10) I_{nom}$

► Reattanza macchine sincrone : identico al motore asincrono

statore : 3 avvolgimenti caassi magnetici sfasati di 120° elettrici

rotore : avvolgimento di eccitazione + barre conduttrici in corto chiamate avvolgimenti di smorzamento

a regime ; $\omega = \omega_0$; $i_{SMOZ} = 0$

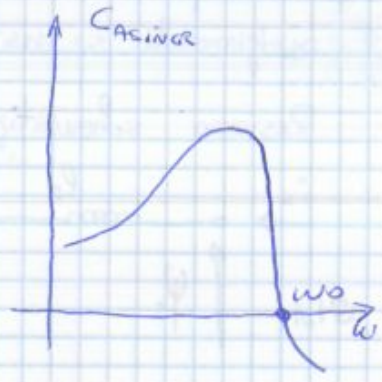
$$C_e = C_{SINCRO} + C_{ASINCR}$$

interazione

$B_{STAT} - B_{ROT}$ i_{SMOZ}

In pratica aggiungendo avvolg. di smorzamento (gabbia rotorica) \equiv aggiungere un termine C_{ASINCR}

puché si chiamano avvolg. di smorzamento? \Rightarrow



- se $\omega < \omega_0$; $C_{ASIN} > 0$ (conv. motore) \rightarrow accelera il rotore.

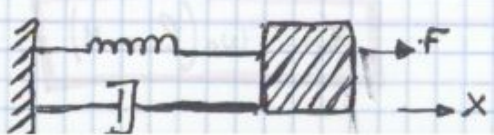
- se $\omega > \omega_0$; $C_{ASIN} < 0$ (conv. motore) \rightarrow frena il rotore.

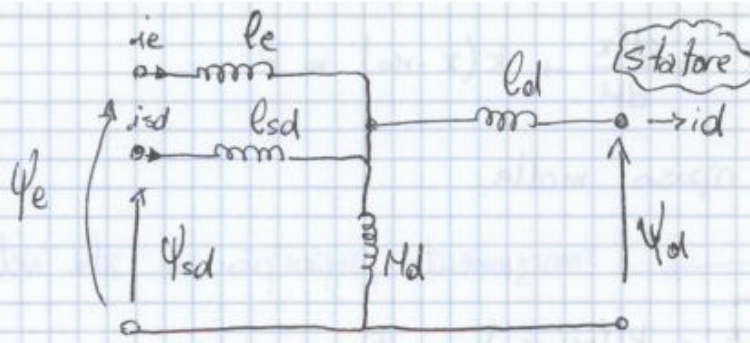
- se $\omega = \omega_0$ $C_{ASINCR} = 0$

- per $|\omega - \omega_0| \ll \omega_0$ Invece nell'intorno di ω_0 possiamo linearizzare l'andamento

della C_{ASIN} così :

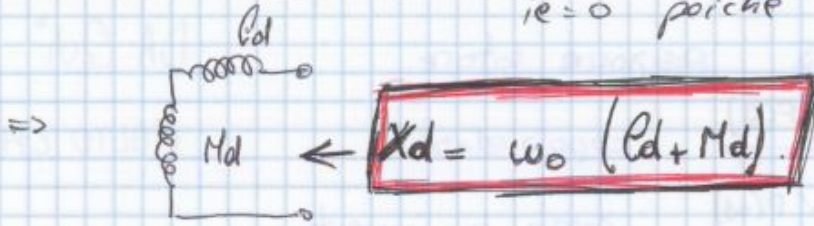
$$C_{ASIN} = K (\omega_0 - \omega) \rightarrow \text{analogia meccanica}$$



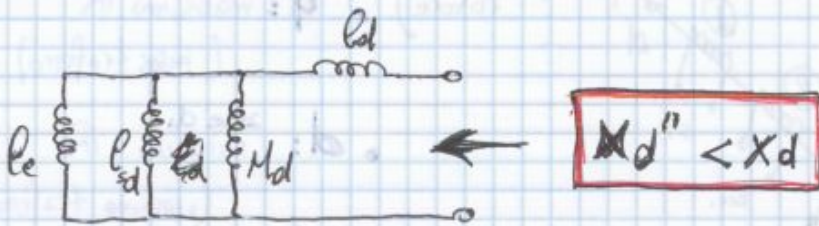


! a regime i_e può essere $\neq 0$
 ma a regime essa dipende solo dalla v_{ecc}

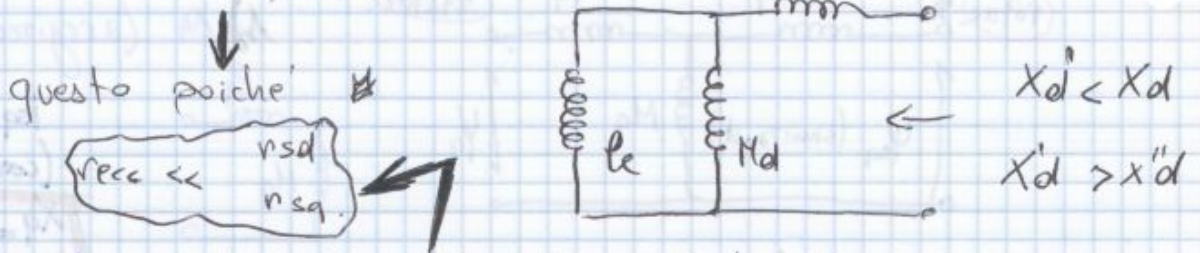
1 - X_d (a regime) ← reattanza vista da statore
 $i_{sd} = 0$ ($\omega = \omega_0$)
 $i_e = 0$ perché $i_e = v_e / r_e$



2 - X_d'' reattanza subtransitoria asse d, cioè è la reattanza che si vede → $\psi_{sd} = 0$; $\psi_e = 0$.



3 - X_d' reattanza transitoria asse d
 $i_{sd} = 0$; $\psi_e = 0$ ← flusso concatenato avv. statico



Per limitare le perdite joule sul rotore - Visto che r_{sd} , r_{sq} sono più grandi, i transitori negli avvolgimenti di smorzamento si annullano rapidamente ⇒ i_{sd} , i_{sq} si annullano rapidamente. Cmq le correnti i_{sd} e i_{sq} \neq solo durante i transitori

Ricordando la corrente di cto nel sincrono.

1) def. questo in abc

$$\begin{cases} \bar{I}_a = 0 \\ \bar{I}_b = -\bar{I}_c = \bar{I}_g \end{cases} \quad \bar{V}_b - \bar{V}_c = 2g \bar{I}_g$$

2) Def. questo in + - 0

$$\bar{I}_a + \bar{I}_b + \bar{I}_c = 3\bar{I}_0 = 0 \Rightarrow \bar{I}_0 = 0$$

$$\begin{aligned} \bar{I}_b &= \alpha^2 \bar{I}_+ + \alpha \bar{I}_- = \\ \bar{I}_c &= \alpha \bar{I}_+ + \alpha^2 \bar{I}_- = \end{aligned} \Rightarrow \bar{I}_b = -\bar{I}_c \Rightarrow \bar{I}_+ = \bar{I}_-$$

$$\bar{I}_g = \bar{I}_b = (\alpha^2 - \alpha) \bar{I}_+$$

$$\bar{V}_b = \alpha^2 \bar{V}_+ + \alpha \bar{V}_- + \bar{V}_0$$

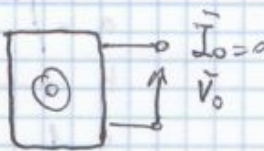
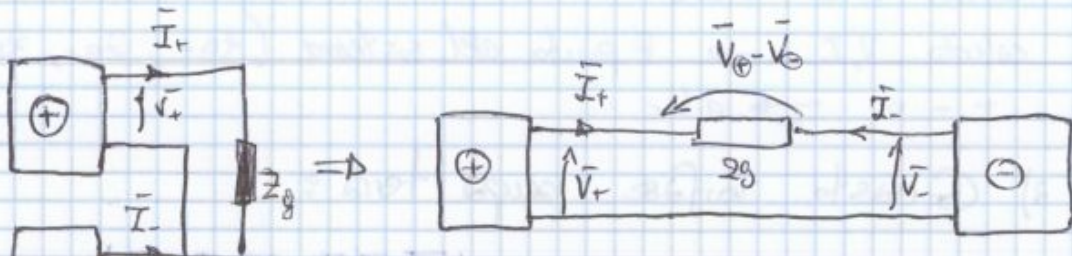
$$\bar{V}_c = \alpha \bar{V}_+ + \alpha^2 \bar{V}_- + \bar{V}_0$$

$$\bar{V}_b - \bar{V}_c = (\alpha^2 - \alpha) \bar{V}_+ + (\alpha - \alpha^2) \bar{V}_- = \cancel{(\alpha^2 - \alpha)} (\alpha^2 - \alpha) (\bar{V}_+ - \bar{V}_-)$$

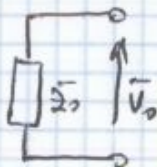
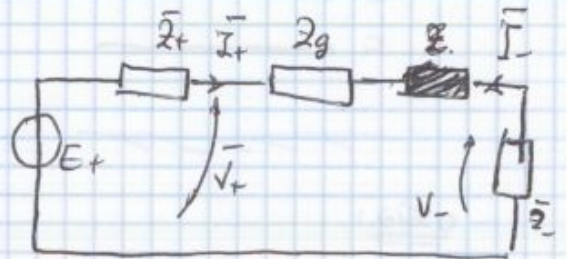
$$= 2g \underbrace{(\alpha^2 - \alpha)}_{\bar{I}_g} \bar{I}_+ \Rightarrow$$

$$\bar{V}_b - \bar{V}_c = 2g \bar{I}_+$$

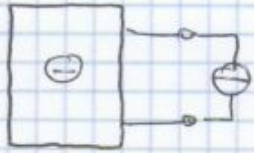
3) Circuito equivalente :



Thevenin :



se $Y_0 \neq 0$ (Z_0 è finita) \Rightarrow
 $\bar{V}_0 = 0$



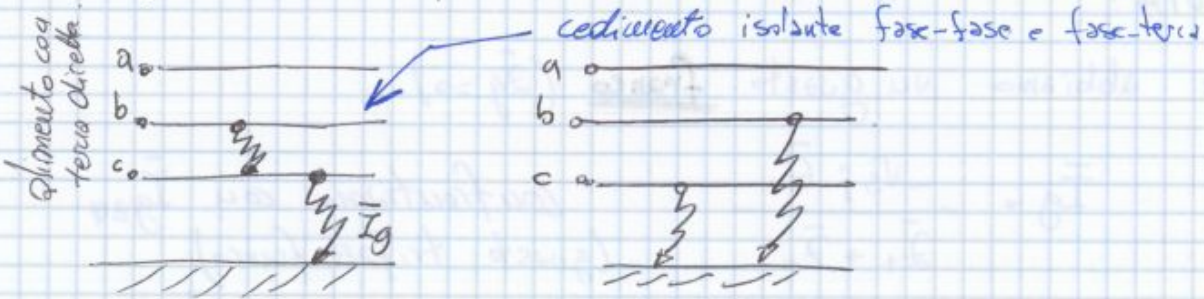
$$Y_B \begin{bmatrix} V_1 \\ \vdots \\ V_i \\ \vdots \\ V_n \end{bmatrix} = \begin{bmatrix} 0 \\ \vdots \\ -1 \\ \vdots \\ 0 \end{bmatrix} \rightarrow \text{nodo del guasto.}$$

↳ pre-guasto non ha componente inversa $\Rightarrow \Delta V_- \equiv V_-$

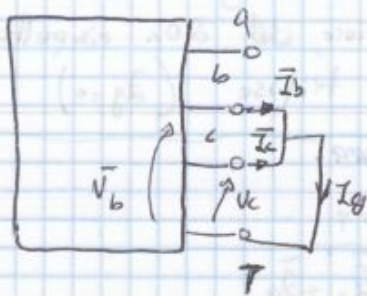
\bar{V}_0 e \bar{I}_0 nono nulle ovunque.

6) $\underline{V}_{abc} = T \underline{V}_{+-0}$

3) Guasto bifase con terra.



Per semplicità consideriamo il guasto franco \Rightarrow le due situazioni sono così equivalenti, altrimenti No.



$$\bar{I}_g \cong \bar{I}_b + \bar{I}_c$$

1) Definizione guasto in abc

$$\left\{ \begin{array}{l} \bar{I}_g = 0 \\ \bar{I}_b + \bar{I}_c = \bar{I}_g \end{array} \right. \quad \begin{array}{l} \bar{V}_b = 0 \\ \bar{V}_c = 0 \end{array}$$

2) definizione del guasto in +-0

$$\bar{I}_a = \bar{I}_+ + \bar{I}_- + \bar{I}_0 = 0 \rightarrow -\bar{I}_+ - \bar{I}_- = \bar{I}_0$$

$$\bar{I}_g = \bar{I}_b + \bar{I}_c = \bar{I}_a + \bar{I}_b + \bar{I}_c = 3\bar{I}_0$$

$$-\bar{I}_+ - \bar{I}_- + 2\bar{I}_0 = 3\bar{I}_0$$

ossia $\angle \bar{z}_0 = \angle \bar{z}_+$

Approssimazione: valida ne ho il syst. con componenti con tagli rilevanti

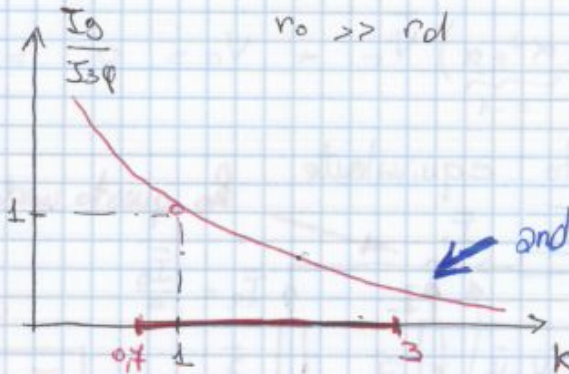
$$\begin{cases} z_+ \approx j X_+ \\ z_0 \approx j X_0 \end{cases}$$

es. linee aeree

$$\begin{aligned} x_0 &\approx 3x_+ \\ r_0 &\gg r_d \end{aligned}$$

$$K = \frac{z_0}{z_+}$$

$$\frac{I_g}{I_{3\phi}} = \frac{3}{2+K}$$



$K=1 \Rightarrow I_g = I_{3\phi}$

se $K > 1 \Rightarrow (X_0 > X_+) \quad I_g < I_{3\phi}$

se $K < 1 \Rightarrow (X_0 < X_+) \quad I_g > I_{3\phi}$

solitamente $K \approx 0.7 \div 3$ (nei sistemi AT)

come mai? \Rightarrow diamo una giustificazione

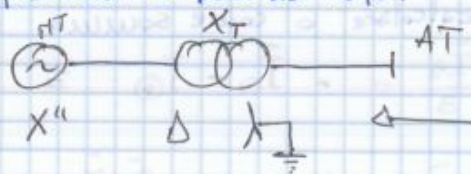
K grande:

\rightarrow reattanza linea prevalente a quella del trfo.



linea lunga $K \rightarrow 3$

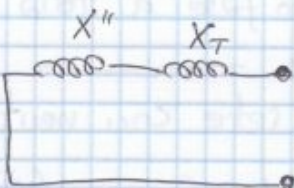
K basso:



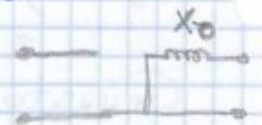
pu. \approx tpu = 1 $K < 1$

seq (+) / seq (-)

(facciamo riferimento al lato Alta Tensione) Vedo generatore + trfo.



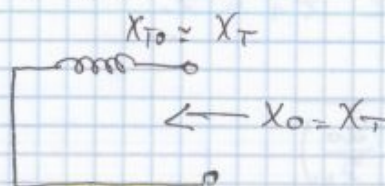
$$X_+ = X_- = X'' + X_T$$



il gen. e' aperto (il lato TR a Δ e' aperto).

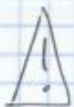
seq (0)

$$K = \frac{X_0}{X_+} \approx \frac{X_T}{X_T + X''} < 1$$



$$X_T \approx 0.1 \div 0.25 \text{ pu.}$$

$$X'' \approx 0.15 \div 0.2 \text{ pu.}$$



K alto ($\rightarrow 3$) e' dovuto al fatto della reattanza prevalente della linea BT

K basso (< 1) e' dovuto al tipo di connessione $\begin{cases} z_+ \text{ (include anche il gen.)} \\ z_0 \text{ (lo esclude per via del } \Delta \text{)} \end{cases}$

alimento
con cui
trova diretta

$$\begin{cases} \bar{V}_a = \bar{E}_+ \\ \bar{V}_b = \alpha^2 \bar{E}_+ \\ \bar{V}_c = \alpha \bar{E}_+ \end{cases} \Rightarrow \frac{|\bar{V}_b|}{\bar{E}_+} = \frac{|\bar{V}_c|}{\bar{E}_+} = 1.$$

pre guasto.

$|\alpha| = |\alpha^2| = 1.$
in moduli

con guasto:

$$\frac{V_b}{E_+} = \frac{V_c}{E_+} = \frac{|\alpha^2(1+k) - \alpha - k|}{2+k}$$

da verificare (dimostrabile graficam.)

se $k=1$, $\frac{V_b}{E_+} = \frac{V_c}{E_+} = \frac{|2\alpha^2 - \alpha - 1|}{2+1} = \frac{|\sqrt{3}\alpha^2|}{3} = 1$

ossia:

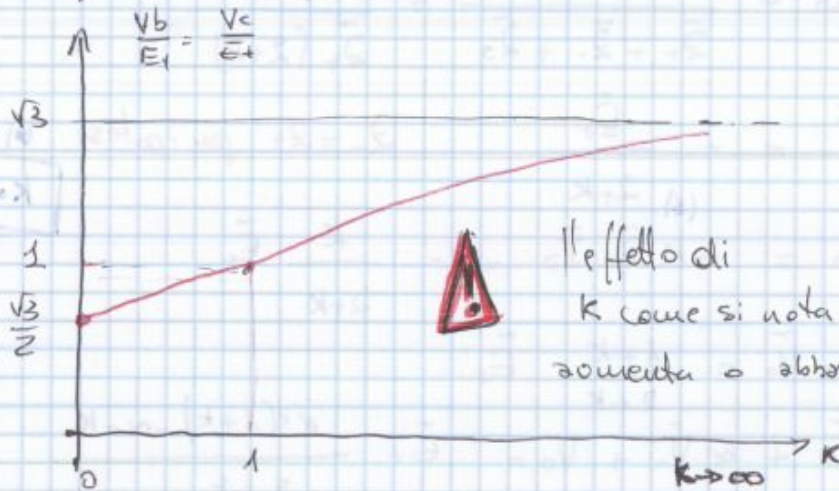
- se $k=1$ le tensioni hanno lo stesso val. efficace avvenuta prima del guasto.

- se $k \rightarrow \infty$ ($x_0 \rightarrow \infty$) $\frac{V_b}{E_+} = \frac{V_c}{E_+} = \frac{|\alpha^2 - 1|}{1} = \sqrt{3}$. $|\frac{1}{2} + j\frac{\sqrt{3}}{2} - 1| = \sqrt{3}$ OK

ossia E_+ stellata $\rightarrow \sqrt{3} E_+$ concatenate.

- se $k=0$ $\frac{|\bar{V}_b|}{\bar{E}_+} = \frac{|\bar{V}_c|}{\bar{E}_+} = \frac{|\alpha^2 \alpha|}{2} = \frac{\sqrt{3}}{2}$.

quindi Graficamente:

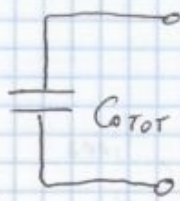


Cioè posso
dalla stellata alla
concatenata \Rightarrow ho
un intervento notevole
 \Rightarrow del 70% in
più ($\sqrt{3} = 1,7$).

Problema $\left\{ \begin{array}{l} \rightarrow \text{per le correnti} \text{ è meglio avere } k \text{ elevato} \\ \rightarrow \text{per le tensioni} \text{ è meglio avere } k \text{ basso} \end{array} \right.$

\Rightarrow Soluzione è non discostarsi troppo da $K=1$

Per cui ovunque sia il guasto, alla frequenza occupata vediamo solo la capacità totale. E se le linee sono uguali ho:



$$C_{TOT} = C_0 \cdot L$$

estensione totale della linea.

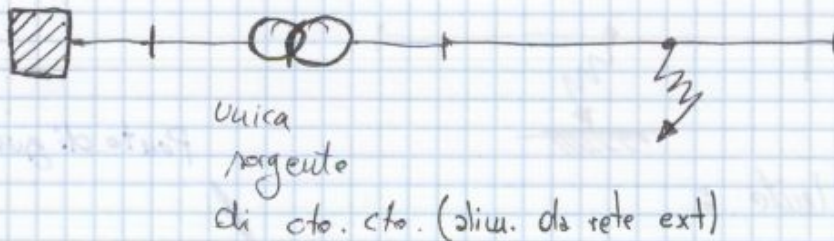
valida se tutte le linee sono uguali: (C₀ uguale)

$$\Rightarrow \bar{Z}_0 = \frac{1}{j\omega C_{TOT}} = \frac{1}{j\omega C_0 L}$$

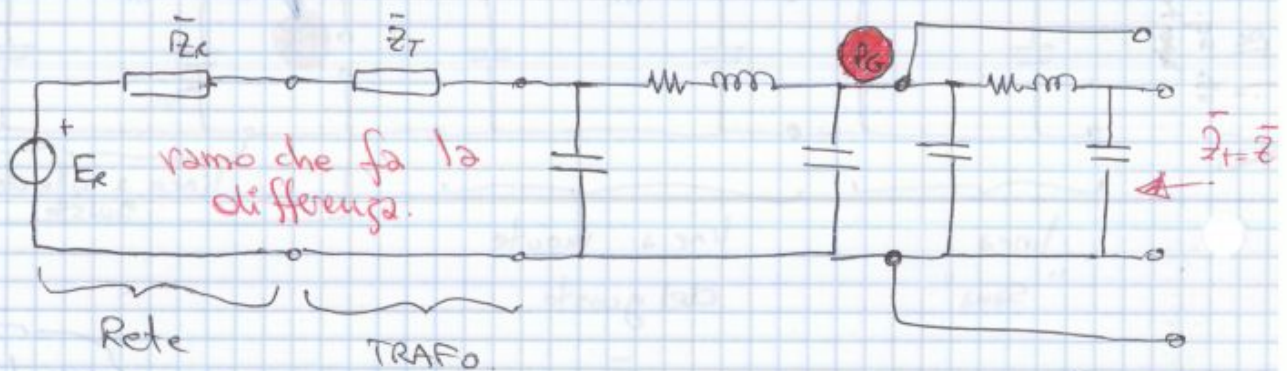
valida se tutte le linee hanno lo stesso C₀ (F/km) variando la ϕ cambia poco la C₀.

⚠ Parlando di linee sempre con stesso tipo di isolamento (linee aeree) ⇒ $\bar{Z}_0 \gg \bar{Z}_+ = \bar{Z}_-$ perché nelle frequenze ⊕ e ⊖ ci sono le sorgenti di cto-cto, ecco perché sono modesto le $|\bar{Z}_+|$ e $|\bar{Z}_-|$

ossia;



allora, seq ⊕ ≡ seq ⊖



Calcolo $\bar{Z}_+ = \bar{Z}_- \Rightarrow \bar{E}_R = 0$, però abbiamo in più \bar{Z}_R e \bar{Z}_T

che non c'erano alla frequenza occupata visto che il neutro è isolato ⇒ stavolta possiamo trascurare le capacità, che sono in // e \bar{Z}_R e \bar{Z}_T che sono piccole.

⇒ $\bar{Z}_+ = \bar{Z}_-$ { imp. longitudinali linee
imp. sorgenti di cto. cto.

Pertanto, ricapitolando :

→ Sovratensione $E_t \rightarrow \sqrt{3} E_t$ fasi sane, si verifica in tutti i punti del sistema.

Norme:

$$I_g = V_N (0.2 L_c + 0.03 L_A)$$

[A] [kV] [km] [km]

V_N = tensione nominale concatenata.

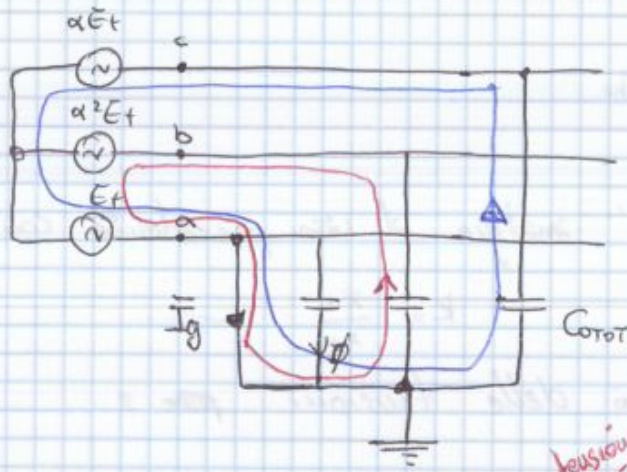
L_c estensione totale linea in cavo e aerea.

OSS: $\frac{0.2}{0.03} \approx 70 \Rightarrow$ a pari estensione, il contributo della linea in cavo è 70 volte maggiore.

$$\frac{C_{cavi}}{C_{aerea}} \approx 70.$$

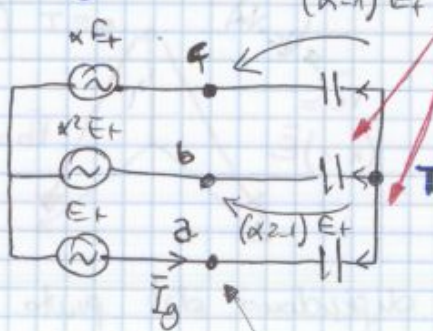
$0.2 L_c \Rightarrow$ fa riferimento a cavi con schermi singoli $\Rightarrow C_+ = C_-$

Possiamo schematizzare il nostro sistema IT così:



I_g si richiude attraverso le due fasi sane e attraverso i generatori (tramite gli accoppiamenti capacitivi)

Richi segnando:



tensione di posto $(\alpha^2-1)E_t$

eq. nodi al nodo T

Pertanto $I_g = -j\omega C_{TOT} \cdot (\alpha^2-1) \bar{E}_t - j\omega C_{TOT} \cdot (\alpha-1) \bar{E}_t \Rightarrow$

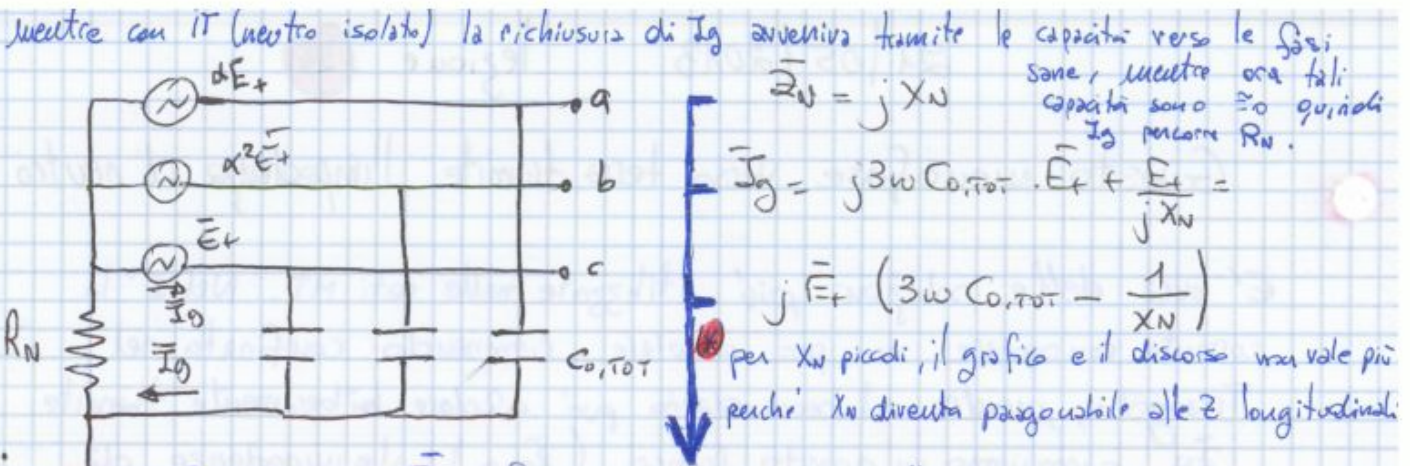
corrente fase (b)
corrente fase (c)

$$I_g = -j C_{TOT} \cdot \omega \cdot \bar{E}_t (\alpha^2-1+\alpha-1)$$

$$\Rightarrow I_g = -j 3\omega C_{TOT} \bar{E}_t$$

fase max una delle due (cambiando la sig)

Nel caso di schermi singoli su ogni fase, modifichiamo le L_c, L_b ma a me interessa $I_g +$ tensioni di accopp.



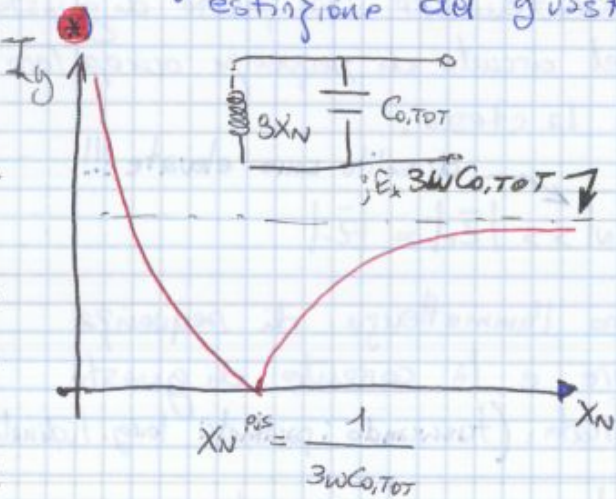
Se invece \bar{Z}_N fosse puramente reattiva, si creerebbe una situazione tale da poter rendere nulla la corrente di guasto.

Al crescere di X_N la corrente ~~diminuisce~~ diminuisce, fino ad arrivare alle condizioni di risonanza per cui $3\omega C_{0,TOT} = \frac{1}{X_N}$, ovviamente a regime.

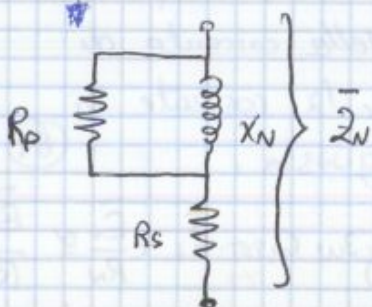
Il vantaggio di riuscire ad annullare a regime la corrente di guasto è che ciò permette l'auto-estinzione del guasto (estinzione degli archi elettrici in aria), permettendo di garantire una migliore continuità del servizio.

È impossibile conoscere a priori la capacità totale omopolare della rete di distribuzione collegata al trasformatore, e inoltre è un valore variabile nel tempo. È possibile utilizzare dei regolatori automatici che, tramite la misura di

Neutro compensato \rightarrow effetto capacità compens. con reattanza neutro.



piccole correnti omopolari, mantenendo la reattanza vicino al valore di risonanza. Questa soluzione si chiama BOBINA DI PETERSON, oppure neutro compensato, si usano comunque delle resistenze aggiuntive: 1) la resistenza R_s ha il compito di abbassare la costante di tempo della componente induttiva della corrente di guasto, abbreviando il transitorio e facilitando la corrente di guasto - 2) la resistenza in parallelo



R_p ha il compito di introdurre una componente resistiva nella corrente di guasto in modo da identificare la linea interessata tramite la rilevazione del guasto.

R_s e R_p hanno scopi diversi.

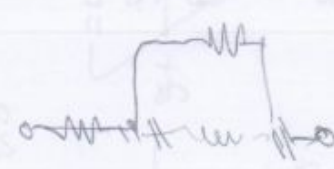
108 da/ser

$$V_0 = -30V$$

$$V = \frac{E}{R}$$

$$V = E + I \cdot r$$

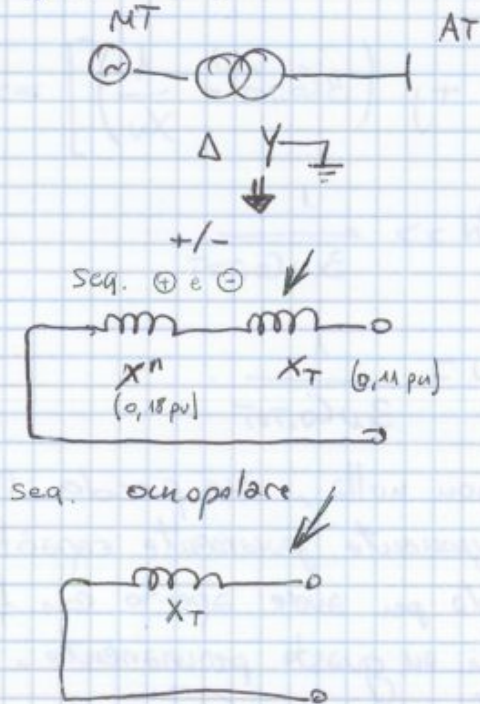
$$I = \frac{E}{R + r}$$



$\frac{E}{R+r}$
 $\frac{E}{R+r}$
 $\frac{E}{R+r}$
 Circuito equivalente

e se consideriamo delle linee con la medesima capacità per lunghezza, si ha $I_g = 3 C_0 L_{TOT} E_g$, dove L_{TOT} è la lunghezza di tutte le linee connesse al guasto; l'estensione delle linee AT ci farebbe rendere eccessiva la corrente di guasto;

• Nel sistema AT sono inaccettabili delle sovratensioni nelle fasi sane.



caso classico: centrali termoelettiche della coppia di 16W ha gen. uguali

Come già visto, alla frequenza omopolare non solo il trasformatore con la X_T si oppone al passaggio (in un collegamento MT/AT).

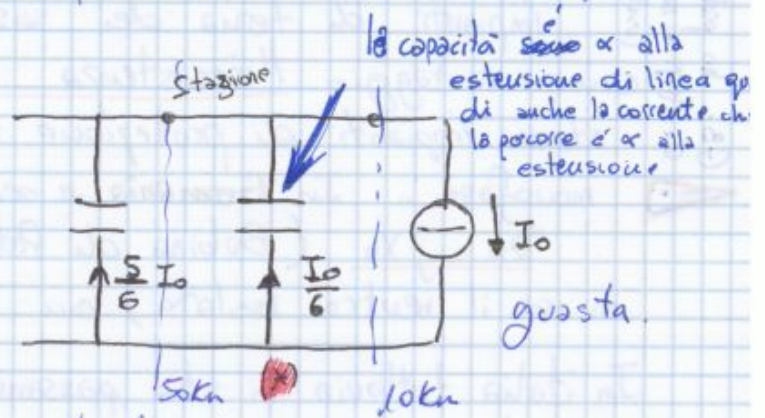
Dei trafi che connettono due reti AT con due livelli di tensione con collegamenti a stella con neutro sia al I° che al II° sono visti dalla frequenza omopolare come un autotrasformatore. Nel caso di un autotrasformatore, si ha un unico centro stella, connesso al neutro.

Non si connettono a terra tutti i centri stella dei trasformatori e considerando 2 generatori uguali in centrale, se entrambi i trafi fossero posti a terra tramite il loro centro stella, avremmo come impedenza di sequenza omopolare $j X_T / 2$, mentre con solo uno dei centri stella sarebbe $j X_T$ (senza collegamento a terra, $|Z_0| = \infty$). Come si fa per controllare il $k = \frac{X_0}{X_T}$ per fare in modo che non sia troppo piccolo e vicino ai generatori ed innescare correnti di guasto elevate.

► Le reti BT sono tutte col neutro messo a terra (TN, TT) in quanto entra in gioco, il fattore di sicurezza per le persone che usano la rete; fanno eccezione i sistemi a terra, causando casi delle correnti elevate. IT e i trasformatori d'isolamento. Nelle reti MT

Facciamo l'esempio di alcune linee in caso di diverse lunghezze. Dalle norme ricaviamo la corrente di guasto I_g . Grazie all'assenza del collegamento alla terra, sappiamo che $I_0 = \frac{I_g}{3} = 80A$ alla frequenza omopolare ho un circuito equivalente del genere.

$$\left. \begin{aligned} V_N &= 20 \text{ kV} \\ L_c &= 60 \text{ km} \\ I_g &= 0.2 V_N L_c = 240A \\ I_g/L_c &= 0.2 V_N = 4 \text{ A/km} \end{aligned} \right\}$$



Problematiche (2)

Si metterebbe una soglia per contrastare la corrente omopolare. Si hanno tuttavia dei difetti in questa approssimazione:

- (1) si hanno degli effetti resistivi non eliminabili che fanno scendere la I_0 , e inoltre l'assetto variabile della rete modifica il valore di I_0 . E' importante guardare il segno della potenza reattiva omopolare: per far ciò si usa un RELE' VARMETRICO DIREZIONALE: si vede come nelle linee sane c'è un comportamento capacitivo, mentre la linea guasta ha un comportamento induttivo.

(Robinson Peterson)

tipica francese.

Mettendo invece il neutro a terra la corrente di guasto percorre unicamente la linea guasta. Con il neutro compensato la potenza reattiva viene assorbita dalla reattanza X_N , opportunamente costruita per andare in risonanza con la capacità delle linee. ha potenza P sarà tutta proveniente dalla linea guasta, e andrà su $3R_N$, sottraendo energia al guasto. Se il neutro e' sotto compensato, la potenza P_0 può cambiare segno.

- la linea non interessata dal guasto o' interessata da una I omopolare abbastanza piccola $\frac{I_0}{6} \approx 13-14A$ in confronto ai 240A della I_g .
- l'effetto resistivo può fare scendere I_0 e quindi sotto la soglia di intervento delle protezioni.

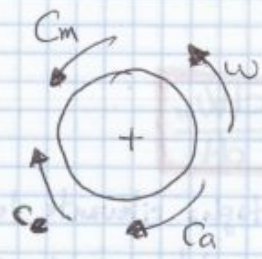
$v(t) = \sqrt{2} V \cos(\omega t + \varphi)$ ← tensione su di un avvolgimento trascurando le perdite omiche e le variazioni di flusso concatenato
 Dati nominali: V_N, f_N
 Condizioni di qualità: \triangle ci sono orologi che funzionano in base alla frequenza di rete.
 • $|V - V_N| \ll V_N$ ← Tensione di esercizio prossima V_N .
 • $|\frac{\omega}{2\pi} - f_N| \ll f_N$ ← frequenz " " " "
 $\frac{\omega}{2\pi} \equiv$ frequenza della tensione prodotta dai generatori

24/05/2013

lezione 24

\triangle pezzi scritti cronogrammi e/o sbagliati

1) Equazione meccanica dei generatori sincroni



C_m è la coppia meccanica o motrice data dal motore primo e applicata al rotore (generalmente una turbina);

C_e è la coppia elettromagnetica o elettrica dovuta alle forze che

l'avvolgimento statorico induce sul rotore, ed è la coppia che attua la conversione elettromeccanica;

C_a è la coppia di attrito. Il bilancio delle coppie è concluso dalla coppia d'inerzia, cioè momento d'inerzia per accelerazione angolare. Supponiamo che gli attriti siano trascurabili, e trasformiamo il bilancio in bilancio di potenza moltiplicando per la velocità di rotazione, e ottenendo l'energia cinetica e le potenze meccaniche ed elettriche.

Semplificazione

Bilancio coppia:

$$J \frac{d\omega}{dt} = C_m - (C_e - C_a)$$

con $C_a \approx 0$

$$\left. \begin{aligned} j\omega \frac{d\omega}{dt} &= C_m \cdot \omega - C_e \cdot \omega \\ \frac{d}{dt} \left(\frac{1}{2} J \omega^2 \right) &= P_m - P_e \\ \text{Energia cinetica } W_m & \\ \Rightarrow \frac{dW_m}{dt} &= P_m - P_e \end{aligned} \right\}$$

P_e $|\omega - \omega_0| \ll \omega_0$ $\omega_0 = 2\pi f_0$
 f_0 = frequenza nominale del sistema.

$$j\omega_0 \frac{d\omega}{dt} = P_m - P_e$$

Sto dicendo che parlare di P_e e C_e è la stessa cosa.

③ → posso stimare l'energia cinetica dei generatori prima dietro po. qu

$$W_m = \frac{1}{2} J \omega^2 = H \cdot S_N \quad \text{q.tà d'energia rilevante,}$$

energia cinetica immagazzinata a rotore. S_N
fornita dal rotore per H secondi

Esempio: $\sum S_N = 50'000 \text{ MVA.}$
 $\sum P_{CAR} = 45000 \text{ MW.}$

→ Non possiamo usare tutta l'energia $H \cdot S_N$ per soffrire alla variazione di carico, ci va troppa energia
 Supponiamo di avere una variazione di frequenza:

$$\Delta f = 1 \text{ Hz} \quad (50 \rightarrow 49 \text{ Hz}) \quad \Delta W_m \approx 4\%$$

(ex.) $\rightarrow W_m \propto \omega^2 \rightarrow (W_m = \frac{1}{2} J \omega^2)$

Per (4:5) 4% = 160 ms.

Se ammettiamo una variazione Δf del 2%, la $\Delta W_m \approx 4\%$ quindi il 96% dell'energia rimane a rotore, il 4% contribuisce ad alimentare il carico durante questa variazione (abbiamo in pratica un plusvalore energetico)

$$J \omega_0 \cdot \frac{d\omega}{dt} = P_m - P_e \quad (\text{approx}) \quad \text{e con } T_a = J \frac{\omega_0^2}{S_N} P_0$$

$$\frac{T_a S_N}{\omega_0} \cdot \frac{d\omega}{dt} = P_m - P_e \quad \text{sappiamo ora di avere un}$$

→ generatore a 2 poli $\Rightarrow \omega = 2\pi f \quad f \stackrel{\text{def}}{=} \frac{\omega}{2\pi}$
 misuriamo la velocità in ~~rpm~~ rps ai morsetti del generatore (rotore)
 $f_0 = \frac{\omega_0}{2\pi}$ frequenza nominale

la maggioranza è a due poli.

$$\frac{T_a S_N}{\omega_0} \cdot 2\pi \frac{df}{dt} = P_m - P_e$$

Introduciamo il termine $M = \frac{T_a S_N}{\omega_0} 2\pi \Rightarrow \boxed{M \frac{df}{dt} = P_m - P_e}$

Ora provo a linearizzare la mia equazione lavorando nell'intorno di un punto $\Rightarrow \omega = \omega_0 \Rightarrow$ introduco ora le variazioni

e la potenza meccanica viene variata regolando la velocità.

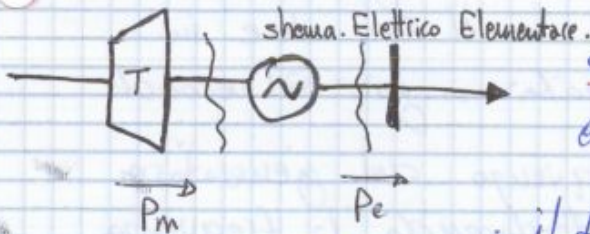
Lo schema dell'anello di reg. della velocità vede il seguente

$$M \frac{df}{dt} = P_m - P_e$$

$$\begin{cases} \Delta f = f - f_0 \\ \Delta P_m \triangleq P_m - P_{m0} \\ \Delta P_e \triangleq P_e - P_{e0} \end{cases}$$

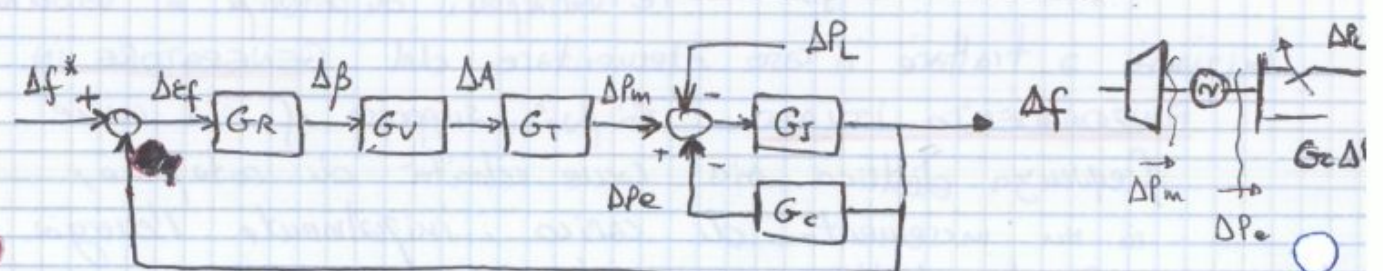
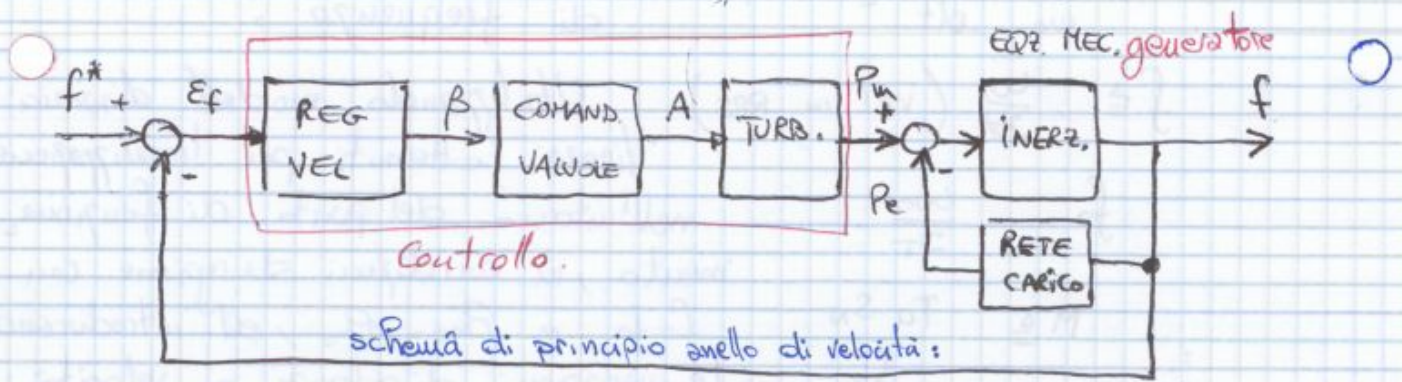
$$M \frac{d\Delta f}{dt} = \Delta P_m - \Delta P_e$$

eq. alle variazioni.



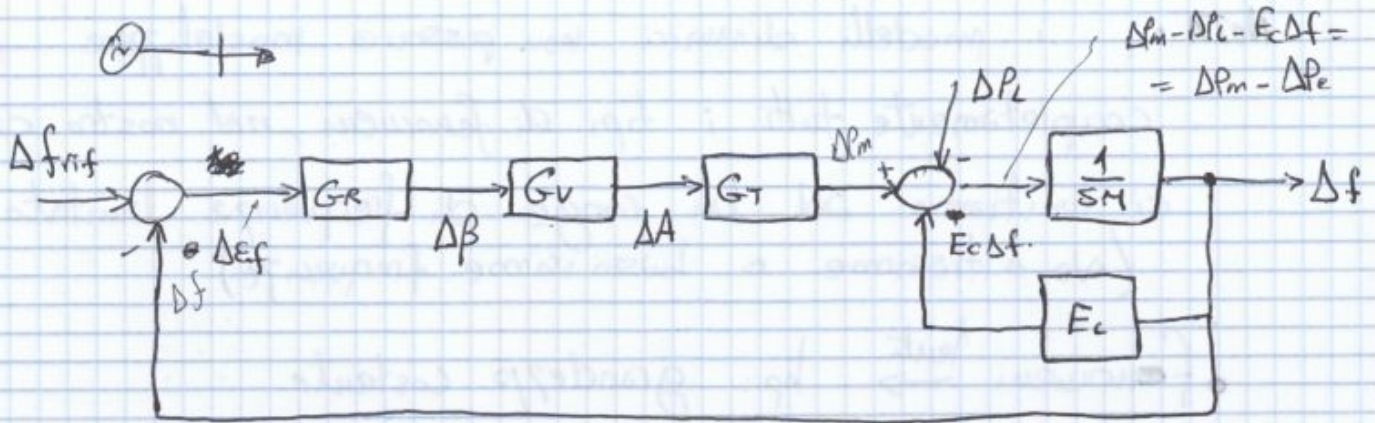
schema: si misura la f con un tachimetro e la si confronta col riferimento f^* ricavando l'errore E_f . P_m è l'uscita della turbina, il blocco d'inerzia è la rappresentazione dell'equazione meccanica, e il blocco in retroazione rappresenta ciò che si vede ai morsetti del generatore. Il regolatore di velocità ha un'uscita β , tipicamente un angolo che definisce la posizione di un albero meccanico, il comando delle valvole dà in uscita A che è la sezione di passaggio che avrà il fluido di regolazione, cioè del vapore (termoelettrico), acqua (idroelettrico), gas (termoelettrico a gas). Possiamo usare le TRASFORMATE DI LAPLACE per studiare il comportamento dinamico, e riscriviamo la f.d.t. inserendo la variazione di carico ΔP_L .

il fluido di regolazione, cioè del vapore (termoelettrico), acqua (idroelettrico), gas (termoelettrico a gas). Possiamo usare le TRASFORMATE DI LAPLACE per studiare il comportamento dinamico, e riscriviamo la f.d.t. inserendo la variazione di carico ΔP_L .



Occupiamoci delle funzioni della parte destra dell'anello di regolazione di velocità.

28/05/2013 lezione 25

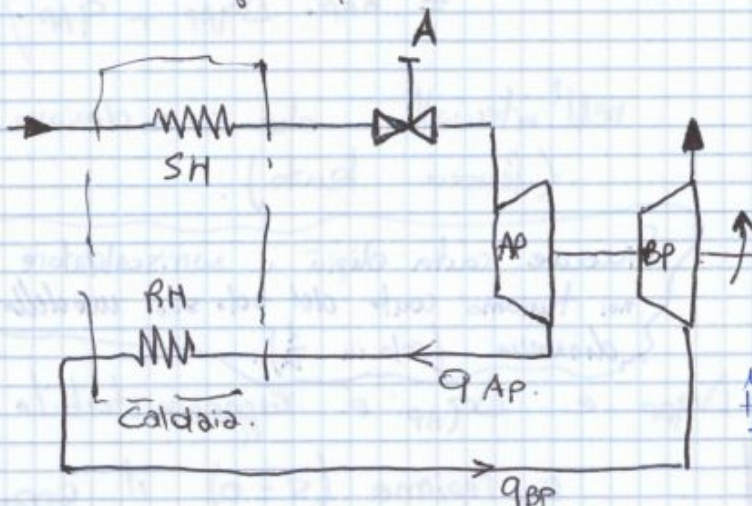


f.d.t turbina GT (a vapore) cioè con riferimento alla Turb. a vapore ho:

$$G_T(s) = \frac{\Delta P_m}{\Delta A}$$

A = sezione di passaggio del vapore.

schema di principio:



SH: surriscaldatore

RH: ririscaldatore

q: portata massica di vapore (kg/s)

i surriscaldatori hanno volumi molto grandi rispetto alle turbine quindi trascureremo l'accumulo di vapore nelle turbine.

in regime $\rightarrow q_{AP} = q_{BP}$ e' la stessa in ogni punto, ma a noi interessa la condiz. dinamica

in transitorio $\rightarrow q_{AP} \neq q_{BP}$ (densità di vapore variabile)

ciò ci porta ad interessarci di cosa succede in RH a causa dell'accumulo di vapore dovuto al transitorio.

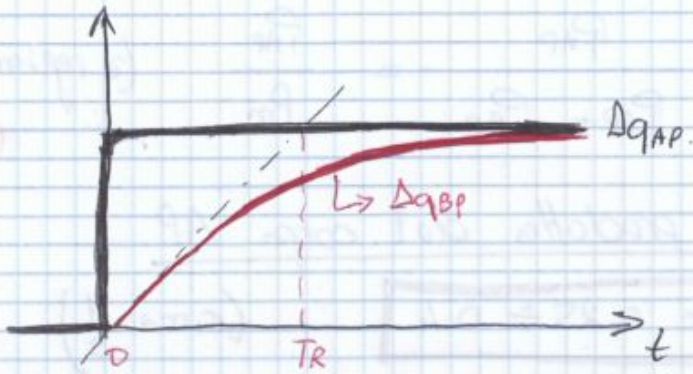
$P_m = P_{AP} + P_{BP}$ dove P_m = potenza meccanica prodotta.

$$P_{AP} = h_{AP} \cdot q_{AP}$$

$$P_{BP} = h_{BP} \cdot q_{BP}$$

con h = entalpia specifica

[J/kg]



transitorio:

$$q_{AP} > q_{BP}$$

⇒ si accumula vapore nel RN.

il transitorio si estingue in $(4-5)TR \approx 60$ secondi

$$\Delta P_m = \Delta P_{AP} + \Delta P_{BP} = h_{AP} \cdot \Delta q_{AP} + h_{BP} \cdot \Delta q_{BP}$$

$$\text{con } \Delta q_{BP} = \frac{\Delta q_{AP}}{1 + sTR} \Rightarrow = \left(h_{AP} + h_{BP} \frac{\Delta q_{BP}}{\Delta q_{AP}} \right) \Delta q_{AP} = \Delta q_{AP}$$

$$\Rightarrow \Delta P_m = \left(h_{AP} + \frac{h_{BP}}{1 + sTR} \right) k \Delta A$$

e quindi

$$G_T = \frac{\Delta P_m}{\Delta A} = k \cdot \frac{h_{AP} + h_{BP} + sTR h_{AP}}{1 + sTR}$$

$$k_T = k(h_{AP} + h_{BP})$$

$$G_T = \underbrace{k(h_{AP} + h_{BP})}_{k_T} \frac{1 + s \frac{h_{AP}}{h_{AP} + h_{BP}} TR}{1 + sTR}$$

$$\frac{h_{AP}}{h_{AP} + h_{BP}} = \alpha$$

$$G_T = k_T \cdot \frac{1 + s \alpha TR}{1 + sTR}$$

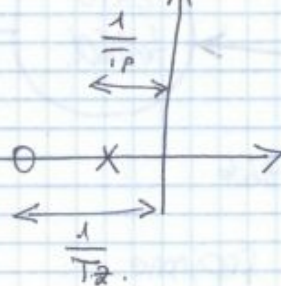
con $k_T = G_T(s=0) = G_T(t \rightarrow \infty)$

guadagno statico di turbina (ossia a regime)

a regime: $\Delta P_m = k_T \Delta A$

$$\alpha = \frac{h_{AP}}{h_{AP} + h_{BP}} < 1$$

zeri e poli $G_T(s)$.

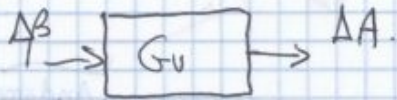


→ $T_{zero} = \alpha TR < T_{polo} = TR$.
cioè il polo è molto vicino all'origine dello zero.

a regime $q_{AP} = q_{BP} = q$.

P_c varia lentamente, è noi non interessa, ci interessa invece che P_m vari velocemente, cosa che effettivamente accade (non ci interessa che il ciclo Termodinamico registri o meno solerti (ΔP_c))

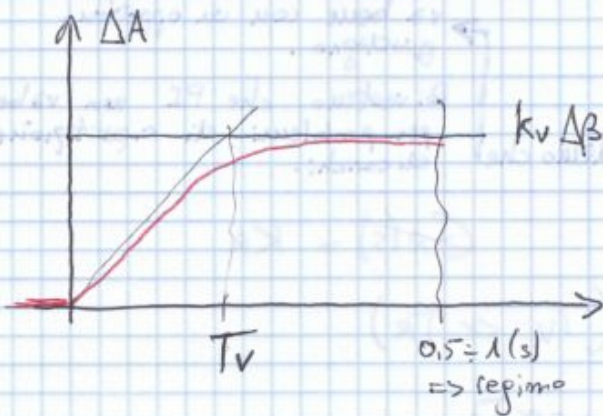
► Sistema di comando delle valvole. 28-5-13 (a)



$$G_v(s) = \frac{K_v}{1 + sT_v}$$

K_v : guadagno statico.

T_v : cost di tempo comando valvole. (2 ord. di grandezza < a TR)



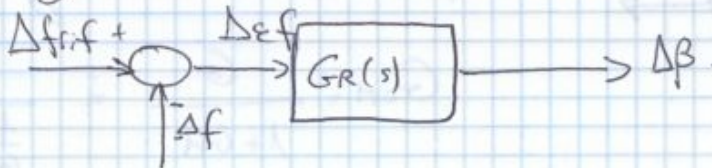
$\Delta\beta > 0$ a gradino. ↓

$$T_v \approx 0.1 \div 0.3 \text{ sec} \ll TR$$

Pertanto è come se fosse un gradino nella scala tempi delle turbina

■ $\theta_p (\approx 60 \text{ sec})$

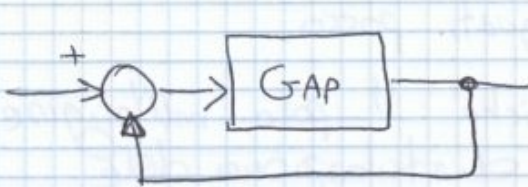
► Regolatore di velocità



Prestazioni anello di controllo :

- precisione : errori "piccoli" a regime;
- stabile
- velocità di risposta.

* {
 Stabilità : $\sigma > 0 \Rightarrow e \rightarrow 0$



poli di $G_{AP} = K_R k_v k_T \frac{1+s\tau_R}{1+s\tau_R sH+E_c}$
 \hookrightarrow poli anello aperto.

poli anello chiuso al variare di $K_{AP} = G_{AP}(s=0) =$

$K_{AP} = G_{AP}(s=0) = K_R \cdot \frac{k_v k_T}{E_c} \rightarrow$ lost
 e' l'unico che posso variare

• Poli anello aperto :

$T_{p1} = \tau_R$; $T_{p2} = \frac{M}{E_c}$

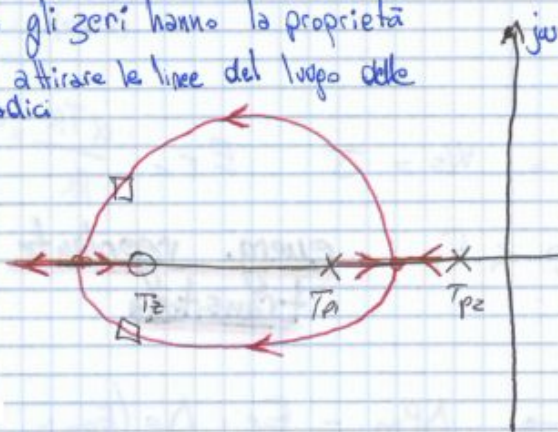
in assenza di carico rotante ($E_c \rightarrow 0$);

$T_{p2} \rightarrow \infty$ (polo finisce nell'origine).

• Zeri :

$T_z = \alpha \tau_R < \tau_R = T_{p1}$

N.B: gli zeri hanno la proprietà di attirare le linee del luogo delle radici



$K_{AP} \rightarrow 0$ ($K_R \rightarrow 0$)

\Rightarrow poli a.c. chiuso \equiv poli a.a.



$K_{AP} \rightarrow \infty$ ($K_R \rightarrow \infty$)

\Rightarrow poli a.c. \equiv zeri a.a.

□: posizione poli a.c. chiuso con K_R adeguato in termini di precisione.

il modello e' molto semplificato, ignoriamo la dinamica delle valvole, il modello delle turbine e' anch'esso semplificato.

Nella realtà ci sono molti altri poli con τ piccole (ossia non molto a sinistra)

Quindi tirando su col guadagno vedo a sinistra e allora non posso più ignorare gli altri poli, (98)

$\Delta f_{rif} = 0$ ^{prima qua} \Rightarrow a regime $\Rightarrow \Delta P_m = E_p (\Delta f_{rif} - \Delta f)$
 $\Rightarrow - E_p \Delta f$
 ↑ immagino di non toccare la velocità:

$$E_p = \frac{P_n}{f_0 b_p} ; \frac{\Delta P_m}{P_n} = - \frac{1}{b_p} \frac{\Delta f}{f_0}$$

b_p è visto come rapporto di variazioni relative

ossia $b_p = - \frac{\Delta f / f_0}{\Delta P_m / P_n}$

Quindi con: $f_0 = 50 \text{ Hz}$
 $\Delta f = -1 \text{ Hz}$ ($\frac{\Delta f}{f_0} = -0,02$)
 $b_p = 0,05$

(ciò è dovuto ai valori dei guadagni degli anelli)

$$\Rightarrow \Delta P_m = \frac{20}{50} P_n = 0,4 P_n \quad \text{ossia} \quad \frac{\Delta P_m}{P_n} = - \frac{\Delta f / f_0}{b_p} = \frac{0,02}{0,05}$$

○ **Statismo transitorio:**

$$b_T = \frac{P_n}{f_0 E_T}$$

inoltre

$$\frac{b_T}{b_p} = \frac{E_p}{E_T} = \frac{1}{\alpha} \gg 1$$

Valori tipici $b_T \approx (3 \div 5) b_p$ $b_T \approx 0,15 \div 0,25$

Variazione a gradino degli ingressi

ΔP_L è visto come un disturbo.

$\Delta f_{rif} = 0$ \rightarrow non è quello di fornire f in uscita prossimo a qualunque valore fornito in ingresso come riferimento f
 $\Delta P_L \rightarrow$ Lo scopo dell'anello di controllo è quella di rispondere alle variazioni di carico!

○ Variazioni di carico a gradino ΔP_L ($\Delta f_{rif} = 0$)

Comportamento a regime $\Rightarrow \Delta P_m = \Delta P_e$

$$\Delta P_e = \Delta P_L + E_c \Delta f$$

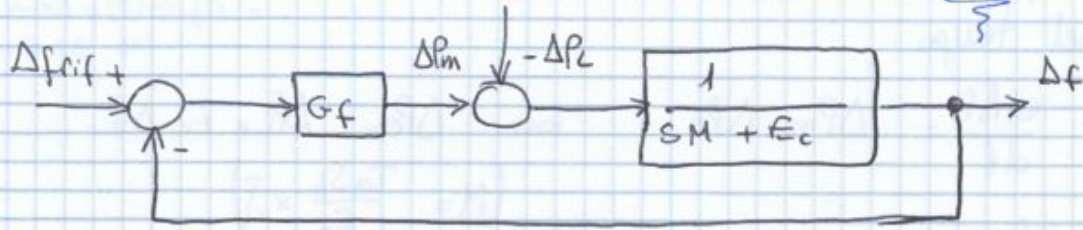
impedanza accesa \rightarrow ΔP_L \rightarrow variazioni assorbimento carico rotante.

$$\Delta P_m = E_p \left(\underbrace{\Delta f}_{\approx 0} / f - \Delta f \right) = - E_p \Delta f$$

espressa guardando l'anello a regime

$$\Rightarrow - E_p \Delta f = \Delta P_L + E_c \Delta f \rightarrow \text{da: } (\Delta P_m = \Delta P_L)$$

31/05/2013 lezione 26 riepilogo:



$$G_f = G_R G_V G_T = E_p \cdot \frac{1 + sT_z}{1 + sT_p}$$

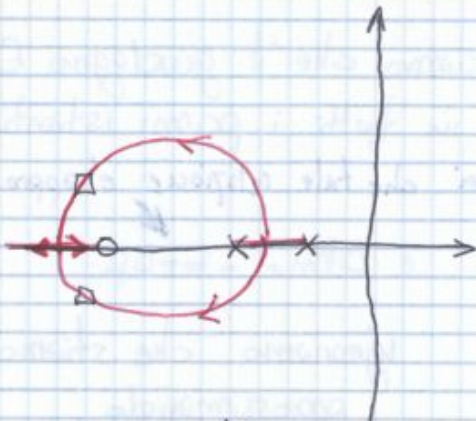
situazione: (studio $\frac{\Delta f}{\Delta P_L}$)

ΔP_L a gradino \Rightarrow regime ($t \rightarrow \infty$)
 $\Delta f_{rif} = 0$

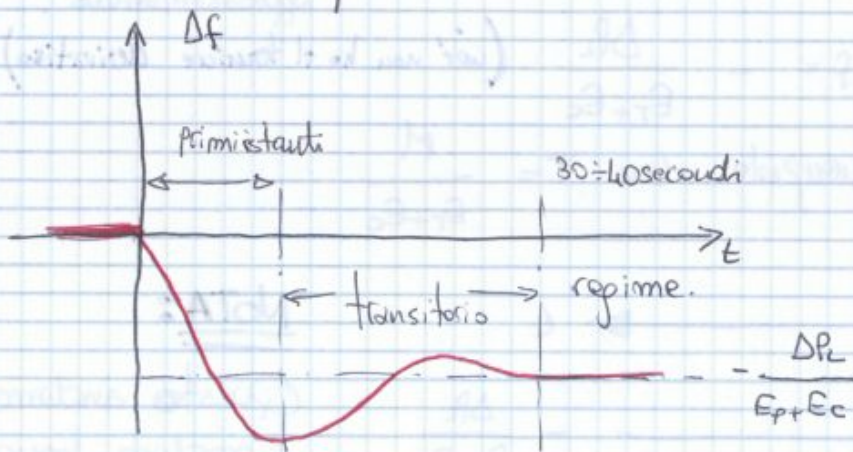
$$\Delta f = - \frac{\Delta P_L}{E_p + E_c}$$

$\Delta P_e = \Delta P_m = \frac{E_p}{E_p + E_c} \Delta P_L$
 $(= -E_p \cdot \Delta f)$

□: poli anello chiuso, non ben smorzati



$$\Delta f(t=0^+) = 0 \text{ ossia } \lim_{t \rightarrow \infty} \Delta f = 0$$



$\Delta P_L \geq 0$
 a gradino in $t=0$
 ho oscillazione molto
 ben smorzata.

Studio del transitorio di Δf .

$$t \rightarrow 0^+ \Leftrightarrow s \rightarrow \infty$$

$\lim_{s \rightarrow \infty} P_{in} G_f = E_p \frac{T_z}{T_p} = E_T$ energia regolante transitoria

$$(E_T < E_p; E_T = \alpha E_p; \alpha = \frac{T_z}{T_p} \ll 1)$$

α = quota di potenza prodotta dal corpo a pressione

(100)

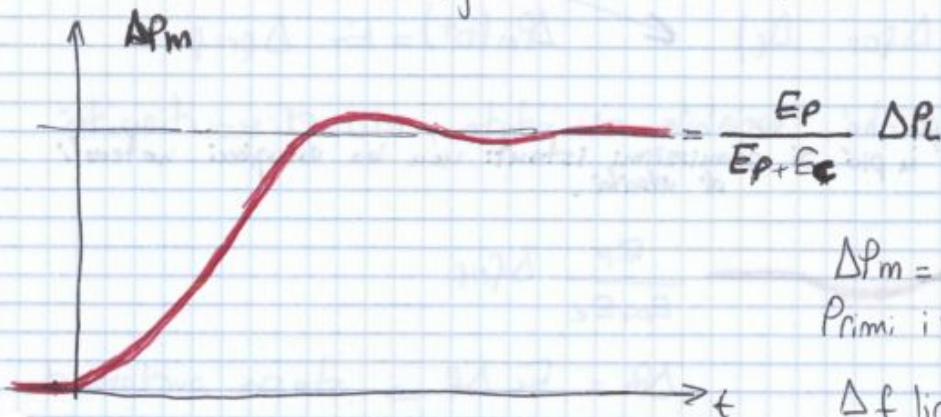
$$\left(\frac{d\Delta f}{dt}\right)_{0^+} = \frac{\Delta P_m(0^+) - \Delta P_e(0^+)}{M} = -\frac{\Delta R}{M}$$

inizialmente la frequenza decresce (se $\Delta P_L > 0$) linearmente con derivata $-\frac{\Delta R}{M}$. Scendendo la frequenza, si crea un errore in ingresso al regolatore, che comanda un aumento dell'apertura delle valvole. La turbina AP reagisce immediatamente, pertanto la frequenza continua a decrescere "meno" che linearmente per via della turbina AP che cerca di correggere l'errore.

$$\frac{d\Delta f}{dt} = \frac{\Delta P_m - \Delta P_e}{M} \approx \frac{-E_T \Delta f - \Delta R - E_C \Delta f}{M}$$

il valore assoluto della derivata diminuisce.

Dopo i primi istanti entra in gioco la turbina RP, per cui il modello cambia, ossia abbiamo l'oscillazione che porta al valore di regime in ~~circa~~ circa 30-40 secondi.

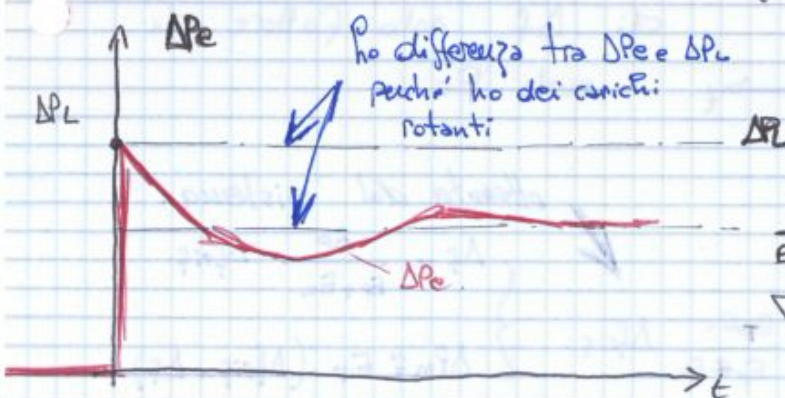


Interviene la chiusura del riscaldatore.

$$\Delta P_m = -E_T \Delta f$$

Primi istanti:

Δf lineare $\Rightarrow \Delta P_m$ lineare.



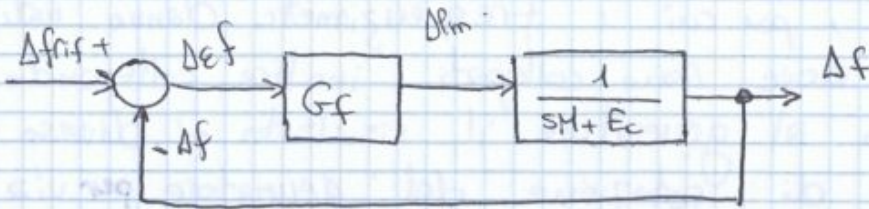
ho differenza tra ΔP_e e ΔP_L perché ho dei carichi rotanti

differenza dovuta all'assorbimento del carico rotante.

NOTA: nel nostro caso $\Delta f < 0$, $\Delta R > 0$, per cui $E_C \Delta f < 0$, vale comunque che:
 $\Delta P_e = \Delta R + E_C \Delta f$

$$\Delta P_e(0^+) = \Delta P_L \quad \Delta P_e = \Delta R + E_C \Delta f$$

$$\text{se } E_C = 0 \text{ (No carico rotante)} \Rightarrow \Delta P_e = \Delta R$$



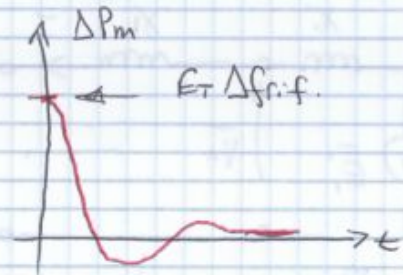
$$M \frac{d\Delta f}{dt} = \Delta P_m - \Delta P_e$$

" " $\leftarrow E_r \Delta f_{rif} > 0$

con ΔP_e nullo, ΔP_m e' positivo
 \rightarrow cioè il termine Δf varia \rightarrow quindi
 aumenta la potenza assorbita dal
 carico rotante.

OSS: a regime troviamo $\Delta f \neq \Delta f_{rif}$. errore permanente
 $\Delta P_m = \Delta P_e \neq 0$

a regime:
 $E_c = 0$ (No carico rotante)
 $\Delta f = \Delta f_{rif}$. errore nullo.
 $\Delta P_m = \Delta P_e = 0$

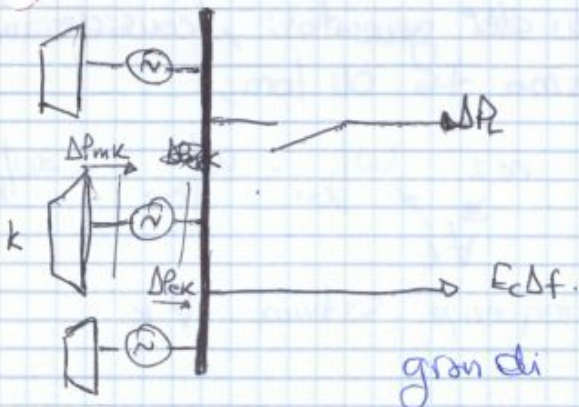


a regime ho $\Delta P_m = \frac{E_r E_c \Delta f_{rif}}{E_p + E_c}$

fine generatori in isolato.
 Semplice per le ipotesi fatte:
 • regolatore proporzionale
 • T_v trascurabile $\ll T_e$.

► Sistemi a più generatori in parallelo:
 \rightarrow Regolazione primaria della frequenza: perché utilizza lo stesso anello di prima (sistema con N generatori.)

Rete, carico: stessi modelli precedenti



$$\Delta P_e = \Delta P_c + E_c \Delta f. \quad (1:00:00)$$

Quando ci sono molti generatori, non tutti lavorano con l'anello di velocità attivo ma solo con un regolatore di velocità. Noi consideriamo: N

grandi generatori, di cui n con regolatore di velocità attivo. Per comodità, scegliamo i primi n, ossia $k=1, \dots, n$. Gli altri, $N-n$ operano a potenza meccanica costante, $k=n+1, \dots, N$

Problema in transitorio: vari generatori possono ruotare.

grazie alla nostra ipotesi precedente.

$$G_{fk} = E_{pk} \cdot \frac{1+sT_{zk}}{1+sT_{pk}} \quad E_{Tk} = E_{pk} \cdot \frac{T_{zk}}{T_{pk}}$$

$$G_f = G_R \cdot G_V \cdot G_T$$

- turbina a vapore?

zero e polo:
 T_z e T_p dovuti a G_T
 $G_R = k_R$ (proporzionale).

- turbine a gas }
 - turbine idrauliche }

$G_T \approx k_T$ poiché molto veloci
 e rispondere.

polo e zero invece sono introdotti da T_z e T_p dovuti a G_R .

Questo poiché tutti i tipi di turbine devono avere G_f simile, hanno sempre zero e polo ma dovuti o alle turbine (se a vapore) o al regolatore (gas / idrauliche).

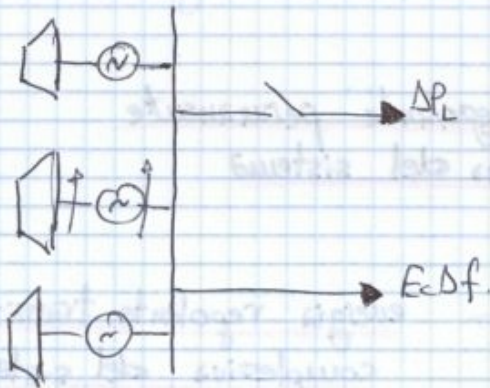


$G_f(s)$ con zero e polo quindi rappresenta il modello dinamico di qualunque Motore Primo

04/06/2013 lezione df

N generatori, di cui $* n \leq N$ partecipano alla regolazione primaria, ossia hanno regolatore di velocità attivo.

* $N-n$ potenza costante ($\Delta P_{mk} = 0$)



$$\Delta P_e = \Delta P_L + E_c \Delta f$$

$$\omega_k = \omega(t) = 2\pi f(t) \quad \forall k$$

Per gli n con regolatore di velocità

$$\Delta P_{mk} = G_{fk} (\Delta f_{kref} - \Delta f)$$

$$G_{fk} = E_{pk} \cdot \frac{1+sT_{zk}}{1+sT_{pk}}$$

► Modello Aggregato: (analogo al gen. isolato)
 sincronismo generatori \Rightarrow No f_k

$$M_k \left(\frac{d\Delta f}{dt} \right) = \Delta P_{mk} - \Delta P_{ek} \quad M_k = \frac{T_{pk} \cdot P_{wk}}{f_0}$$

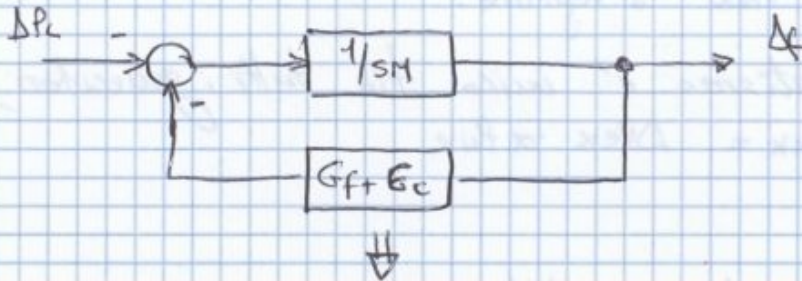
= cost
 con k

$$\left(\frac{d\Delta f}{dt} \right) \sum_{k=1}^n M_k = \sum_{k=1}^n \Delta P_{mk} - \sum_{k=1}^n \Delta P_{ek}$$

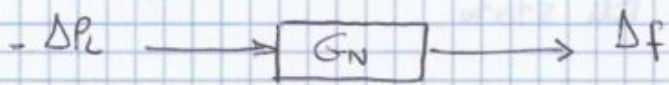
(103)

⚠ Per fare ciò abbiamo ipotizzato che $w_k(t)$ è uguale in tutti i generatori e che il riferimento di frequenza sia lo stesso. → due ipotesi fondamentali: (sincronismo + stesso riferim. $\Delta f_{rif,k}$)

Risposta a ΔP_L ($\Delta f_{k,rif} = \Delta f_{rif} = 0 \quad \forall k=1, \dots, n$)



$$G_N = - \left(\frac{\Delta f}{\Delta P_L} \right)_{\Delta f_{rif} = 0}$$



con $G_N = \frac{1}{SM + G_f + E_c}$
(f.d.t. a chiuso)

$$G_N(0) = \frac{1}{E_p + E_c} \quad (G_f(0) = E_p)$$

► Risposta a $\Delta P_L > 0$ a gradino

1] $s \rightarrow 0 \quad t \rightarrow \infty$ (a regime)

$$\Delta f = - \frac{\Delta P_L}{E_p + E_c}$$

$$E_p = \sum_{k=1}^n E_{pk}$$

$$\Delta P_m = -E_p \Delta f = \Delta P_L = \Delta P_L + E_c \Delta f$$

$$\Delta P_m = \Delta P_L \text{ (a regime)}$$

$$\Delta P_m = -E_p \Delta f = \frac{E_p}{E_p + E_c} \Delta P_L$$

Ripartizione a regime

$$\Delta P_{mk} = \Delta P_{ek} = 0 \quad k = n+1, \dots, N.$$

$$\Delta P_{mk} = \Delta P_{ek} = -E_{pk} \Delta f \quad k = 1, \dots, n$$

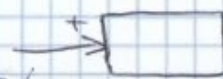
$$\Delta P_{mk} = \frac{E_{pk}}{E_p + E_c} \Delta P_L = \frac{E_{pk}}{E_p} \Delta P_m = \Delta P_{ek}$$

per cui $\Delta P_{mk} = \Delta P_{ek} \propto E_{pk}$ a regime

usando lo statismo permanente \Rightarrow

$$b_{pk} = \frac{P_{nk}}{E_{pk} f_0} \Rightarrow E_{pk} = \frac{P_{nk}}{b_{pk} f_0}$$

ipotesi $b_{pk} = b_p \quad \forall k \rightarrow$ se lo statismo è uguale per tutti, ha
 $\Delta P_{mk} \propto$ coppia \times rapporto costante: coppia.
 $\rightarrow \Delta P_{mk} \propto P_{nk} \frac{T_{zk}}{T_{pk}} \quad \text{se } \left. \begin{array}{l} T_{zk} = T_z \\ T_{pk} = T_p \end{array} \right\} \forall k$

$\rightarrow \Delta P_{mk} \propto P_{nk}$  ΔP_{mk}

$\Rightarrow \Delta P_{mk} \propto P_{nk} \quad \sum G_{fk} = G_f$ transitorio $\Rightarrow E_{Tk} \rightarrow E_{pk}$

$\Delta P_{mk} = - G_{fk} \Delta f$

il rapporto delle potenze mecc.

$\frac{\Delta P_{mk}}{\Delta P_m}$ coincide col rapporto dei due guadagni.

$\Delta P_m = - G_f \Delta f \Rightarrow \Delta P_{mk} = \frac{G_{fk}}{G_f} \Delta P_m$

ma se $\left. \begin{array}{l} T_{pk} = T_p \\ T_{zk} = T_z \end{array} \right\} \forall k = 1, \dots, n$

$G_f = \sum_{k=1}^n G_{fk} = E_p \frac{1+sT_z}{1+sT_p}$

Equivalenza completa col generatore in isola del sistema di generatori

~~Adesso~~ ~~da~~ ~~Ripartizione~~ ~~con~~ ~~il~~ ~~transitorio~~

$\frac{G_{fk}}{G_f} = \frac{E_{pk}}{E_p} \Rightarrow \Delta P_{mk}^{(s)} = \frac{E_{pk}}{E_p} \Delta P_m \Rightarrow$

se $E_{pk} < E_p$

vale se $\left. \begin{array}{l} T_{zk} = T_z \\ T_{pk} = T_p \end{array} \right\} \forall k$

$\Delta P_{mk} \propto E_{pk} \quad \forall$ istante del transitorio!

Inoltre, se $b_{pk} = b_p \quad \forall k$

$\Delta P_{mk} \propto P_{nk}$

$\Delta P_{ek} \propto P_{nk}$

Per questo motivo si introduce un ritardo sulle turbine idrauliche, per far sì che assomiglino alle turbine a vapore ed avere così una buona ripartizione primaria -

Se non fosse così le turbine idrauliche si farebbero carico di molta più potenza di quanto poi erogherebbero a regime.

(105)

$$\dots - \sum_{\substack{k=1 \\ k \neq i}}^n E_{pk} \Delta f$$

$$\Delta P_m = E_{pi} \Delta f_{rif} - \left[\sum_{k=1}^n E_{pk} \right] \Delta f$$

$= E_p$



$$\Rightarrow \Delta P_m = \Delta P_e = E_{pi} \Delta f_{rif} - E_p \Delta f = \Delta P_e + E_c \Delta f$$

$\Delta f = 0$ per ipotesi

$$\Rightarrow \Delta f = \frac{E_{pi}}{E_p + E_c} \Delta f_{rif} \quad \text{con } \Delta P_{mi} = E_{pi} (\Delta f_{rif} - \Delta f)$$

$$\Delta P_{mi} = \Delta P_{ei} = E_{pi} \frac{E_p + E_c - E_{pi}}{E_p + E_c} \Delta f_{rif}$$

$$\Delta P_{mk} = \Delta P_{ek} = - E_{pk} \frac{E_{pi}}{E_p + E_c} \Delta f_{rif} \quad k \neq i$$

se $E_{pi} \ll E_p$ (molti generatori)

$$\Rightarrow \Delta f \ll \Delta f_{rif}, \quad \Delta f \approx 0$$

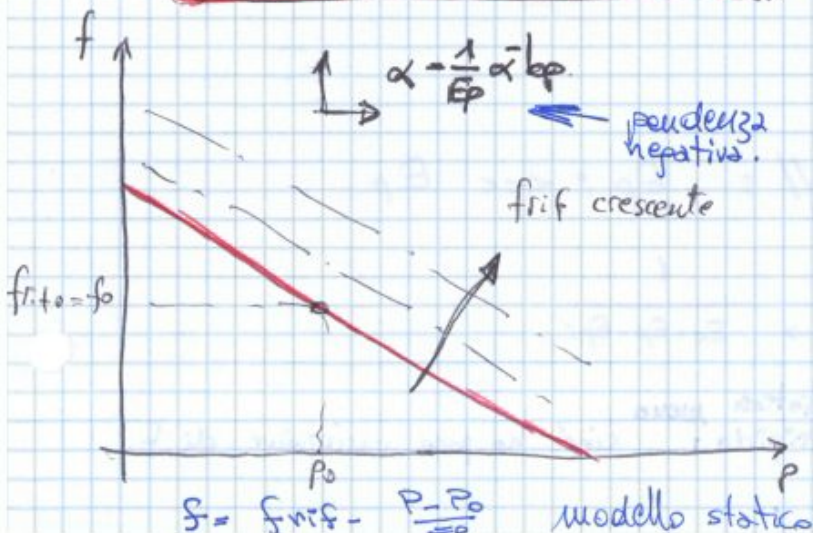
$$\Delta P_{mi} = \Delta P_{ei} \approx E_{pi} \Delta f_{rif}$$

$$\Delta P_{mk} \approx - \frac{E_{pk}}{E_p + E_c} \Delta P_{mi}; \quad |\Delta P_{mk}| \ll |\Delta P_{mi}|$$

Quindi la frequenza di rete non cambia, cambia ΔP_{mi} ; mentre gli altri generatori si ripartiscono la ΔP_m :

(con segno cambiato) in modo proporzionale alla loro E_p .

Caratteristica statica $\Rightarrow (f \div P)$



$$\Delta P = E_p (\Delta f_{rif} - \Delta f) = \Delta P_m = \Delta P_e$$

punto di funzionamento

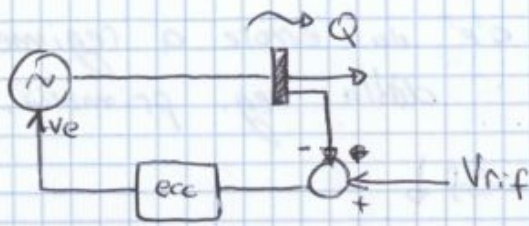
$$f_0 = f_{rif0} \quad P_0$$

Sostituisco le variazioni con

$$\Delta f_{rif} = f_{rif} - f_{rif0}$$

$$\Delta f = f - f_0; \quad \Delta P = P - P_0$$

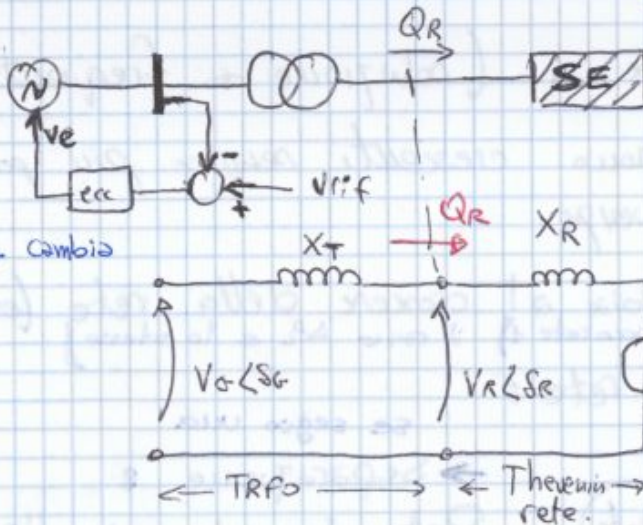
► Analogia con V/A .



nel funzionam. isolato:

il generatore decide V ,
mentre Q è decisa dal
carico - Analogamente nella
regolazione primaria β è
decisa dal carico mentre
il generatore decide f .

Generatore in // con SE:



se vario V_G cambia
la Q_R

siccome il regolatore di tensione ha
guadagno alto possiamo porre $E_V \approx 0$

$\bullet V_G = V_G - R_I A$
 $\bullet X_R = 0, V_R = E_R$

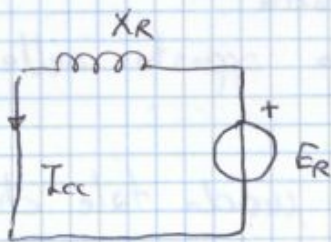
$\Delta V_{GRI} \neq 0 \rightarrow \Delta V_R$

$Q_R = \frac{V_R}{X_T} (V_G - V_R)$

cambia la Q_R

Se X_R è piccolo rispetto a X_T capita lo stesso

Quindi, per $X_R \ll X_T$



$I_{cc} = \frac{E_R}{X_R} = \frac{V_N}{\sqrt{3} X_R}$

$E_R = \frac{V_N}{\sqrt{3}} \quad (\rho = 1)$

$S_{cc} = \sqrt{3} V_N \cdot I_{cc} = \frac{V_N^2}{X_R} \Rightarrow$

dire che X_R è piccola \equiv avere S_{cc} grande.

$X_R = \frac{V_N^2}{S_{cc}}$

$X_T = \frac{V_{cc} \%}{100} \cdot \frac{V_N^2}{S_N}; \quad \frac{X_T}{X_R} \propto \frac{S_{cc}}{S_N} \gg 1.$

Regolazione secondaria della potenza

(la primaria era
reg. di frequenza)

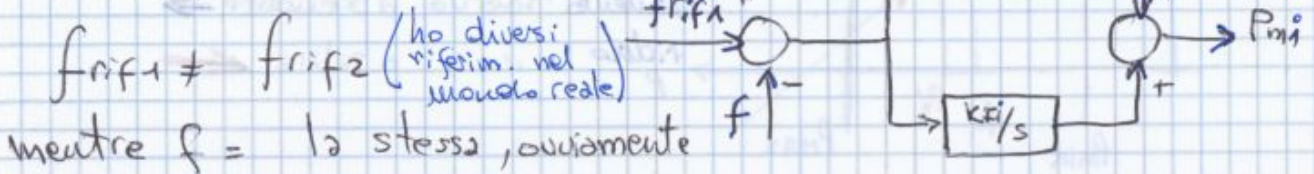
Perché esiste?

5/06/2013 lezione 28

per aumentare E_p si aumenta n ma non si tocca il bp \rightarrow
 \rightarrow Cerchiamo di capire perché non si abbassa bp?
 2 generatori (situazione con $n=2$ generatori)

$$G_f = K_p + \frac{K_I}{s} \text{ c'è un polo nell'origine.}$$

$$\lim_{s \rightarrow 0} G_f(s) = \infty = E_p$$



I riferimenti diversi non dovuti ad errori dei tachimetri e/o errori di impostazione o modellizzazione, quindi una situazione reale (idealmente $f_{rif1} = f_{rif2}$)

Ipotesi: $f_{rif1} = f$, $f_{rif2} > f_{rif1}$ allora:

$$f_{rif2} - f = f_{rif2} - f_{rif1} > 0 \Rightarrow P_m \uparrow \text{ fino a } P_{m2}^{max}$$

Ipotesi: $f = f_{rif2} > f_{rif1}$

$$f_{rif1} - f = f_{rif1} - f_{rif2} < 0 \Rightarrow P_m \downarrow \text{ fino a } P_{m1}^{min}$$

Quindi con il guadagno integrale ci sarà un regolatore che prevale sugli altri.

Pertanto la ripartizione sarà pressoché indeterminata.

Tornando al nostro problema:

$$\Delta P_m = E_p (\Delta f_{rif} - \Delta f)$$

$$\Delta P_m = E_p \Delta f_{rif} - E_p \Delta f$$

di differenza dovuta agli errori, il prodotto può essere significativo per E_p elevato

risposta alle differenze di velocità

\Rightarrow E_p non può essere troppo elevato.

(108)

(32:30) Stesso comportamento di G_f , ΔP_s e' ottenuto tramite azione sulla valvola!

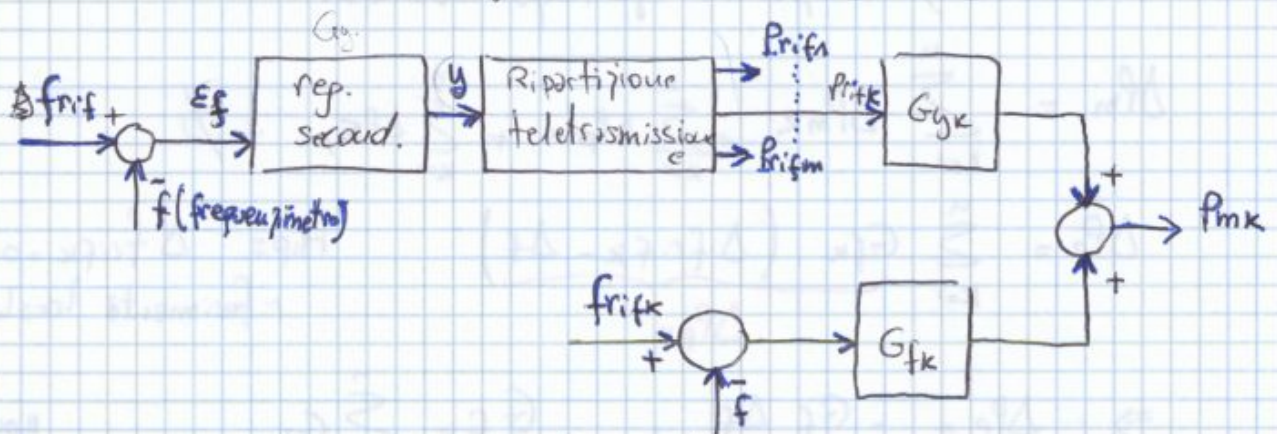
avremo quindi $\Delta P_m = \underbrace{\Delta P_p}_{\text{rep. primaria}} + \underbrace{\Delta P_s}_{\text{rep. secondaria}}$

Guadagno statico: $G_y(0) = 1$ a regime ho:

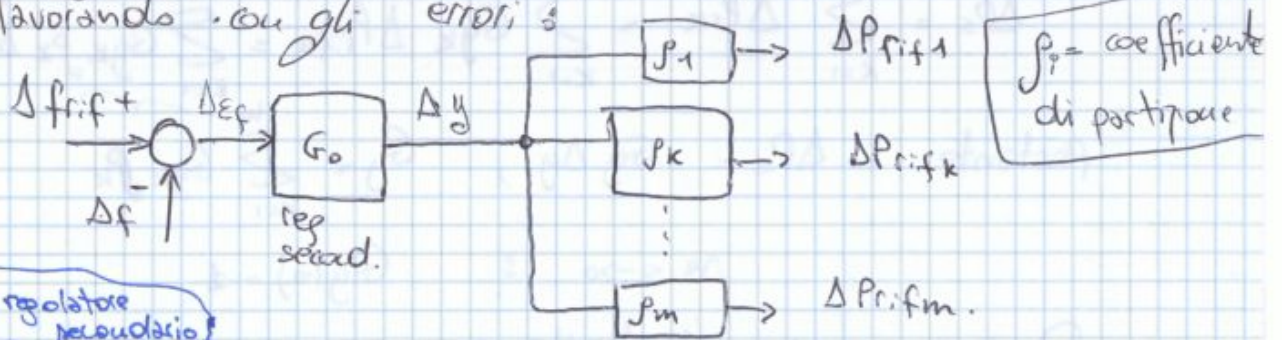
$$\Delta P_m = E_p (\Delta f_{rif} - \Delta f) + \Delta P_{rif}$$

$$= \underbrace{E_p \Delta f_{rif}}_{\substack{\Delta \text{ r.f. locale} \\ \text{velocità}}} + \underbrace{\Delta P_{rif}}_{\substack{\text{richiesta} \\ \text{regolazione} \\ \text{secondaria}}} - \underbrace{E_p \Delta f}_{\substack{\text{retroazione} \\ \text{velocità}}}$$

► Schema anello rep. secondaria: A rif. rep. record.



m generatori soggetti alla regolazione secondaria, lavorando con gli errori:

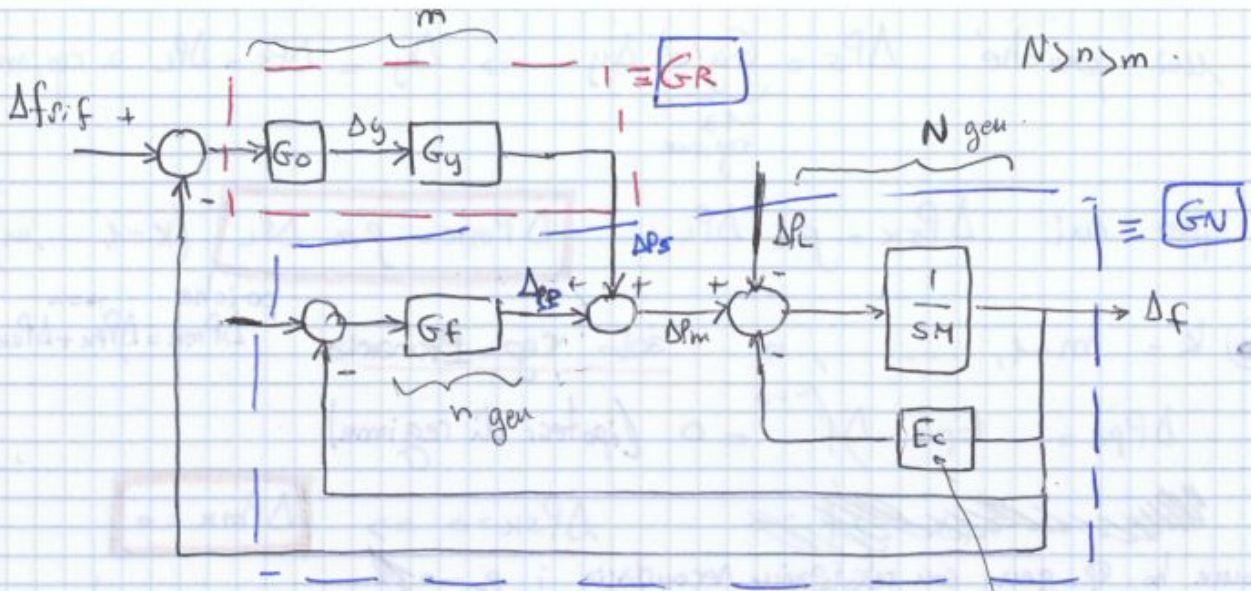


$G_0 = \text{fatt. regolatore secondario}$

$\Delta P_{rifk} = \beta_k \Delta y$ → valore di \bar{s} richiesta dal regol. second. (complessivamente)

$\beta_k \geq 0$; $\sum_{k=1}^m \beta_k = 1$. ovviamente ho →

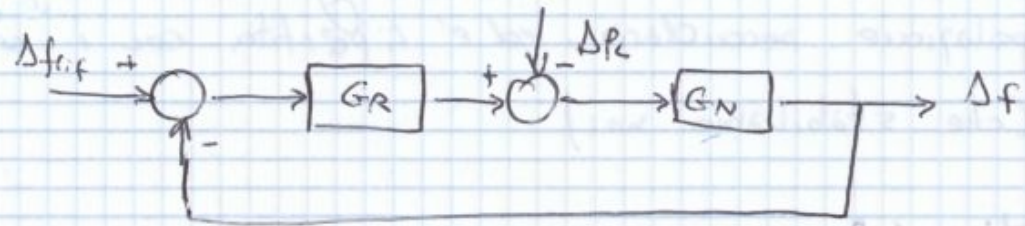
→ $G_0(s)$ → polo nell'origine. (No errore a regime)



$$G_R = G_0 \cdot G_y, \quad G_0 = \frac{k_0}{s}$$

$$G_N = \frac{1}{SM + G_f + E_c} = - \left(\frac{\Delta f}{\Delta P_L} \right) \Big|_{\Delta P_S = 0}$$

energia carico rotante ...
5.6-13 (3)



► Risposta a ΔP_L ($\Delta f_{rif} = 0$)

1] a regime $\Delta f_{rif} - \Delta f = 0$ ma $\Delta f_{rif} = 0$ ripetuti (a regime non tocca il riferimento di frequenza)
 ingresso rep. second.

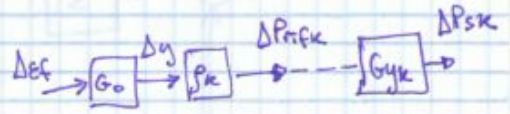
$\Rightarrow \Delta f = 0$ (e' lo scopo della regolazione secondaria)

$\Delta P_m = \Delta P_e = \Delta P_L + E_c / \Delta f$ ← scritta guardando verso il carico.

scritta guardando verso i generatori $\Delta P_m = \Delta P_e + \Delta P_s$ poiché $\Delta P_e = - E_p \Delta f = 0$ ←

$\Delta P_s = \Delta P_L = \Delta P_m = \Delta P_e$ a regime.

● $k = 1, \dots, m$ Per ogni singolo generatore rep **P+S**

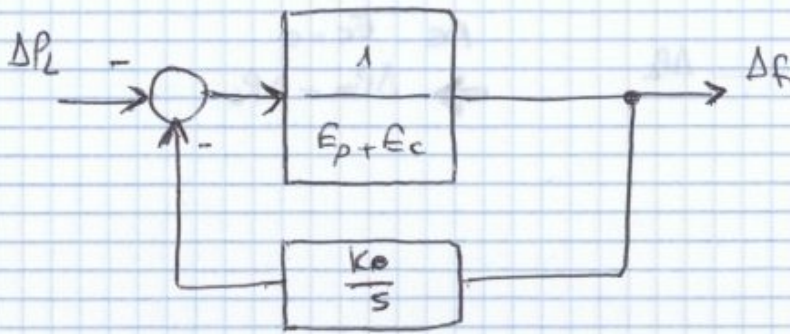


$\Delta P_{e,k} = - E_{p,k} \Delta f = 0$

$\Delta P_{s,k} = G_{y,k}(0) \cdot \Delta P_{rif,k} = G_{y,k}(0) \cdot \beta_k \Delta y$
 (regime)

siccome $\sum \beta_k = 1$. coefficiente di partizione. (110)

ΔP_L a gradino, $\Delta f_{rif} = 0$



$$\frac{\Delta f}{\Delta P_L} = - \frac{1}{E_p + E_c + \frac{k_0}{s}}$$

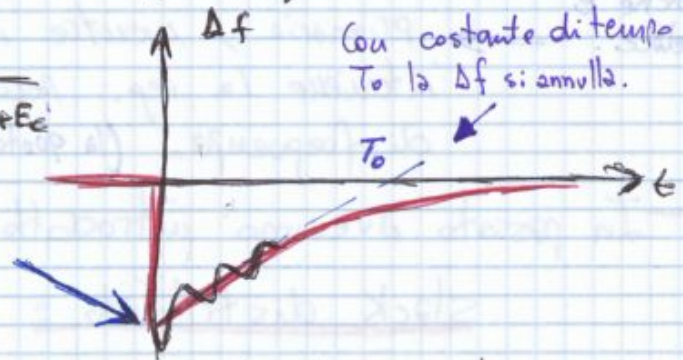
$$\frac{\Delta f}{\Delta P_L} = - \frac{s}{k_0 + s(E_p + E_c)}$$

zero in $s=0$
 polo in $T_0 = \frac{E_p + E_c}{k_0}$

Per disegnare gli andamenti bisogna occuparsi di quello che capita per $t \rightarrow \infty$ ($s \rightarrow \infty$)

$$\lim_{s \rightarrow \infty} \left(\frac{\Delta f}{\Delta P_L} \right) = - \frac{1}{E_p + E_c}$$

$$\Delta f(t \rightarrow \infty) = - \frac{\Delta P_L}{E_p + E_c}$$



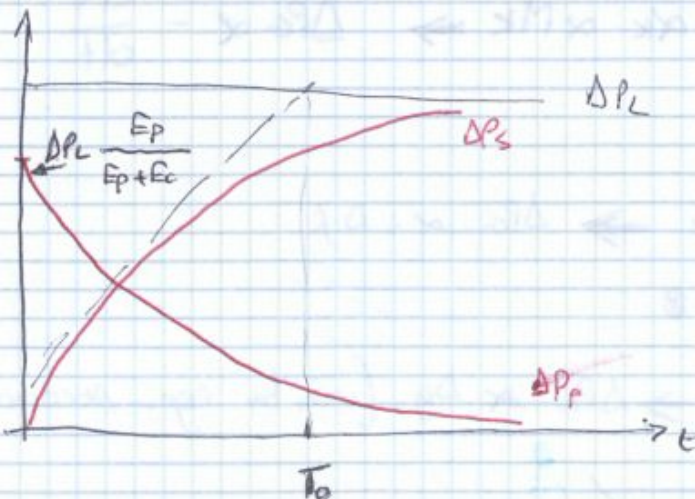
In realtà non abbiamo una discontinuità in $t=0$ ma un transitorio dovuto alla regolazione primaria

(oscillazioni: è effetto prim + sec in transitorio)

$$\Delta P_p = -E_p \Delta f \quad \Delta P_p(t \rightarrow \infty) = \Delta P_L \frac{E_p}{E_p + E_c}$$

$$\Delta P_s(t \rightarrow \infty) = 0$$

Sostituendo dentro con l'espressione di $\Delta f = - \frac{\Delta P_L}{E_p + E_c}$!!!



(111)

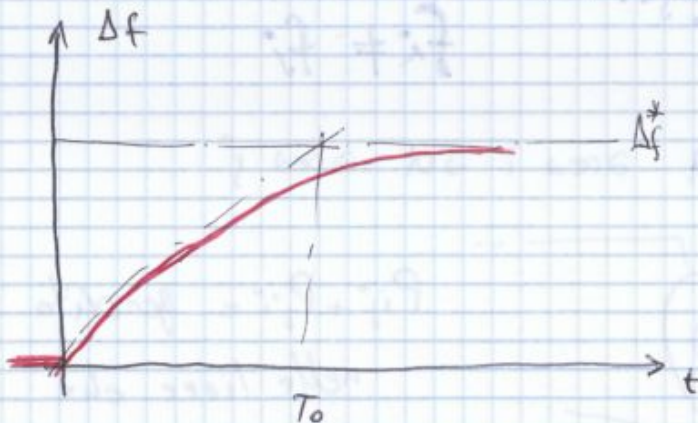
$$T_0 = \frac{E_p + E_c}{k_0}$$

Nota $\Rightarrow K_p = \frac{E_p + E_c}{T_0}$ determiniamo k_0
 $T_0 \approx 50 \div 100$ sec (valore tipico)

► Risposta a Δf_{rif} ($\Delta P_L = 0$) Considero le variazioni di f di riferimento.

$\Delta f = \Delta f_{rif} \Rightarrow$ errore nullo a regime (guadagno statico unitario)

$$\Delta f(s) = 0 \quad \frac{\Delta f}{\Delta f_{rif}} = \frac{1}{1 + (E_p + E_c) \frac{s}{k_0}} = \frac{1}{1 + sT_0}$$



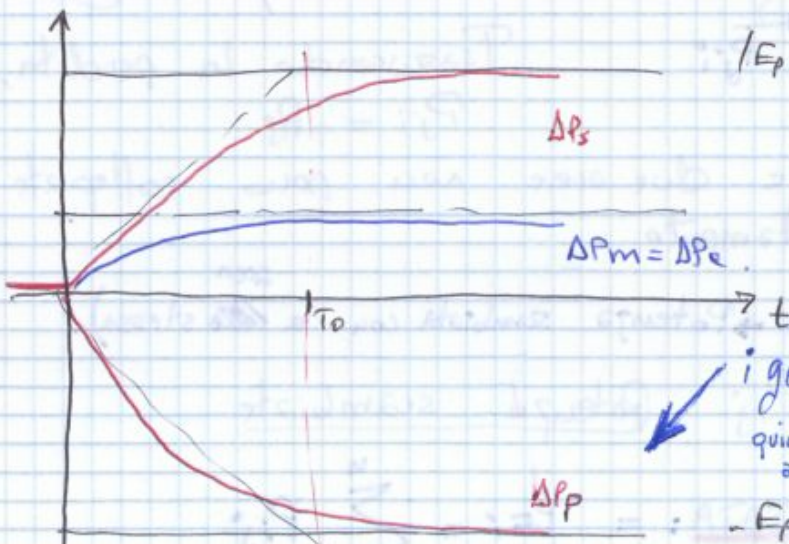
$$\Delta P_p = -E_p \Delta f$$

$$\Delta P_m = \Delta P_s + \Delta P_p = \Delta P_e$$

$$= \Delta P_L + E_c \Delta f$$

$\hookrightarrow 0$ (per ipotesi)

$$\Delta P_s = (E_p + E_c) \Delta f$$

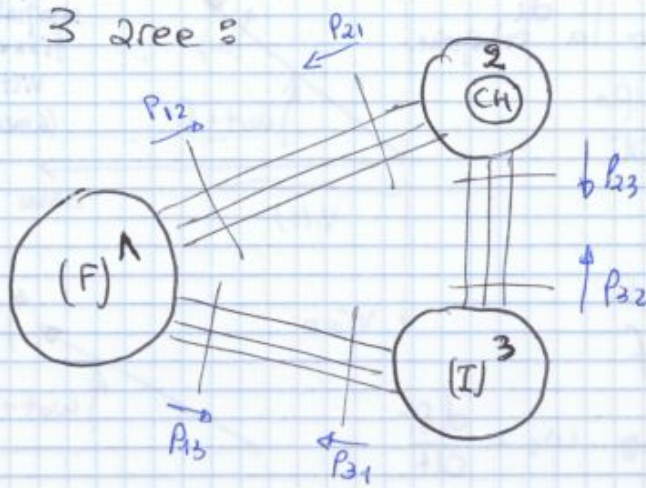


i gen. soggetti a regol. secondaria cessano di partecipare di conseguenza

i gen. che partecipano alla reg. primaria vedono la f aumentare quindi tendono a contrastare tale aumento riducendo la propria potenza

conclusione:

vedo una ΔP_m costante fine Regolazione Secondaria!

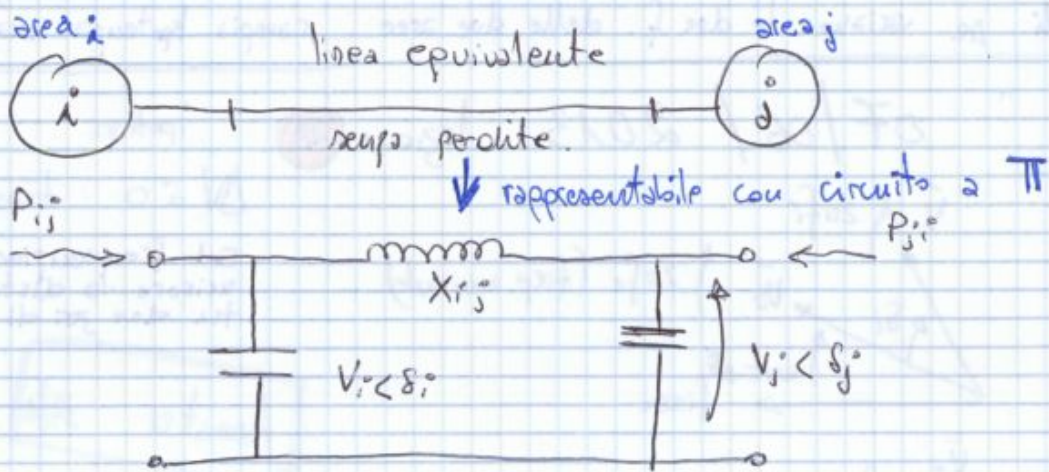


$$P_{E1} = P_{12} + P_{13} ; P_{E2} = P_{21} + P_{23} ; P_{E3} = P_{31} + P_{32}.$$

$$P_{E1} + P_{E2} + P_{E3} = \underbrace{(P_{12} + P_{21})}_{\text{perdite 1-2}} + \underbrace{(P_{13} + P_{31})}_{\text{perdite 1-3}} + \underbrace{(P_{23} + P_{32})}_{\text{perdite 2-3}}$$

$$P_{E1} + P_{E2} + P_{E3} = 0 \quad \text{perdite trasmissibili.}$$

► Modello dinamico delle interconnessioni:



$$P_{ij} = -P_{ji} = \frac{V_i V_j}{X_{ij}} \sin(\delta_i - \delta_j) \quad \text{Solita sinusoidale.}$$

La formula continua a valere anche in dinamica poiché i fenomeni dinamici sono lenti rispetto ai 50 Hz della sinusoidale.

Cosa conta la frequenza:

$$v_i(t) = \sqrt{2} V_i \cos(\omega t + \delta_i)$$

↓
lo chiariremo: ca.

$$f_i = f_0 + \frac{1}{2\pi} \frac{d\delta_j}{dt}$$

$$\Delta f_j = \frac{1}{2\pi} \frac{d\delta_j}{dt}$$

influenza sulla potenza attiva?
 P_{ij} deve essere costante nel tempo

$$P_{ij} = \frac{V_i V_j}{X_{ij}} \sin(\delta_i - \delta_j)$$

variazione di V_i, V_j trascurabili (costanti nel tempo)

$$0 = \frac{dP_{ij}}{dt} = \frac{V_i V_j}{X_{ij}} \cos(\delta_i - \delta_j) \left(\frac{d\delta_i}{dt} - \frac{d\delta_j}{dt} \right)$$

ostituendo:

$$\frac{dP_{ij}}{dt} = 2\pi \frac{V_i V_j}{X_{ij}} \cos(\delta_i - \delta_j) (f_i - f_j)$$

$$\frac{dP_{ij}}{dt} = 0 \text{ (a regime)} \iff \boxed{f_i = f_j}$$

stessa f nelle due aree interconnesse.
 aree devono essere isofrequenziali (aree isofrequenze)

Sistema di n aree \rightarrow n repol. secondari con polo nell'origine.

a regime $f_i = f_j = f$

$$P_{ei} = \sum_{j=1}^n P_{ij}, \text{ trascurando le perdite } \sum_{i=1}^n P_{ei} = 0$$

quindi solo $n-1$ P_{ei} sono indipendenti, le n -esima è tale che la somma sia $= 0$.

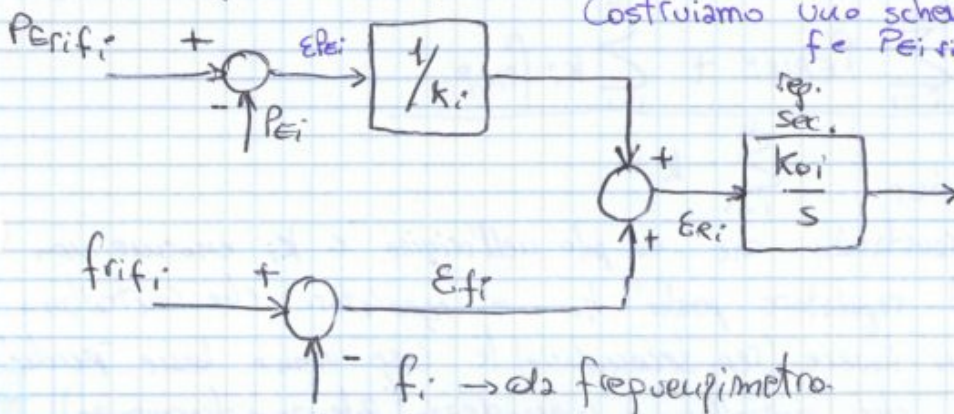
Variabili d'interesse:

$$1 \rightarrow f$$

$$n-1 \rightarrow P_{ei} \text{ (indipendenti)}$$

$n \rightarrow$ Possiamo usare repol. secondari per decidere f e le $n-1$ P_{ei} , come?

Costruiamo uno schema dipendente da f e P_{ei} .



$$[k_i] = \frac{MW}{Hz} \text{ (energia)}$$

Introduciamo questo peso per convertire.

(14)

Se $f_{rif} = f_{rif} \quad \forall i$ (come è ovvio che sia) ^{3! riferimento}
 se $\sum_{i=1}^n P_{ERi} f_{rif} = 0$ (come di consueto è)

$$\Rightarrow f = \frac{f_{rif} \sum_{i=1}^n k_i}{\sum_{i=1}^n k_i} \rightarrow \boxed{f = f_{rif}} \text{ e' quella che volevamo!}$$

Potenza? (a regime)

$$ACE_i = P_{ERi} f_{rif} - P_{Ei} + K_i (f_{rif} - f) = 0$$

$$\Rightarrow \boxed{P_{Ei} = P_{ERi} f_{rif}} \quad \forall i$$

In questo modo abbiamo quindi errore nullo su frequenza e potenza. (semplicemente utilizzando un regolatore secondario...)

Ragionamento:

$$P_{ERi} f_{rif} = \underbrace{P_{ERi} f_{rif}}_{ideale} + \underbrace{\Delta P_{ERi} f_{rif}}_{errori} \quad \sum_{i=1}^n P_{ERi} f_{rif} = 0$$

riferimento non ideale

$$f_{rif} = f_{rif} + \underbrace{\Delta f_{rif}}_{errori} \quad \text{sostituisci in } f = \frac{\sum_{i=1}^n P_{ERi} f_{rif}}{\sum_{i=1}^n k_i}$$



$$f = \frac{\sum \Delta P_{ERi} f_{rif} + f_{rif} \sum k_i + \sum k_i \Delta f_{rif}}{\sum k_i}$$

$$\Rightarrow f = f_{rif} + \frac{\sum \Delta P_{ERi} f_{rif} + \sum k_i \Delta f_{rif}}{\sum k_i}$$

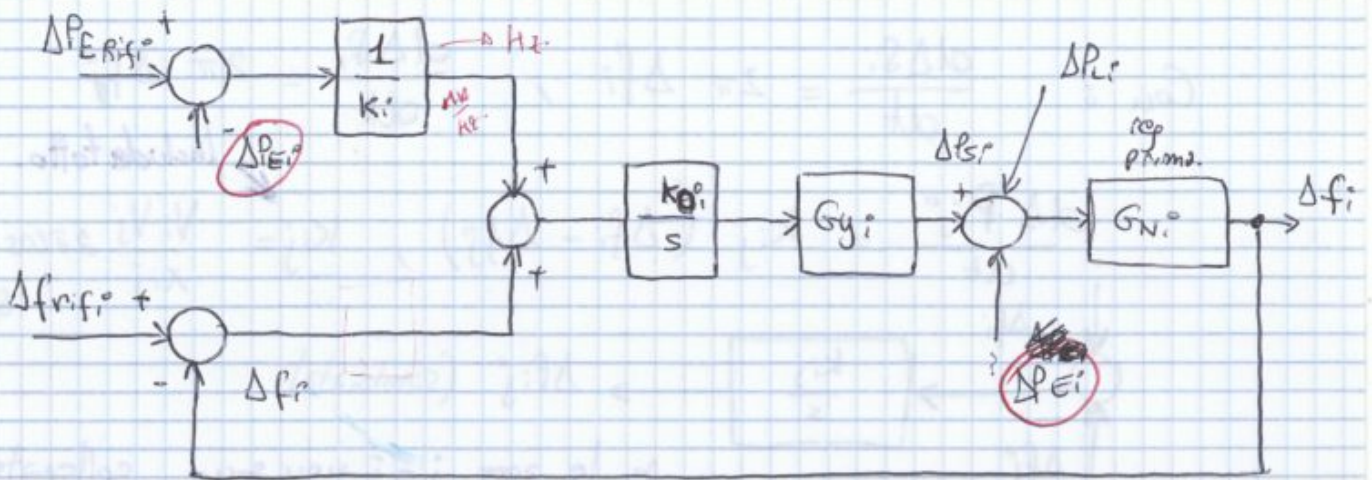
→ e' piccola se gli errori sono contenuti.

$$ACE_i = \underbrace{P'_{ERi} f_{rif}}_{\neq 0} - P_{Ei} + K_i (f_{rif} - f) = 0 \quad (\text{polo origine})$$

"compensa" il fatto che $\cdot k_i (f_{rif} - f) \neq 0$, la loro somma è nulla \Rightarrow ok.

Errore nullo se gli errori di misura sono piccoli.

Modello dell'area i (linearizzato alle variazioni)

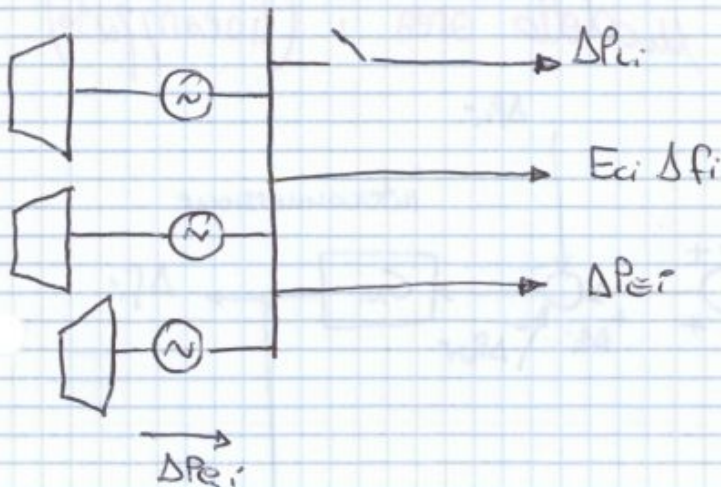


$$\Delta P_{mi} = \Delta P_{pi} + \Delta P_{si}$$

$$\Delta P_{pi} = -G_{fi} \Delta f_i$$

⚠ Attenzione: il pedice i ora si riferisce a l'intera area considerata.

Vedi pag successiva per spiegazioni, schema e blocchi



$$\Delta P_{ci} = \Delta P_{ci} + E_{ci} \Delta f_i + \Delta P_{ci}$$

contributo esportazione

Potenza esportata, come la rappresentiamo?

$$P_{ci} = \sum_{j=1}^4 P_{ij}$$

$$\Delta P_{ci} = \sum_{j=1}^4 \Delta P_{ij}$$

$$P_{ij} = \frac{V_i V_j}{X_{ij}} \sin(\delta_i - \delta_j)$$

$$\left(\frac{\partial P_{ij}}{\partial \delta_i} \right)_0 = - \left(- \frac{\partial P_{ij}}{\partial \delta_j} \right)_0$$

$$\Delta P_{ij} = \frac{V_i V_j}{X_{ij}} \cos(\delta_{i0} - \delta_{j0}) (\Delta \delta_i - \Delta \delta_j)$$

per le aree potenza e frequenza derivate (MS)

11/06/2013 lezione 30

$$G_{Ni} = \frac{1}{SM_i + G_{fi} + E_{ci}} \quad G_{fi} = E_{pi} \frac{1 + sT_{zi}}{1 + sT_{pi}}$$

← rappresenta tutti i fenomeni che riguardano la rep. primaria.

$$G_{Ri} = G_{oi} \cdot G_{yi} \quad G_{yi} = \frac{1 + sT_{zi}}{1 + sT_{pi}}$$

← se l'area i è isolata, idealmente abbiamo considerato un rep. puramente Integrato.

$$G_{pi} = \frac{1}{K_i} G_{Ri} \quad G_{oi} = \frac{K_{oi}}{s}$$

► Risposta a ΔP_{Li} (come si comporta l'area i) / variare del carico

$$\begin{aligned} \Delta f_{rifi} &= 0 & \Delta P_{erifi} &= 0 & \forall i \\ \bullet \text{ a regime} & \begin{cases} \Delta f_i = \Delta f = 0 & \forall i \\ \Delta P_{ei} = 0 \end{cases} \end{aligned}$$

$$\Delta P_{mi} = \Delta P_{pi} + \Delta P_{si} = (\text{a regime}) = \Delta P_{Li} + E_{ci} \Delta f_i + \Delta P_{ei}$$

$$\Delta P_{mi} = \Delta P_{ei} = \Delta P_{Li}$$

$$\Delta P_{pi} = -E_{pi} - \Delta f_i = 0$$

$\Rightarrow \Delta P_{si} = \Delta P_{Li}$ si ripartisce tra i generatori che partecipano alla rep. secondaria in base ai

(estensione a regime e in transizione) ogni area è autonoma

coefficienti p . (come se ciascuna area fosse isolata; provveda alla propria regolazione)

◦ Criterio di autonomia transitoria è

di non intervento della regolazione secondaria.

$$\Delta P_{si} = -G_{Ri} \Delta f_i - G_{pi} \Delta P_{ei}$$

$$\Delta f_i = G_{Ni} (\Delta P_{si} - \Delta P_{Li} - \Delta P_{ei})$$

area ha $\Delta f_{rifi} = 0$; $\Delta P_{erifi} = 0$.

sostituendo:

$$\Delta P_{si} = -G_{Ri} G_{Ni} (\Delta P_{si} - \Delta P_{Li} - \Delta P_{ei}) - G_{pi} \Delta P_{ei}$$

Inizialmente $\Delta P_{Li} = - \frac{dW_{mi}}{dt}$ solo area i

$$\Delta f_i < 0, \Delta f_j = 0 \quad \forall j \neq i$$

$\Rightarrow \frac{dP_{ij}}{dt} < 0$ potenza da area i verso area j diminuisce
ossia aumento P_{ji}

L'abbassamento della frequenza nell'area i richiama potenza dalle altre aree.

$\downarrow \Delta f_i$ Δf_0 : interviene ^{per primo} la rep. primaria (carico rotante)

$$\begin{aligned} (*) \text{ ACE}_i &= -\Delta P_{Ei} - k_i \Delta f_i \\ \text{ACE}_j &= -\Delta P_{Ej} - k_j \Delta f_j \end{aligned} \quad \left. \begin{array}{l} \text{dipendesse da } \Delta P_{Ei} \text{ e } \Delta f_i \\ \text{(formula in pag 144)} \end{array} \right\}$$

$$(*) \Delta P_{mi} = \Delta P_{Li} + \Delta P_{Si} = \frac{dW_{mi}}{dt} + \Delta P_{Ei} = \frac{dW_{mi}}{dt} + \Delta P_{Li} + E_{ci} \Delta f_i + \Delta P_{Ei}$$

Potenza elettrica

$$\Delta P_{mj} = \frac{dW_{mj}}{dt} + E_{cj} \Delta f_j + \Delta P_{Ej}$$

nell'area j non abbiamo ΔP_{ji}

Trascuriamo la dinamica veloce della regolazione primaria, ossia:

$$\left\{ \begin{array}{l} \Delta f_i = \Delta f_j = \Delta f \\ \frac{dW_{mi}}{dt} = 0 \quad \forall i \quad (\text{a regime}) \\ \Delta P_{Li} = -E_{pi} \Delta f \end{array} \right.$$

sono tutte condizioni a regime
dovute ~~alla~~ alla rep. primaria.

Andiamo a sostituire nelle formule ricavate prima: (*)
e ricavo ΔP_{Si} ho

ricavo ΔP_{Ei} e ΔP_{Ej} e le sostituisco in ACE_i

$$\left\{ \begin{array}{l} \Delta P_{Si} = \Delta P_{Li} + (E_{pi} + E_{ci}) \Delta f + \Delta P_{Ei} \\ \Delta P_{Sj} = (E_{pj} + E_{cj}) \Delta f + \Delta P_{Ej} \end{array} \right.$$

$$\text{ACE}_i = \Delta P_{Li} + (E_{pi} + E_{ci}) \Delta f - \Delta P_{Si} - k_i \Delta f$$

$$\text{ACE}_j = (E_{pj} + E_{cj}) \Delta f - \Delta P_{Sj} - k_j \Delta f$$

Autonomia
trasferita
MT

Per avere stesso G_{pi} basta avere stesso rapporto

$$\frac{G_{oi}}{k_i} \text{ con } G_{oi} = \frac{K_{oi}}{S} \leftarrow \text{Coordinamento e NON-interazione tra le diverse aree.}$$

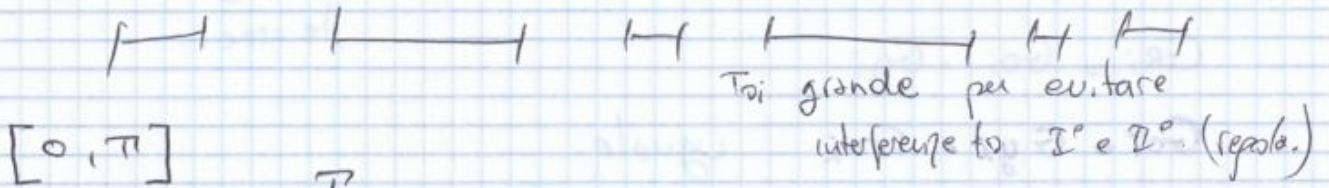
T_{oi} : cost. di tempo repol. secondaria area i

$$T_{oi} = \frac{E_{pi} + E_{ci}}{K_{oi}} = \frac{1}{S}$$

$$\frac{K_{oi}}{k_i} = \frac{E_{pi} + E_{ci}}{k_i} \frac{1}{T_{oi}} \text{ uguale per tutte le aree}$$

in \forall area e' realizzata la cond. di autonomia transitoria $\Rightarrow K_p = E_{pi} + E_{ci}$ (116-2 pag)

$$\Rightarrow \frac{K_{oi}}{k_i} = \frac{1}{T_{oi}} \text{ basta avere } T_{oi} \text{ uguale in tutte le aree}$$



$$\sum E_{ci} = \int_0^T (P_{erifi} - P_{ei}) dt \text{ errore sulle energie esportate.}$$

Compensazione delle perdite

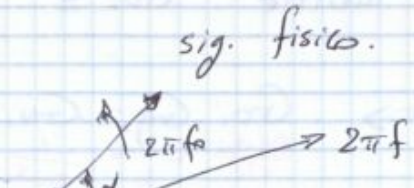
► Risposta a Δf_{risi}

errore di fase $[0, T]$

Normalmente e' modesto

$$\alpha = 2\pi \int_0^T (f_0 - f) dt$$

f_0 nominale



in tempi modesti gli errori non sono significativi

$$\left. \begin{aligned} \Delta P_{Li} &= 0 \\ \Delta P_{erifi} &= 0 \\ \Delta f_{risi} &= \Delta f_{risi} \end{aligned} \right\} \bullet V_i$$

coordinamento tra le diverse aree!

3) non-interazione fra regolazione f e P
 $G_{Ri} \circ G_{Ni} = \text{uguali}$

OSS:

1) e' una condizione locale (sviluppo tra aree)

2) e 3) sono condizioni globali

ne 1) e' soddisfatta in ogni area, allora

la 2) e la 3) sono equivalenti tra di loro

Condizioni appross:

1) $k_i = E_{pi} + E_{ci} \approx E_{pi}$;

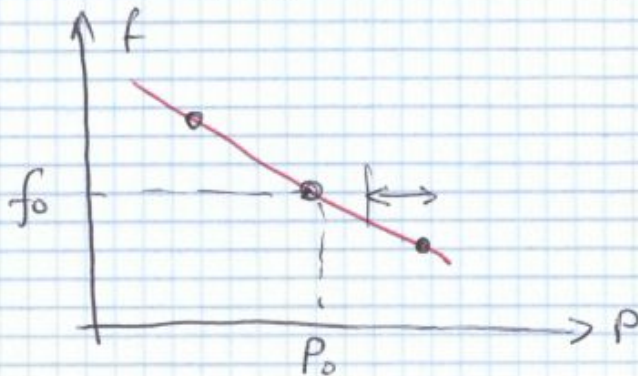
2) $\frac{E_{pi} + E_{ci}}{k_i} \approx \frac{1}{T_{oi}}$ uguali;

3) T_{oi} uguali;

Regolazione terziaria f/p. (ceppo)

→ attuata manualmente dagli operatori

Motivo: ripristino della "banda" di riserva di potenza tramite richiesta di modifica dei programmi di regolazione dei generatori



Più in generale si chiama rep. terziaria tutto ciò che viene deciso in tempo reale dall'operatore

Es: sicurezza n-1.

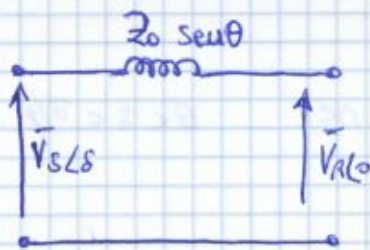
Esame 28/06/2012. AA. '11/12

1) Si considera una linea di trasmissione senza perdite con estremi tensioni agli estremi uguali in modulo:

1.1 Ricavare le espressioni delle potenze reattive agli estremi in funzione delle tensioni agli estremi?

$$\bar{V}_s = \cos\theta \bar{V}_r + j Z_0 \sin\theta \bar{I}_r$$

$$\bar{I}_r = \frac{\bar{V}_s - \cos\theta \bar{V}_r}{j Z_0 \sin\theta}$$



$$S_R = P_R + jQ_R = V_R \cdot \bar{I}_r^*$$

$$= V_R \cdot \frac{V_s \angle -\theta - \cos\theta V_R}{-j Z_0 \sin\theta} =$$

$$j V_R \frac{V_s (\cos\theta - j \sin\theta) - V_R \cos\theta}{Z_0 \sin\theta} = \frac{V_s V_R}{Z_0 \sin\theta} + j \underbrace{V_R \frac{V_s \cos\theta - V_R \cos\theta}{Z_0 \sin\theta}}_{Q_R}$$

$$Q_R = \frac{V_R (V_s \cos\theta - V_R \cos\theta)}{Z_0 \sin\theta}$$

$$Q_s = -Q_R \text{ (con } R, s \text{ scambiati)}$$

$$Q_s = - \frac{V_s (V_R \cos\theta + V_s \cos\theta)}{Z_0 \sin\theta} = - \frac{V_s}{Z_0 \sin\theta} (V_s \cos\theta + V_R \cos\theta)$$

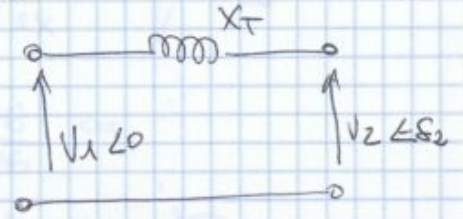
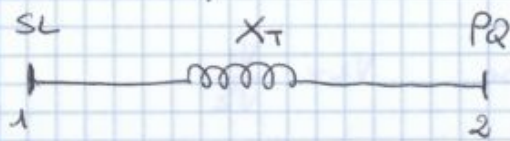
1.2 illustrare il comportamento della potenza reattiva agli estremi in funzione delle tensioni agli estremi? (in funzione della distanza)?

caso particolare $V = V_s = V_r$ in modulo:

$$Q_R = \frac{V^2}{Z_0 \sin\theta} (\cos\theta - \cos\theta)$$

$$Q_s = \frac{V^2}{Z_0 \sin\theta} (\cos\theta - \cos\theta)$$

2) Si consideri un sistema con 2 nodi, slack e PQ con $Q=0$, collegati da una linea rappresentabile con una reattanza.



2.1) Ricavare la caratteristica V-P?

$$\begin{cases} P = \frac{V_1 V_2}{X_T} \sin(\delta_2) \\ Q = \frac{V_2}{X_T} (V_1 \cos \delta - V_2) \end{cases}$$

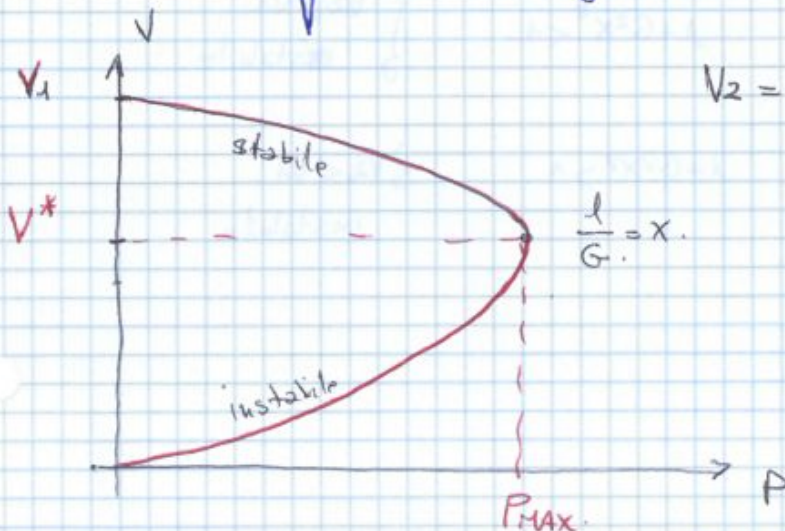
$$\begin{cases} P X_T = V_1 V_2 \sin(\delta_2) \\ Q X_T + V_2^2 = V_1 V_2 \cos \delta \end{cases} \rightarrow \text{elevo al quadrato e sommo i membri; } h_0$$

$$(P X_T)^2 + (Q X_T + V_2^2)^2 = (V_1 V_2)^2 \quad \text{con } Q=0 \text{ ho:}$$

$$(P X_T)^2 + V_2^4 - (V_1 V_2)^2 = 0 \quad (V_2)^4 - V_1 V_2^2 + (P X_T)^2 = 0$$

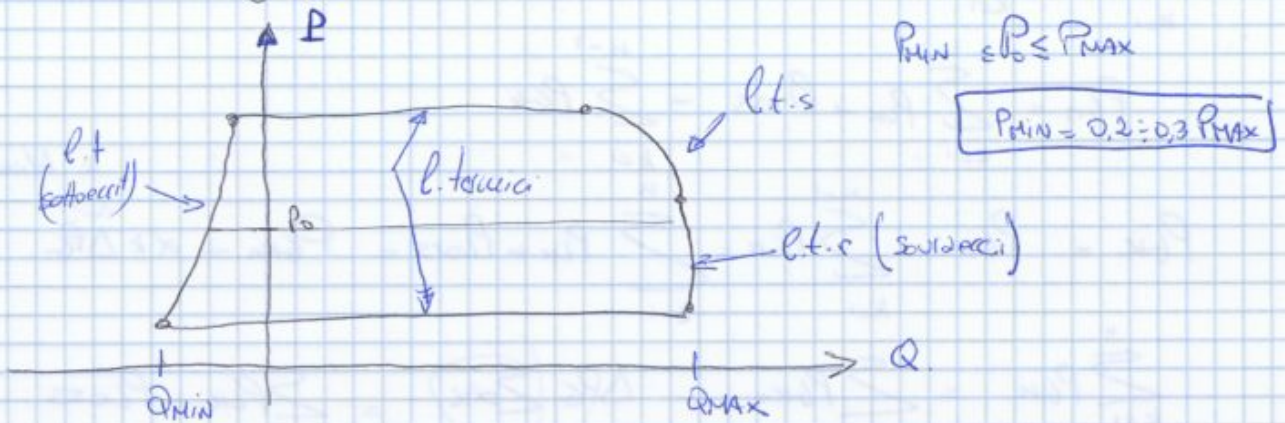
$$V_2 = \sqrt{\frac{+V_1^2 \pm \sqrt{V_1^4 - 4(P X_T)^2}}{2}}$$

$$V_2 = \begin{cases} 0 \\ V_1 \end{cases} \text{ se } P=0.$$

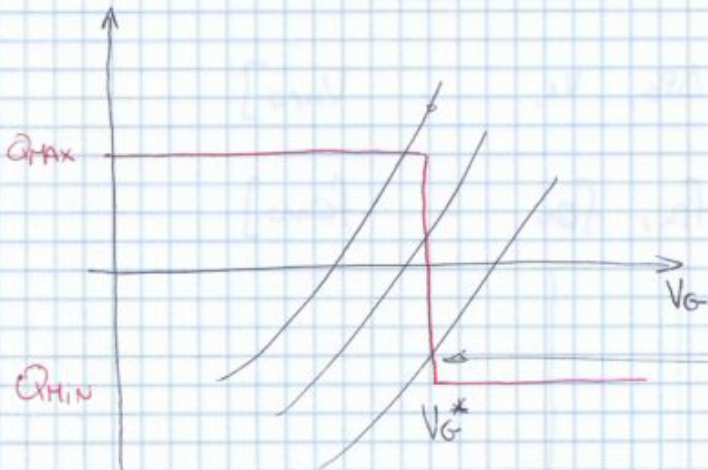


3. Comportamento a regime dei generatori sincroni

3.1 Disegnare nel piano P-Q e illustrare i limiti di un generatore (area di capability)



3.2 illustrare il modello del generatore negli studi di L-flow?



- se decido P_0
 - Q la sceglie la rete.
 - V_G lo decido io
 - come se fosse nodo PV.
- $E = K \sqrt{V_G^* - V_G}$ se $\rightarrow \infty$ ha gradiente e errore nullo.

$$Q_{Gk} = Q_k + Q_{Lk} = V_k \sum_{i=1}^n V_i (G_{ki} \sin(\delta_k - \delta_i) - B_{ki} \cos(\delta_k - \delta_i))$$

- se $Q_{Gk} > Q_{GMAX} \rightarrow PV \rightarrow PQ$ e puo' $Q_{Gk} = Q_{GMAX} - Q_{Lk}$
- se $V_G > V_G^* \rightarrow PQ \rightarrow PV$ e " $V_G^* = V_G$
- se $Q_{Gk} < Q_{GMIN} \rightarrow PV \rightarrow PQ$ " $Q_{Lk} = Q_{GMIN} - Q_{Lk}$
- se $V_G < V_G^* \rightarrow PQ \rightarrow PV$ " " $V_G^* = V_G$